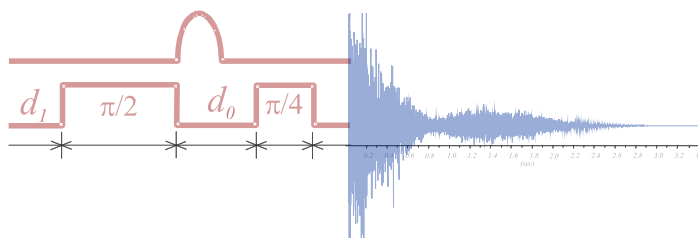


Филипп Владимирович Тоукач

д.х.н., вед. н.с., лаб. 21 ИОХ РАН, профессор НИУ ВШЭ

Спектроскопия ЯМР в органической химии



[идентификация и контроль] [ЯМР высокого разрешения] [твердотельный ЯМР] [томография]

Сайт курса: <http://toukach.ru/rus/nmrcours.htm>

Контакты: e-mail: phyl@toukach.ru

тел.: +7 916 172-4710 (13:00-22:00 MSK)

ИОХ: к. 432 (главный корпус)

Общая информация

Занятия один раз в неделю по средам с 15:00 до 17:00-17:30.
Пропуска делаете сами. Не опаздывать!

Всего ~12 лекций, 2 семинара, 1 консультация, 1 тест, 1 экзамен, 1 пересдача.
Слайды желательно распечатать и делать пометки прямо на них.



Вопросы можно задавать:

- во время лекции (лучше всего),
- на перерыве и после занятия,
- в контакте или по e-mail,
- по телефону (только оргвопросы)

Программа, книги и методические материалы,
копии слайдов, вопросы к экзамену, задачи для самопроверки:

<http://toukach.ru/rus/nmrcours.htm>

Дополнительная литература:

- Э. Дероум «Современные методы ЯМР для химических исследований»
- A. Claridge «Modern NMR techniques in Organic Chemistry»
- E.D. Becker «High resolution NMR. Theory and practical applications»
- Х. Гюнтер «Введение в спектроскопию ЯМР»
- Н.М. Сергеев «Спектроскопия ЯМР для химиков-органиков»

Контрольные мероприятия

Ответы на семинарах:

- объяснить (с моей помощью) решение того или иного примера *N*5 баллов*

Тест (120 мин, автоматизирован):

- 40 вопросов на время, выбор всех правильных из 5-10 приведенных вариантов ответа *100 баллов*
(требуется ноутбук или планшет с интернетом - Windows, Android, Linux)

Экзамен (180+ мин, письменно):

- объяснить каждую линию в сигналах в спектре ЯМР ^1H известной структуры *10 баллов*
- установить структуру (~30 атомов) по спектрам ЯМР ^1H , DEPT-135 и брутто-формуле *40 баллов*
- установить, каким образом связаны известные остатки в структуре из трех остатков, по спектрам ЯМР ^1H , DEPT-135, COSY, HSQC, NOESY *50 баллов*

Альтернативный экзамен:

- подготовить лекцию по выбранной теме в рамках ЯМР (~5 векторных слайдов), апробировать ее на студентах, довести до совершенства с учетом моих вопросов (процесс итеративный).

Результаты нормируются с учетом среднего уровня группы.

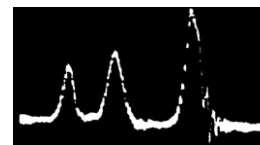
Пересдать тест нельзя, он проводится ОДИН раз.

Пересдача (устная беседа по всему курсу + другие задачи), как правило, не результативна.

Ядерный магнитный резонанс

взаимодействие радиоизлучения с атомными ядрами в магнитном поле
зависит от структуры вещества

История



1946	наблюдение явления ЯМР	Bloch, Purcell
1953	взаимодействие через пространство (NOE)	Overhauser
1966	связь частотных и временных данных (Фурье-спектроскопия)	Ernst, Anderson
1975	двумерная спектроскопия ЯМР	Jeener, Ernst
1980	ЯМР-установление пространственного строения белка	Wüthrich
~1988	изотопные метки и 3D ЯМР	Bax, Ikura, Kay et al.
~1997	ЯМР биополимеров (100+ kDa)	Pervushin et al.
2015	курс ЯМР для аспирантов ИОХ :)	Toukach

1944 (физика)	Rabi [резонансный метод записи магнитных состояний ядер]
1952 (физика)	Bloch, Purcell [открытие ЯМР]
1991 (химия)	Ernst [развитие методологии ЯМР]
2002 (химия)	Wüthrich [установление 3D структуры с помощью ЯМР]
2003 (медицина)	Lauterbur, Mansfield [магнитнорезонансная томография]



Karplus, 1963 одна из самых цитируемых статей в химии
[зависимость наблюдаемых параметров ЯМР от торсионного угла между атомами]

Применение ЯМР в органической химии

- Доказательство строения синтетических соединений
(*Fingerprint*; “не противоречит”, “доказывает”)
- Установление строения природных соединений
(первичная и вторичная структура, абсолютные конфигурации, стехиометрия компонентов)
- Конформационные исследования
- Исследование обменных процессов
- Исследование путей реакций



чувствительность к изменениям в структуре и конформации
применимость к смесям
недеструктивность
миллиграммовые количества



ограничения на агрегатное состояние или растворимость
невозможность автоматического анализа сложных спектров

Что мы будем изучать?

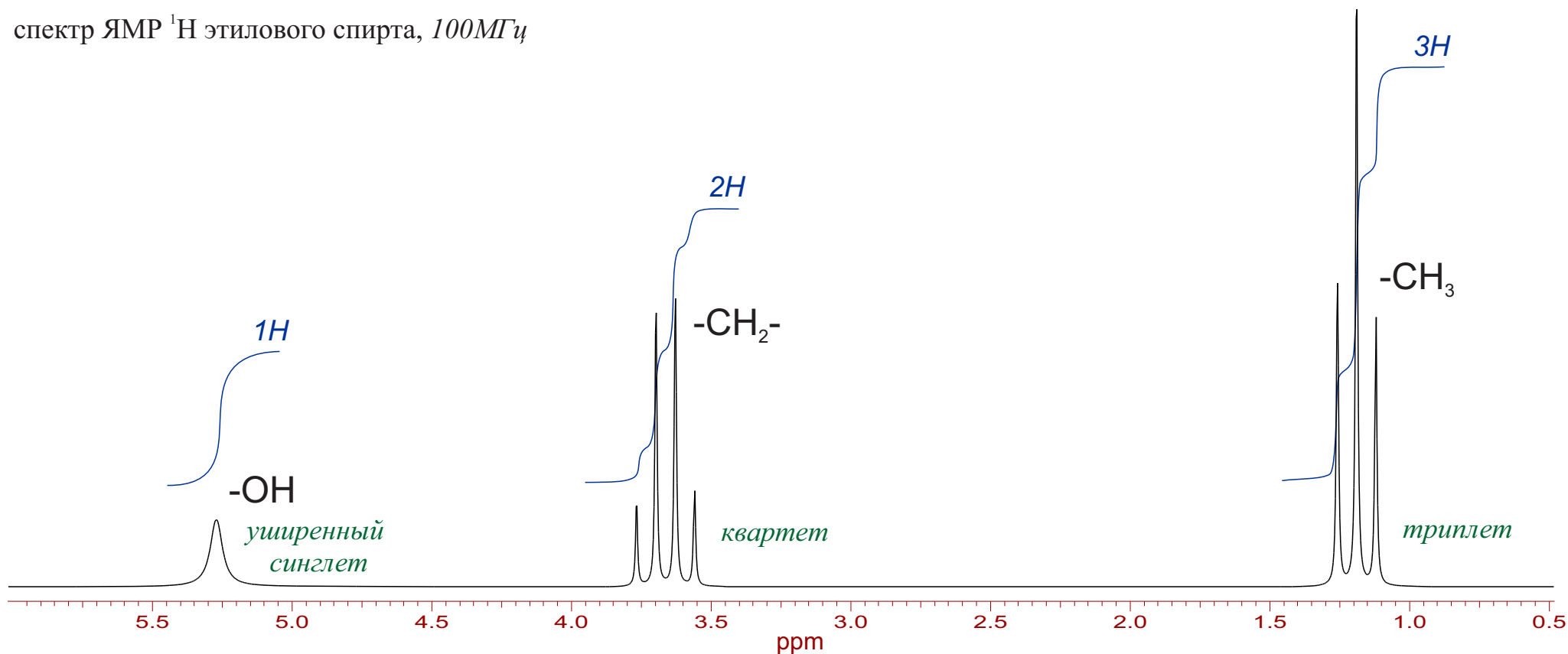
- общая информация о методе
- химический сдвиг
- спин-спиновое взаимодействие
- корреляция структура-спектр *
- примеры структурных исследований *
- основы импульсного ЯМР
- практическая реализация ЯМР
- ядерный эффект Оверхаузера
- корреляционные эксперименты

* много и долго

Основные характеристики спектра ЯМР

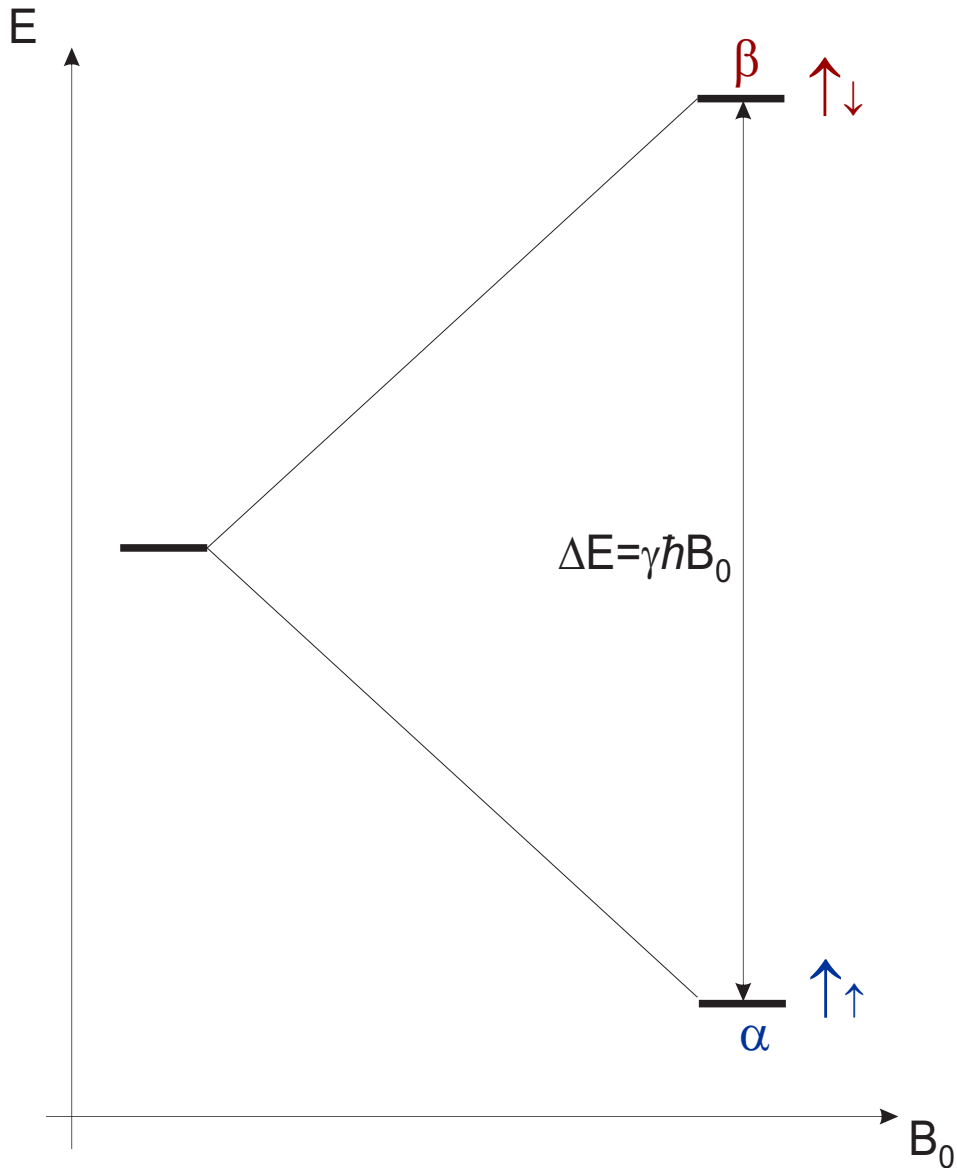
- количество сигналов \Rightarrow количество неэквивалентных ядер данного типа
- положение сигналов (химический сдвиг) \Rightarrow распределение электронной плотности по молекуле
- форма сигналов (спиновое расщепление) \Rightarrow тип и количество соседних ядер, конформация, обмен
- площадь сигналов \Rightarrow количество эквивалентных ядер, давших сигнал

спектр ЯМР ^1H этилового спирта, 100МГц

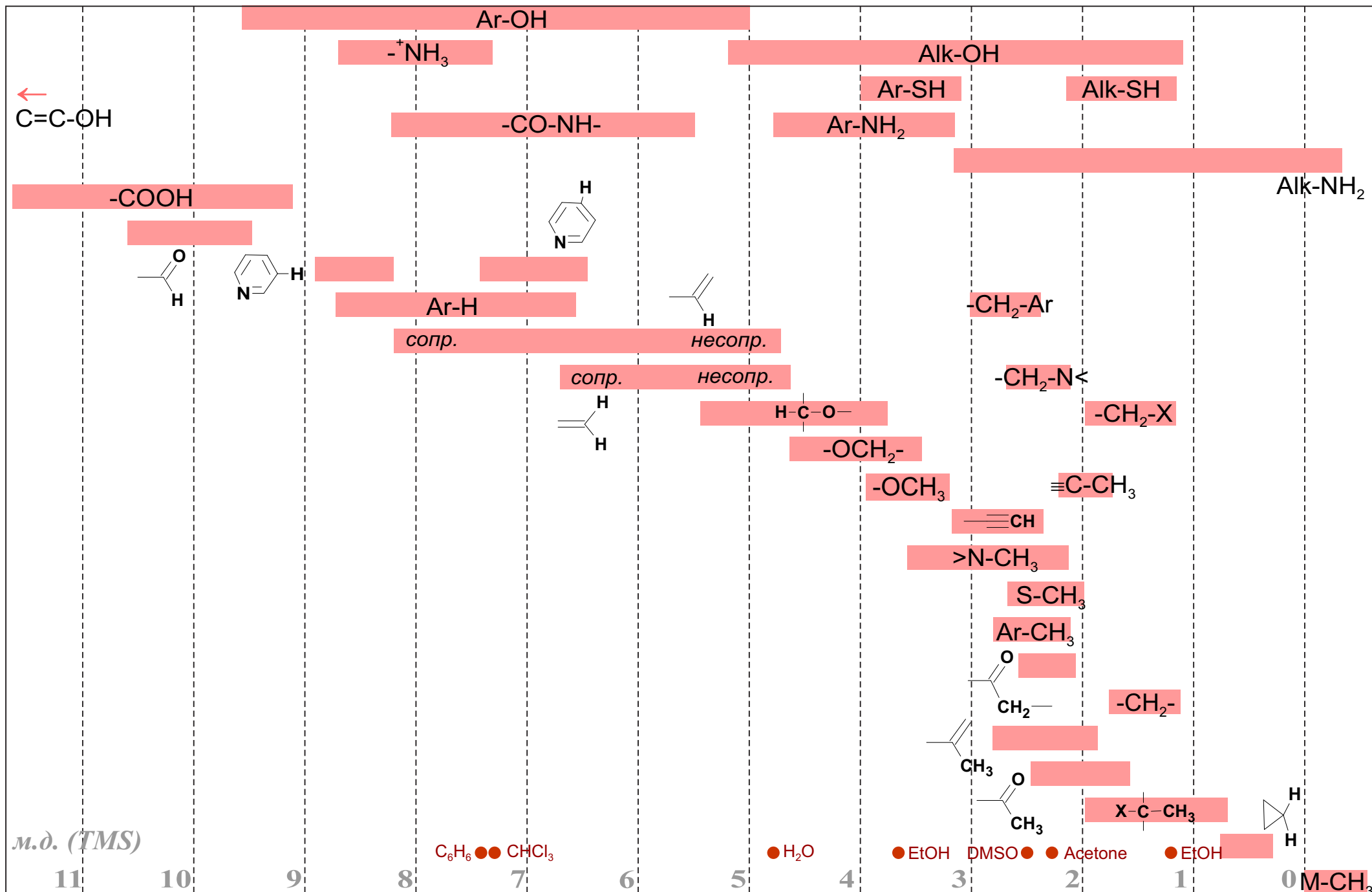


Ядра в магнитном поле

спиновые состояния ядра
с гиромагнитным отношением γ :



Химические сдвиги ^1H



Некоторые магнитно-активные ядра

ядро	природное содержание, %	чувствительность		спин	диапазон химических сдвигов, м.д.	стандарт	ларморова частота (МГц) при $B_0=7.05$ Тл
		относительная	абсолютная				
^1H	99.98	1.00	1.00	$\frac{1}{2}$	18..-1	SiMe ₄ (TMS)	300.0
^2D	0.015	$9.65 \cdot 10^{-3}$	$1.45 \cdot 10^{-6}$	1	18..-1	SiMe ₄ -d12	46.05
^{11}B	80.42	0.17	0.13	3/2	100..-120	BF ₃ ·Et ₂ O	96.25
^{13}C	1.108	$1.59 \cdot 10^{-2}$	$1.76 \cdot 10^{-4}$	$\frac{1}{2}$	240..-10	SiMe ₄ (TMS)	75.43
^{14}N	99.63	$1.01 \cdot 10^{-3}$	$1.01 \cdot 10^{-3}$	1	1200..-500	MeNO ₂	21.67
^{15}N	0.37	$1.04 \cdot 10^{-3}$	$3.85 \cdot 10^{-6}$	- 1/2	1200..-500	MeNO ₂	30.40
^{17}O	0.037	$2.91 \cdot 10^{-2}$	$1.08 \cdot 10^{-5}$	- 5/2	1400..-100	H ₂ O	40.67
^{19}F	100.0	0.83	0.83	$\frac{1}{2}$	100..-300	CFCl ₃	282.23
^{29}Si	4.70	$7.84 \cdot 10^{-3}$	$3.69 \cdot 10^{-4}$	- 1/2	100..-400	SiMe ₄ (TMS)	59.60
^{31}P	100.0	$6.63 \cdot 10^{-2}$	$6.63 \cdot 10^{-2}$	$\frac{1}{2}$	230..-200	H ₃ PO ₄	121.44

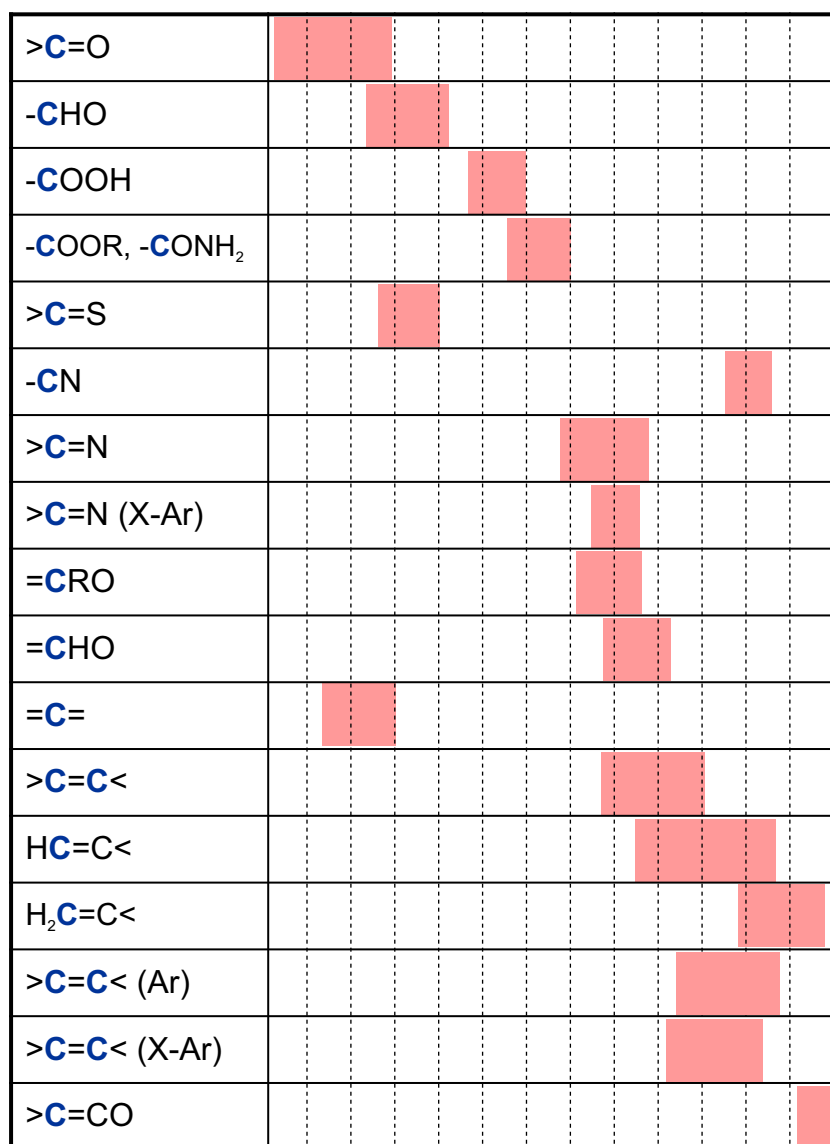
чувствительность ($\sim \gamma^3$; S/N $\sim B_0^{3/2} \gamma^{5/2}$): абсолютная = относительная × природное содержание
квадрупольные ядра - быстрая релаксация, широкие линии (для ^{33}S , Br, Cl, ... - сверхширокие)

стандарты:
 внешние, внутренние, SR

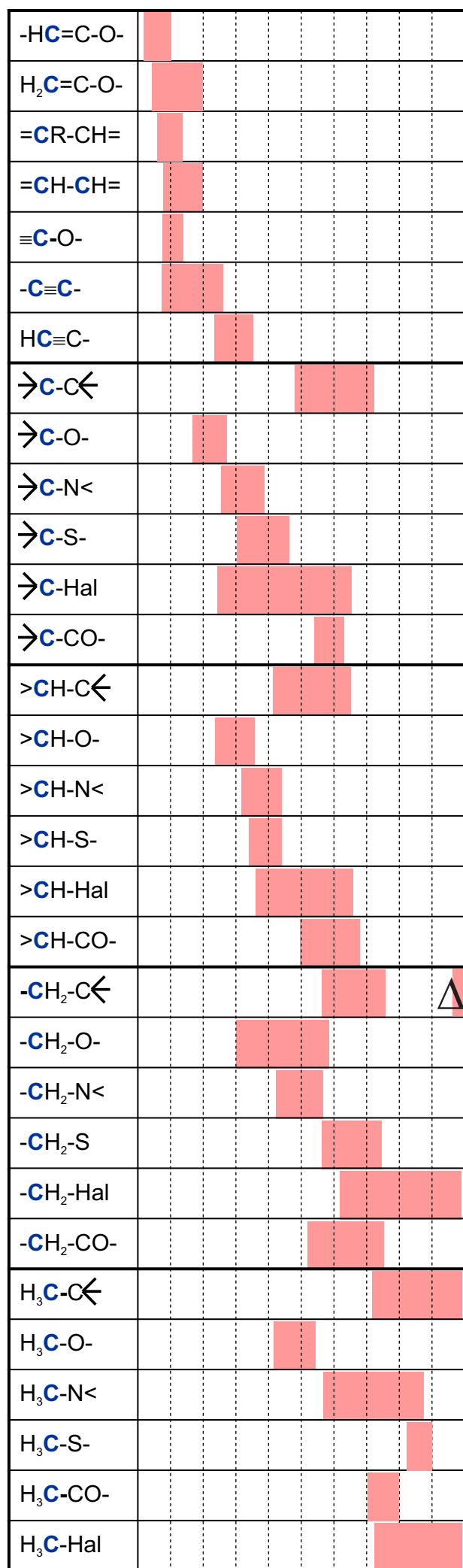
DSS Me₃Si-(CH₂)₃-SO₃H:
 водорастворимый, $\delta_{\text{H}}=0$, $\delta_{\text{C}}=1.6$

Химические сдвиги ^{13}C

- в отличие от протонных химических сдвигов характеристичны
- поддаются расчету по аддитивным схемам



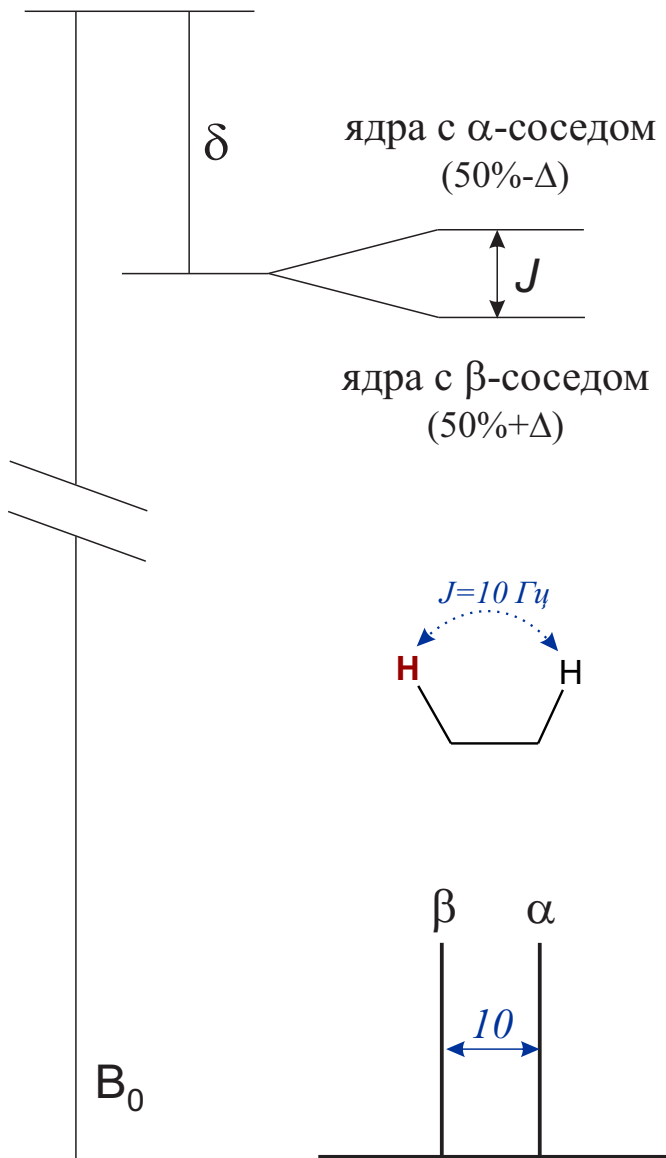
М.Д. 230 220 210 200 190 180 170 160 150 140 130 120 110 100



М.Д. 100 90 80 70 60 50 40 30 20 10 0

Спин-спиновое взаимодействие

один сосед

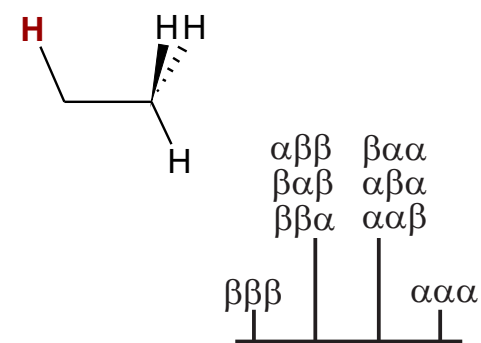
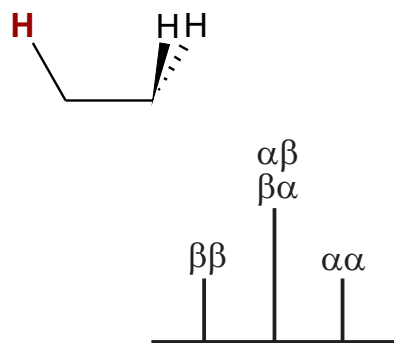
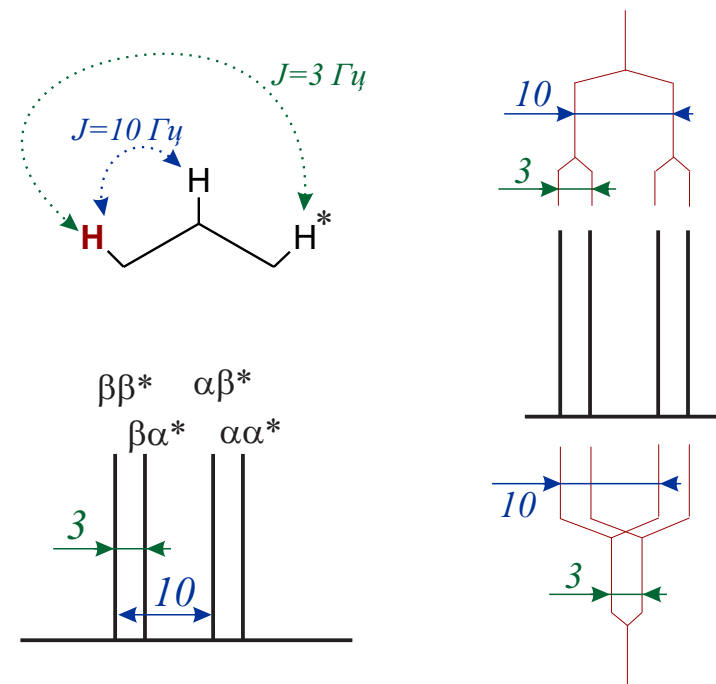


несколько
одинаковых соседей

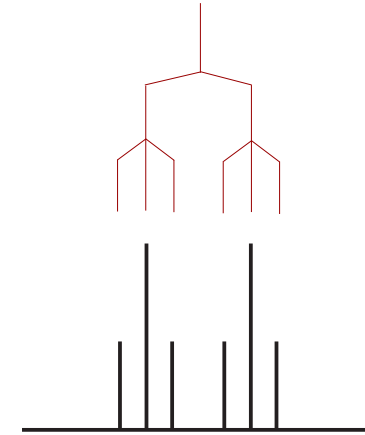
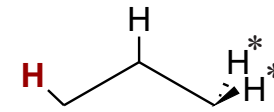
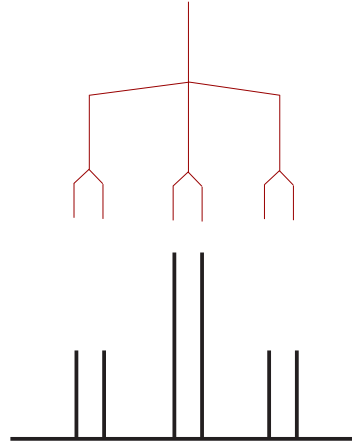
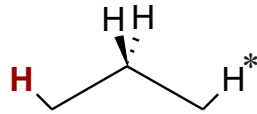
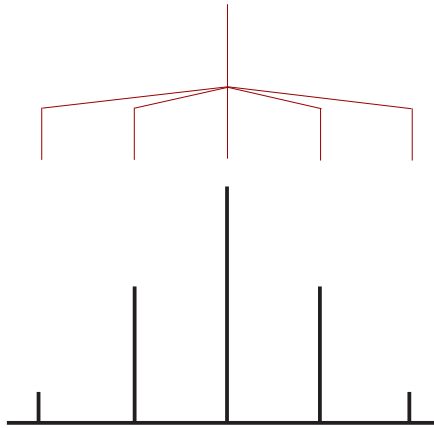
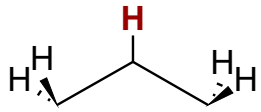
n ($I=1/2$)								
0	1				S			
1	1	1			D			
2	1	2	1		T			
3	1	3	3	1	Q			
4	1	4	6	4	1	Qn		
5	1	5	10	10	5	1	Sx	
6	1	6	15	20	15	6	1	Hp

число линий = $2nI+1$

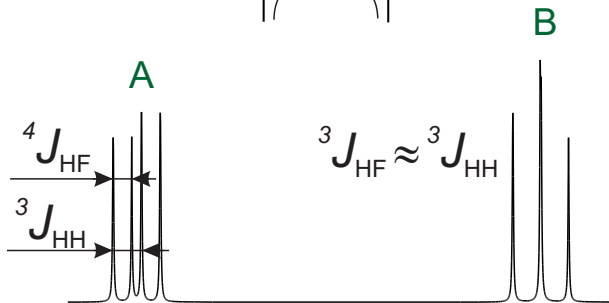
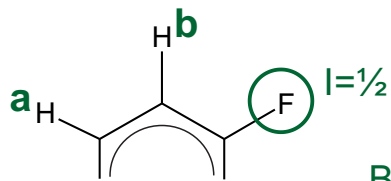
два разных соседа



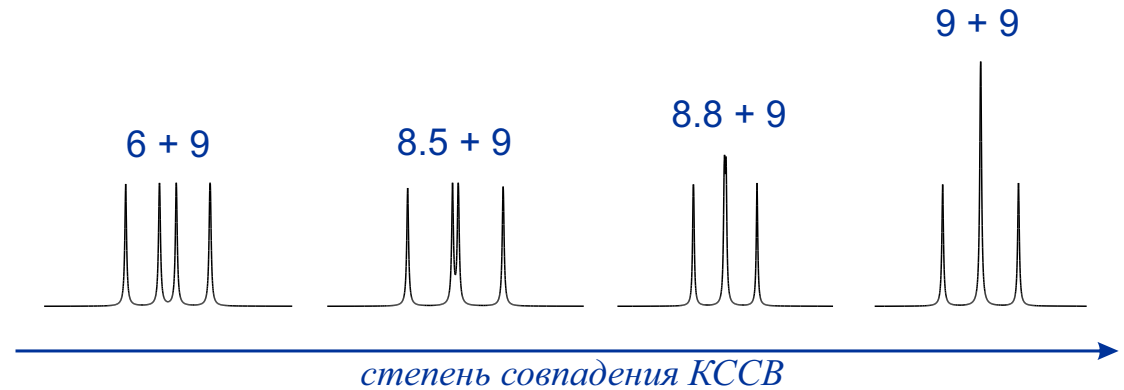
Другие примеры спинового расщепления



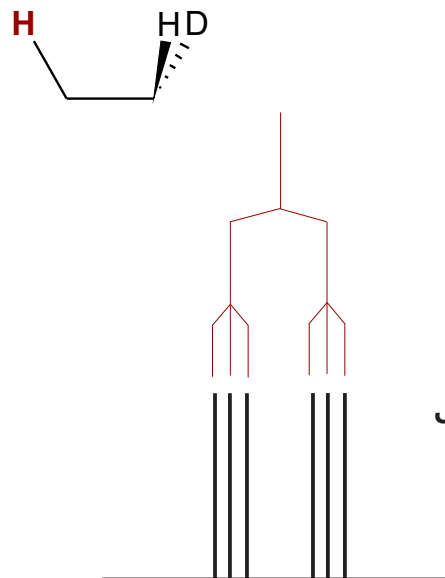
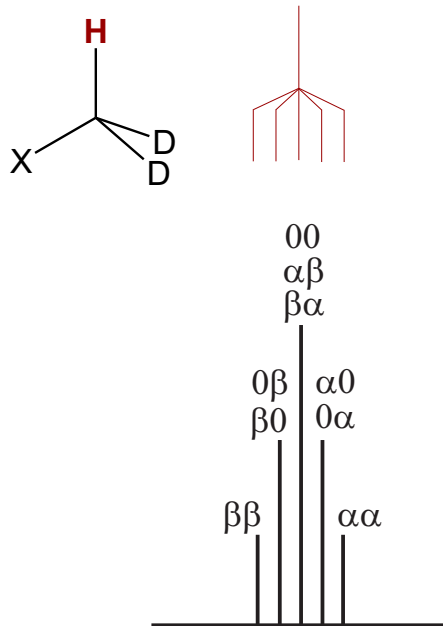
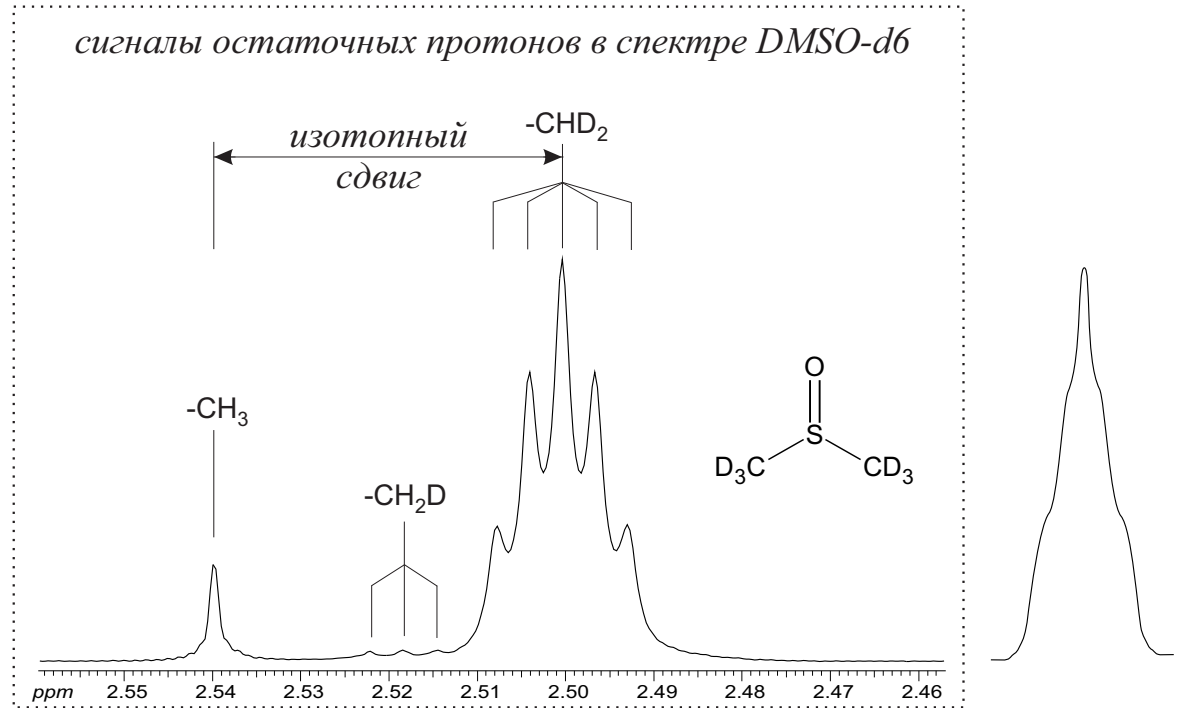
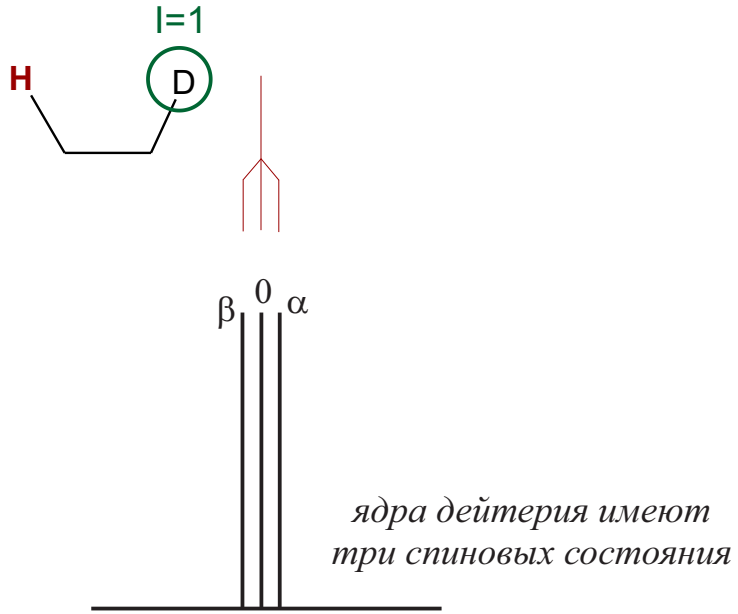
Вырождение дуплета дуплетов в триплет



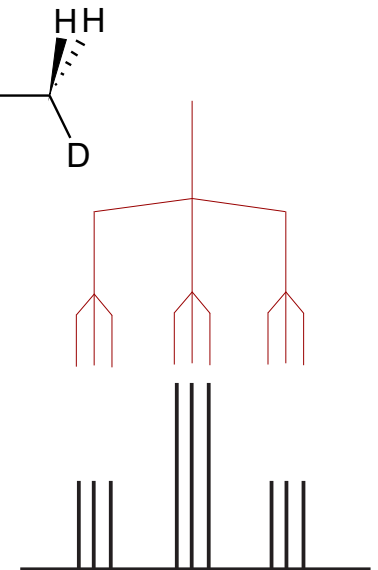
$${}^3J_{HF} \approx {}^3J_{HH}$$



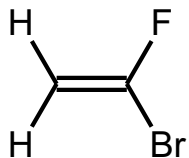
Спиновое расщепление на ядрах со спином 1



$$J_{HH} = (\gamma_H/\gamma_D) J_{HD} = 6.5 J_{HD}$$



Эквивалентность атомов

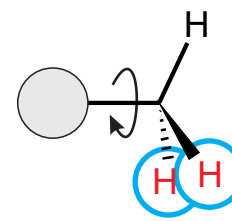
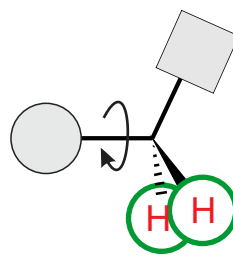
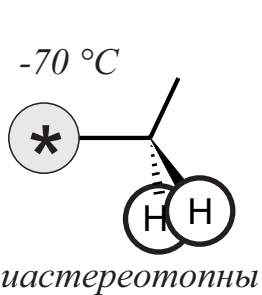
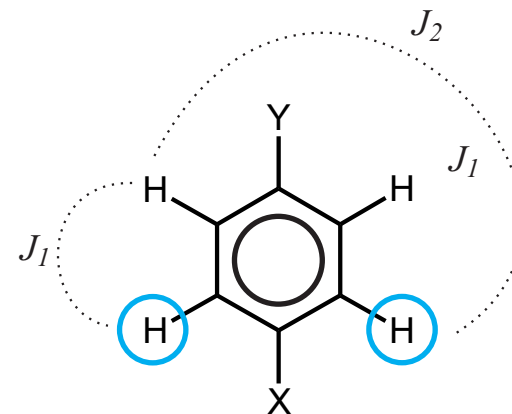
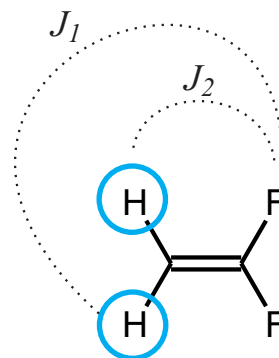
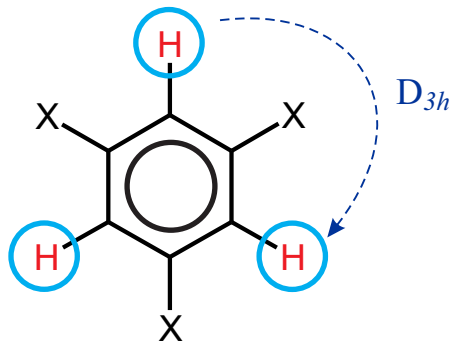
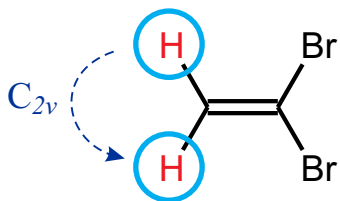


неэквивалентные

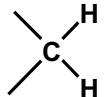
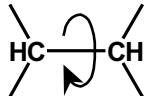
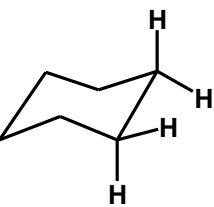
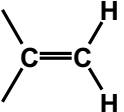
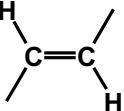
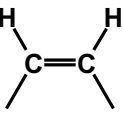
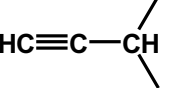
химически-эквивалентные (одинаковые расстояния до соседей):

- гомотопные (переводятся друг в друга вращением)
- энантиотопные (переводятся друг в друга отражением)

магнитно-эквивалентные (одинаковые КССВ с соседями)



Основные протон-протонные КССВ

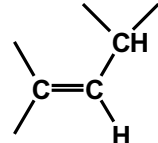
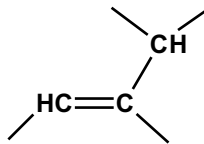
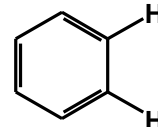
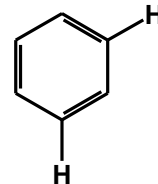
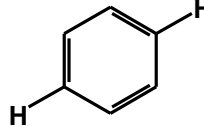
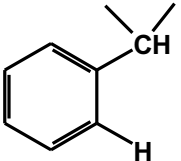
фрагмент структуры	$J_{\text{H-H}}, \text{Гц}$		
	знак	характерная величина	интервал значений
	-	12-15	0-30*
	+	7	0-9*
	+	9 (a-a)	6-14
	+	3 (a-e)	1-6
	+	1 (e-e)	0-4
	-	12 (gem-)	11-13
		2	0-3
	+	15	12-18
	+	7	4-12
	-	2.5	2-3

2: геминальные

3: вицинальные

4: аллильные

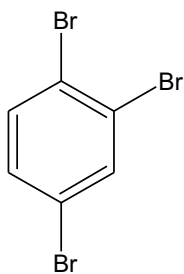
5: гомоаллильные

фрагмент структуры	$J_{\text{H-H}}, \text{Гц}$		
	знак	характерная величина	интервал значений
	+	6	4-8
	-	2	1-2.5
	+	8	6-10
	+	2	1-4
	+	0.5	0-1.5
	\pm	0	0-0.5

* зависит от плоского или торсионного угла

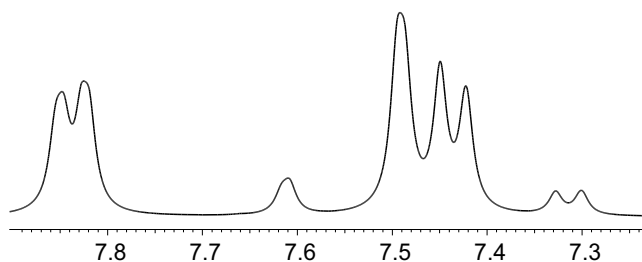
Зависимость спектров от рабочей частоты спектрометра

1,2,4-трибромбензол



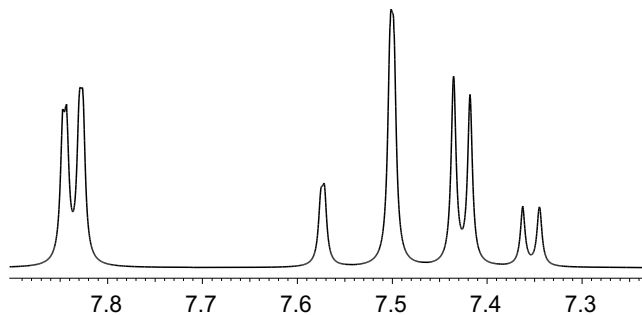
60 МГц,
(1 м.д. = 60 Гц)

10 Гц



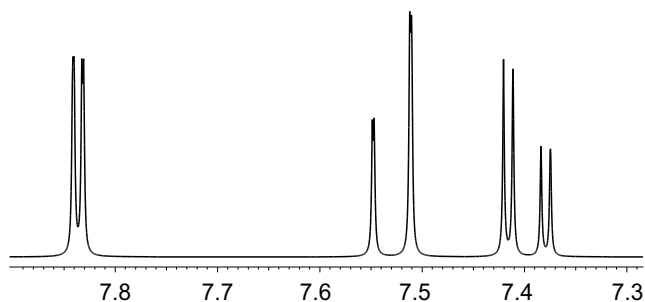
100 МГц,
(1 м.д. = 100 Гц)

10 Гц



200 МГц,
(1 м.д. = 200 Гц)

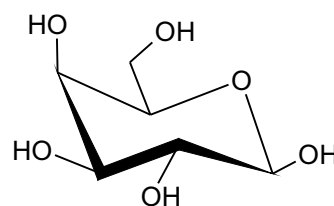
10 Гц



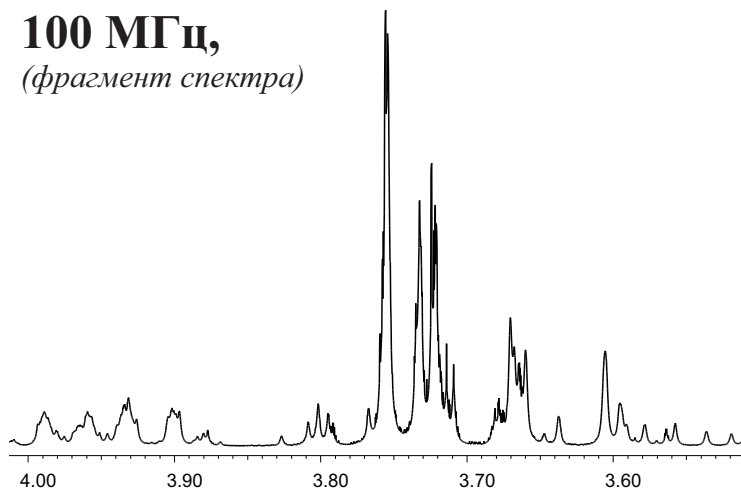
химический сдвиг,
измеряемый в м.д.,
не зависит от рабочей частоты

КССВ,
измеряемая в Гц,
не зависит от рабочей частоты

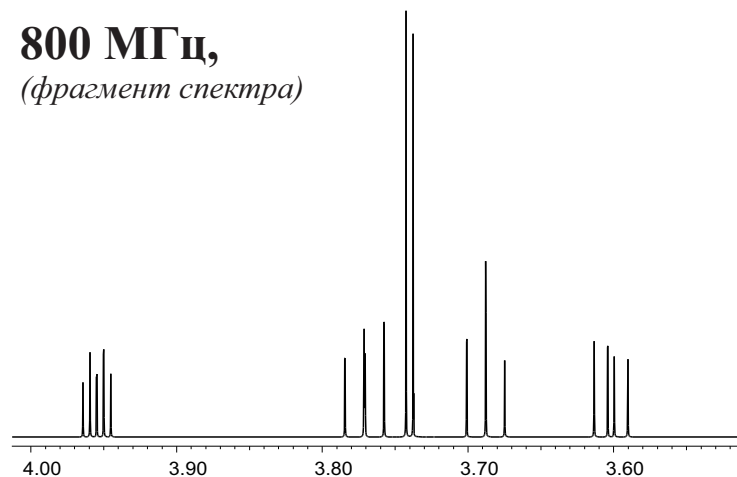
β-D-галактопираноза



100 МГц,
(фрагмент спектра)

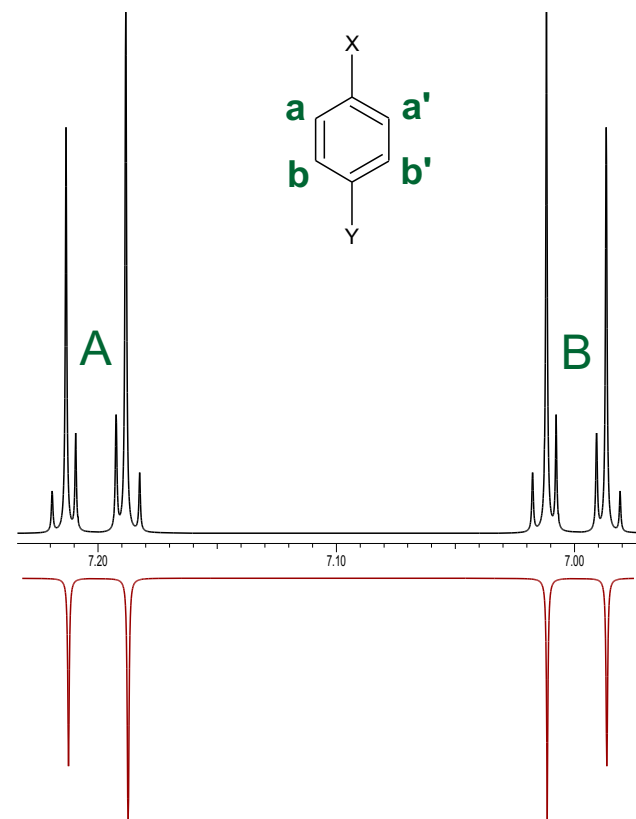
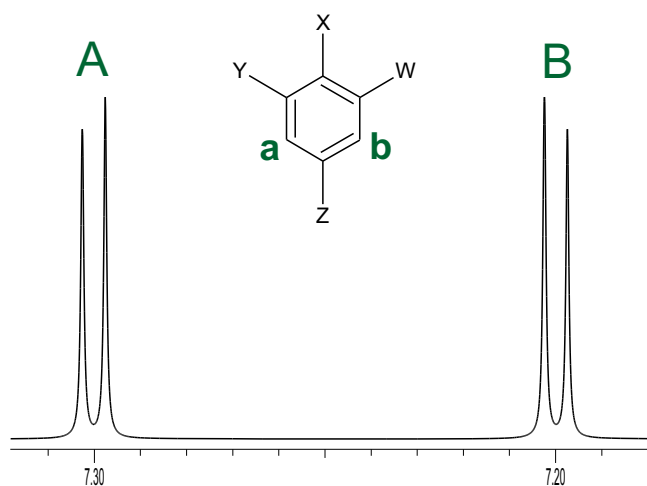
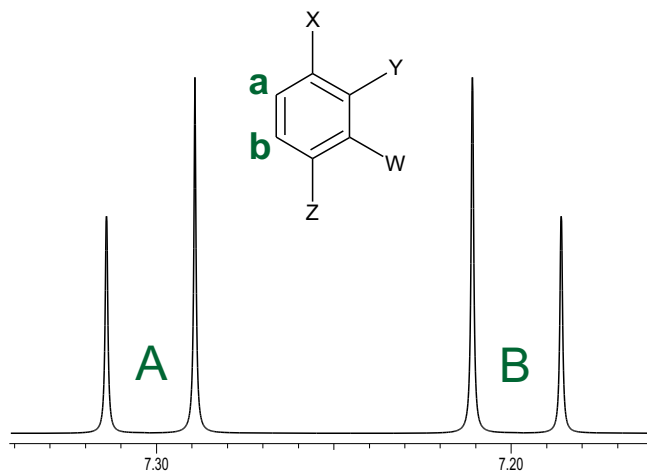
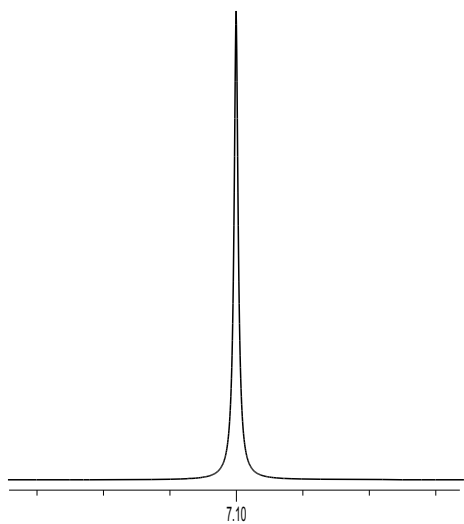
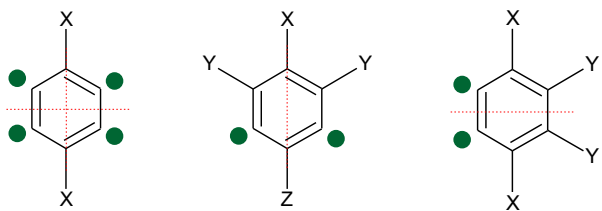


800 МГц,
(фрагмент спектра)

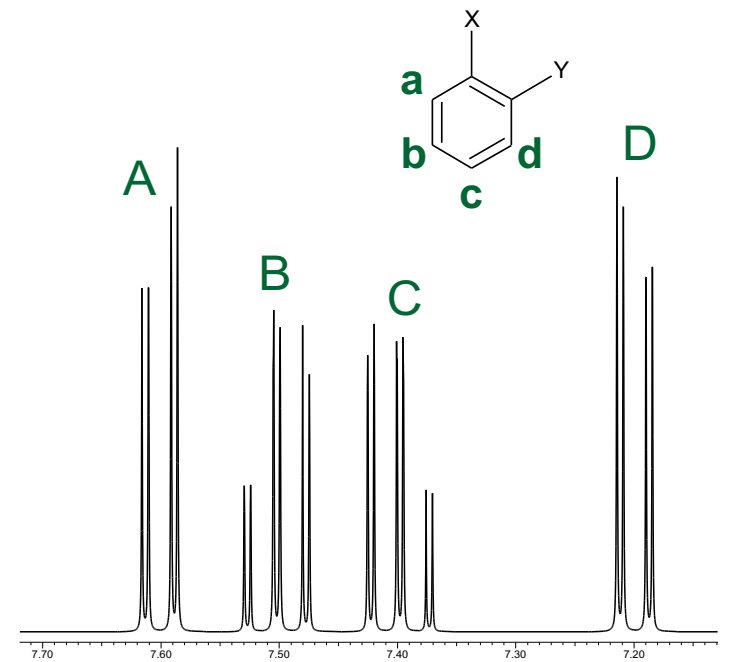
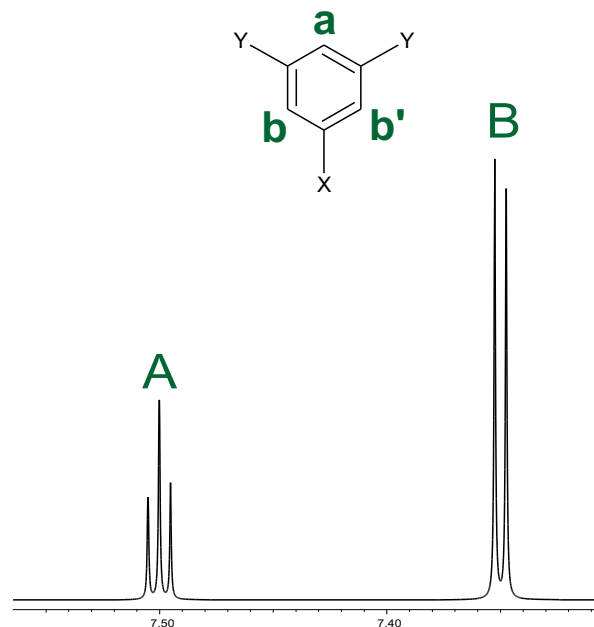
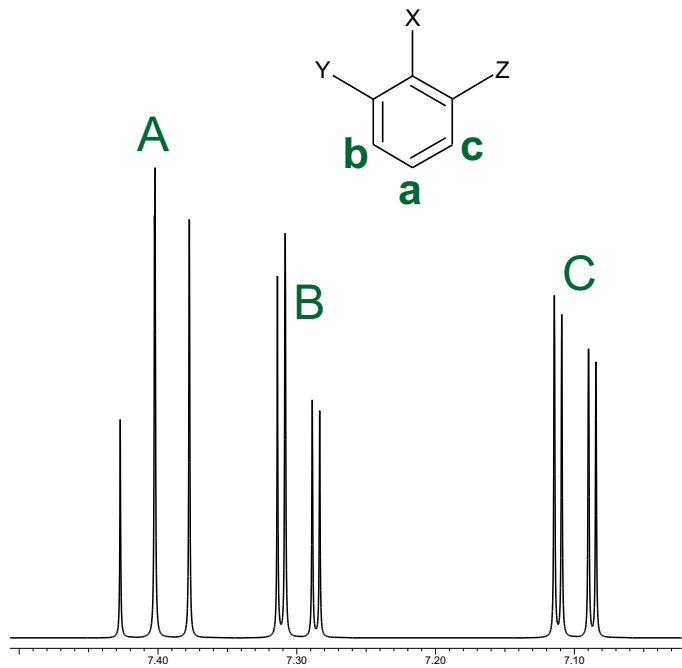
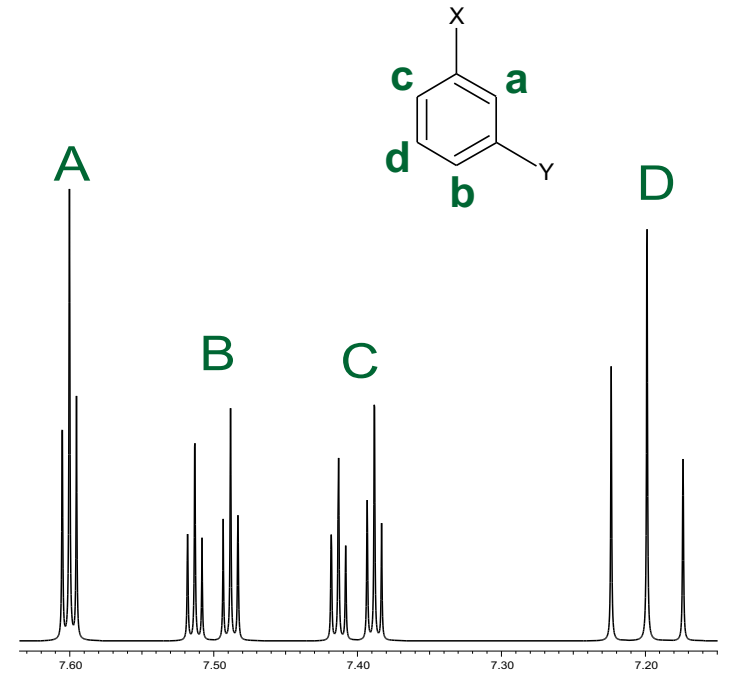
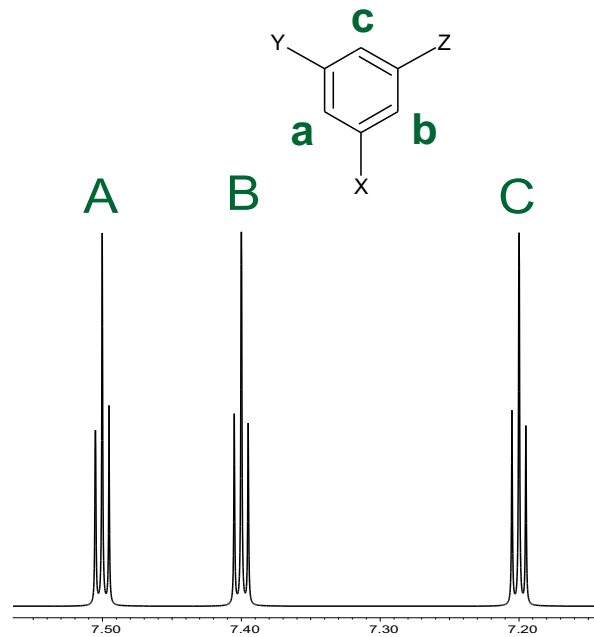
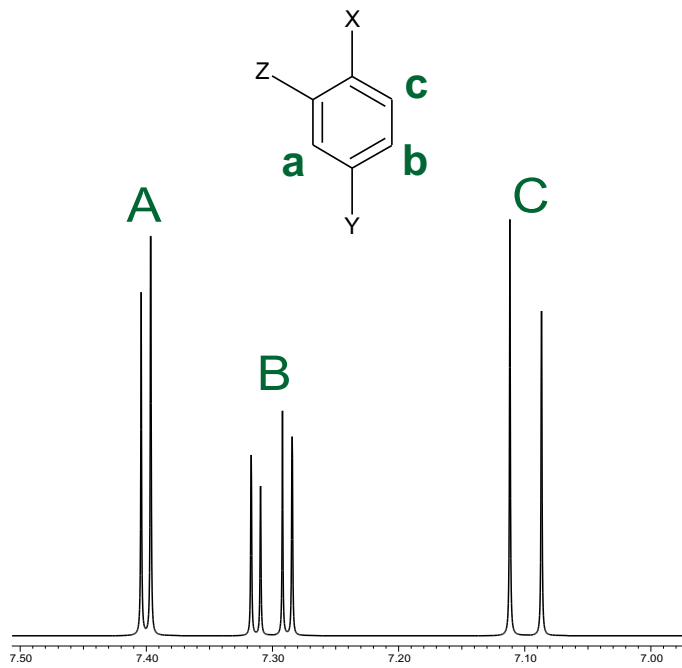


Сигналы протонов замещенного бензола (простые случаи)

один тип протонов:



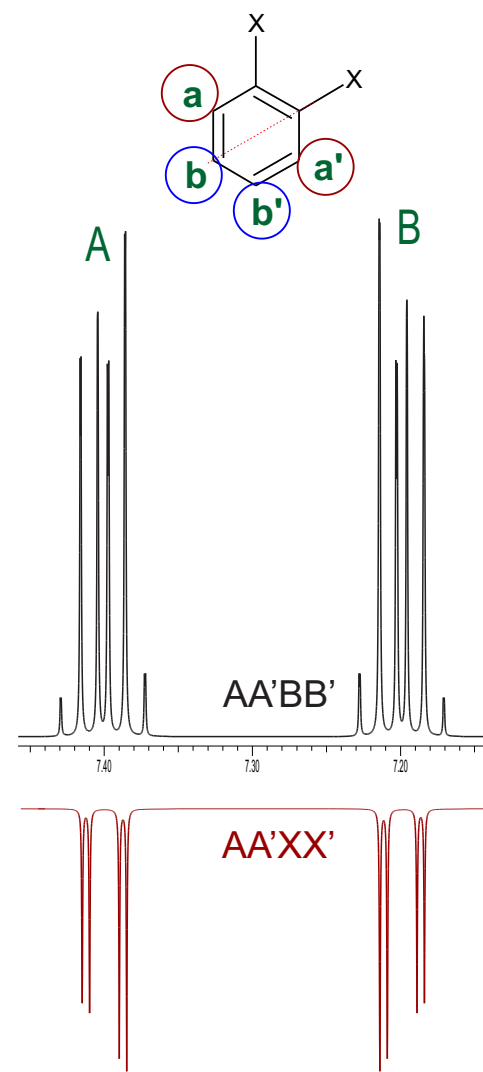
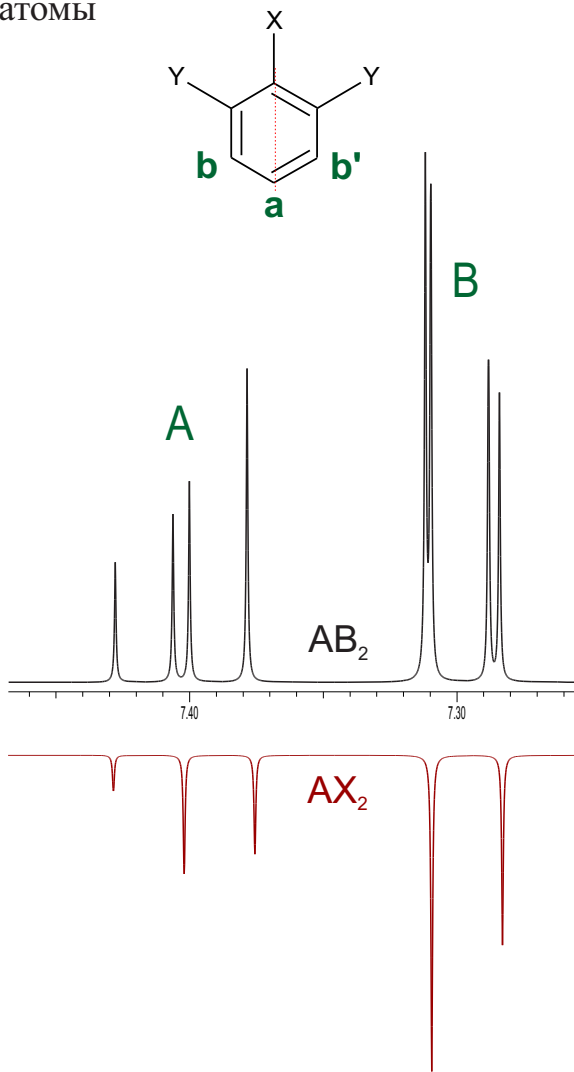
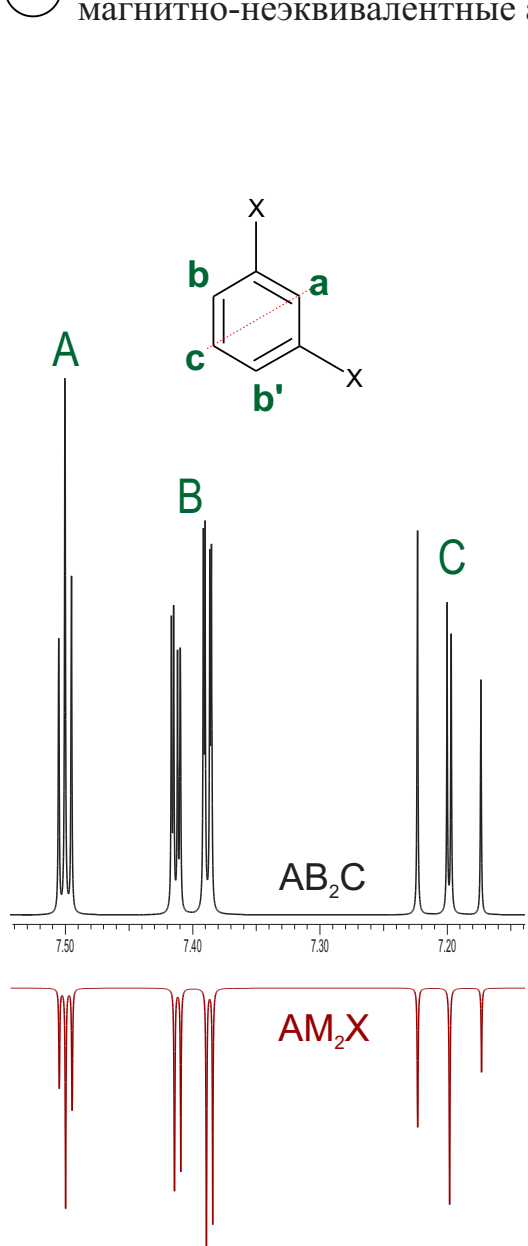
Сигналы протонов замещенного бензола (сложные случаи)



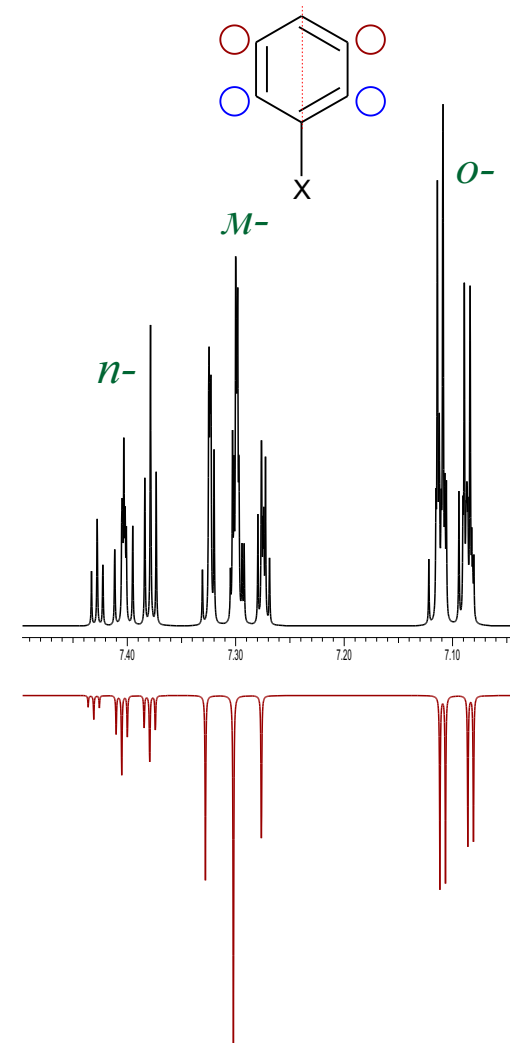
Сигналы протонов замещенного бензола

(спектры не первого порядка при симметричном замещении)

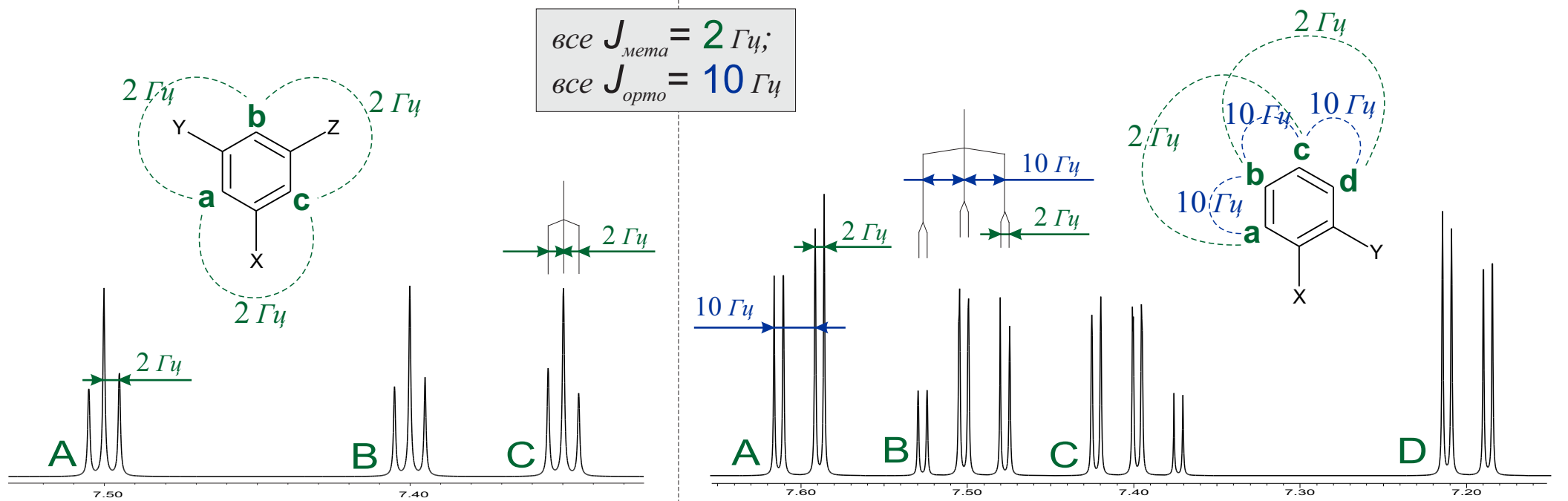
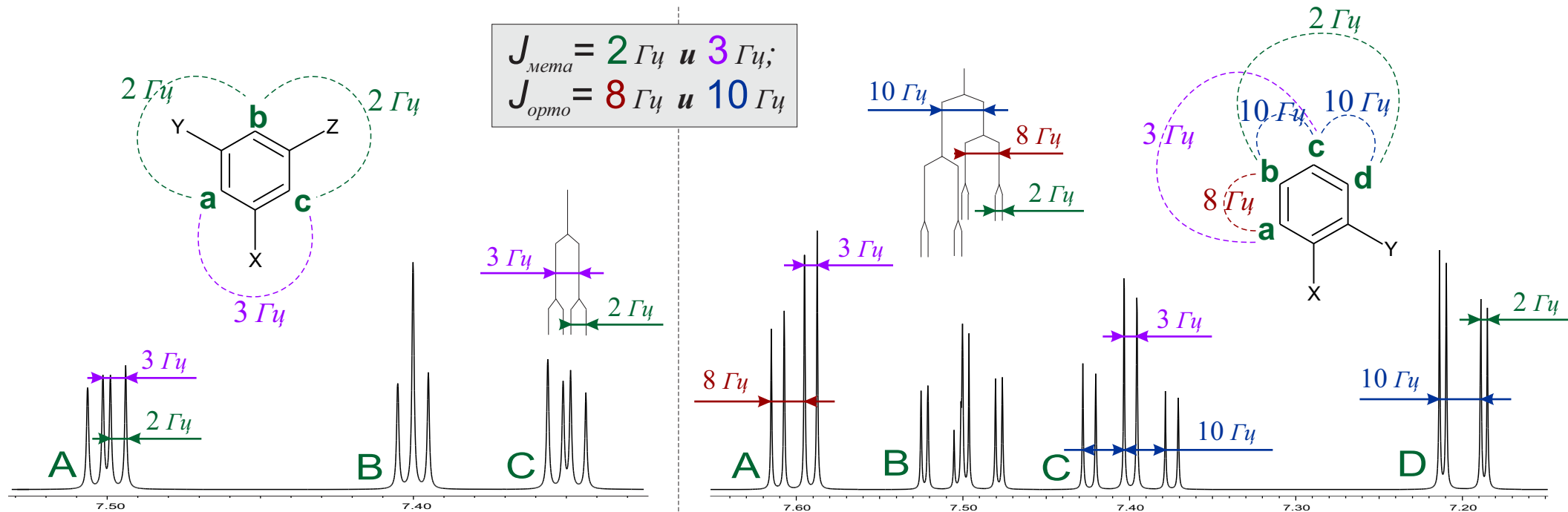
○ химически-эквивалентные, но магнитно-неэквивалентные атомы



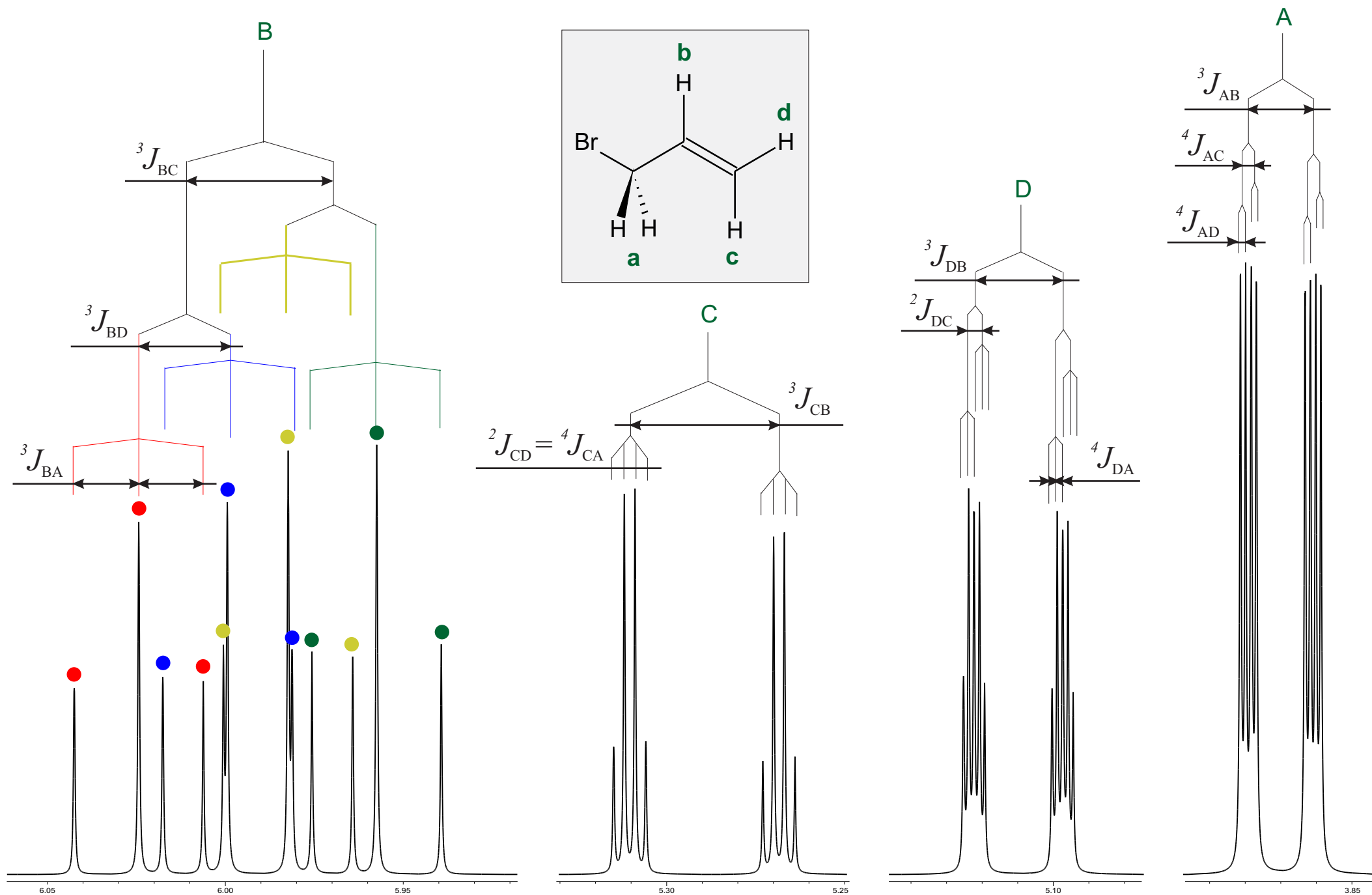
монозамещенный бензол:
сильносвязанная система $AA'BB'C$



Сигналы протонов замещенного бензола (примеры несовпадения КССВ)

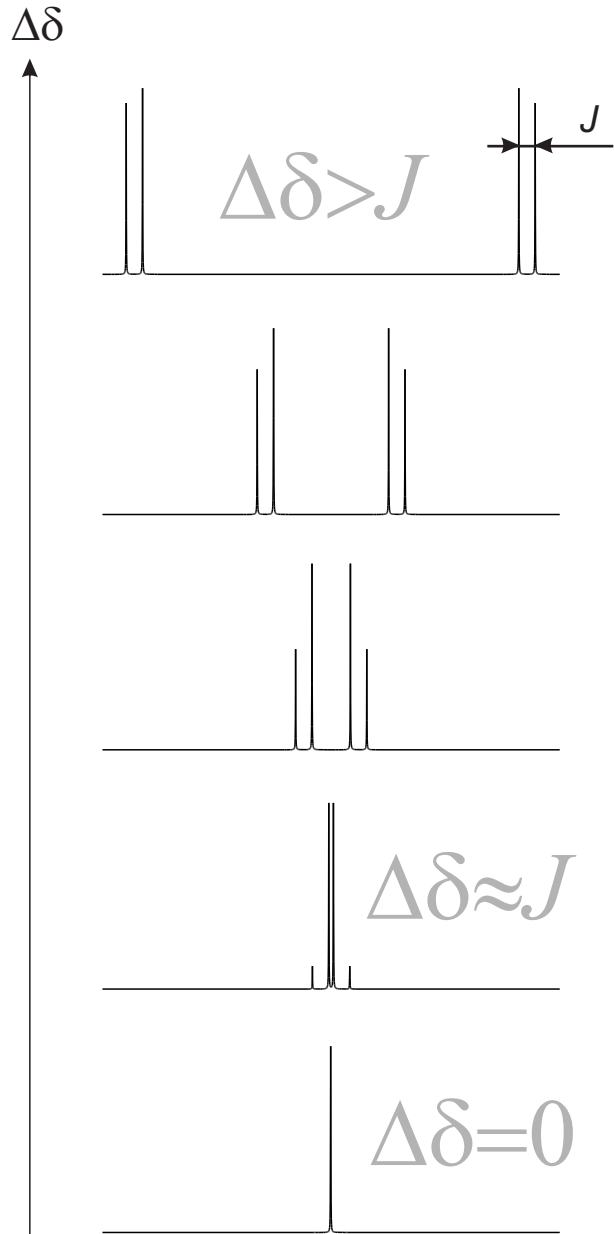


Теоретический спектр ЯМР ^1H аллилбромида (рабочая частота 400 МГц, ширина линии 0.2 Гц)

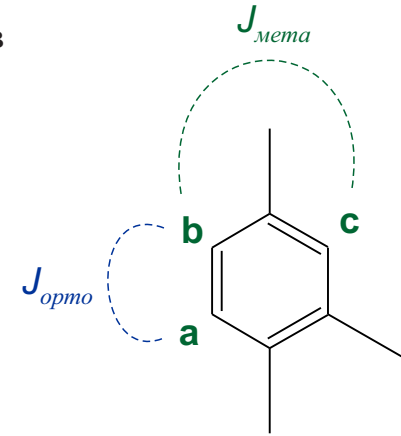
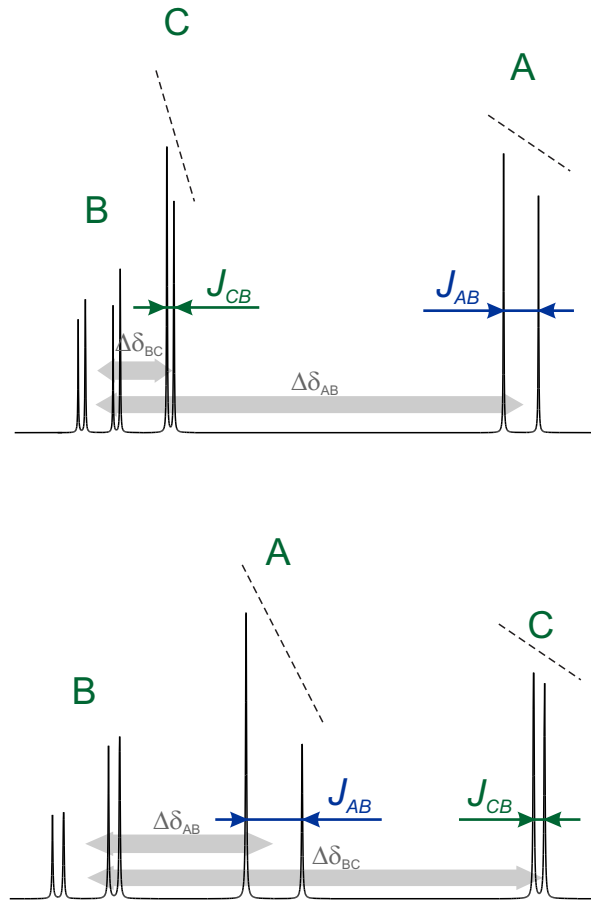


Эффект крыши

система из двух протонов



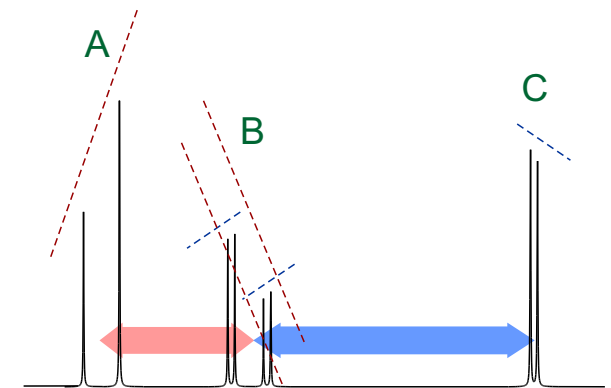
разные случаи системы из трех протонов
в 1,2,4-замещенном бензоле

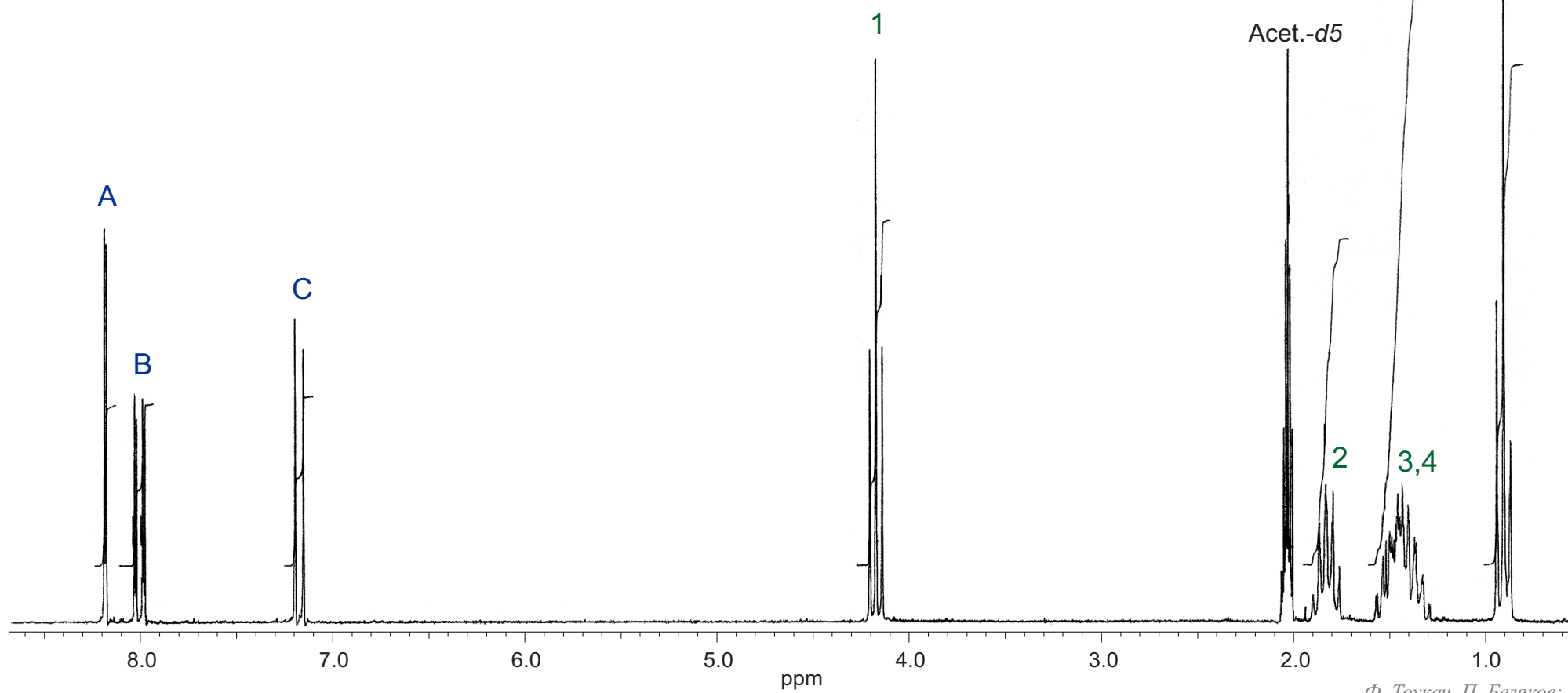
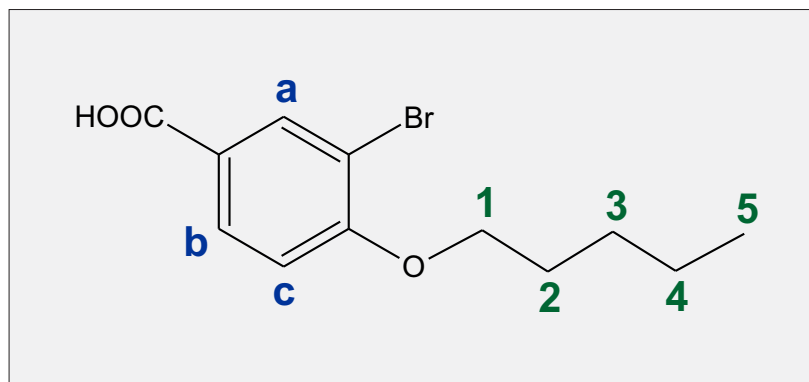


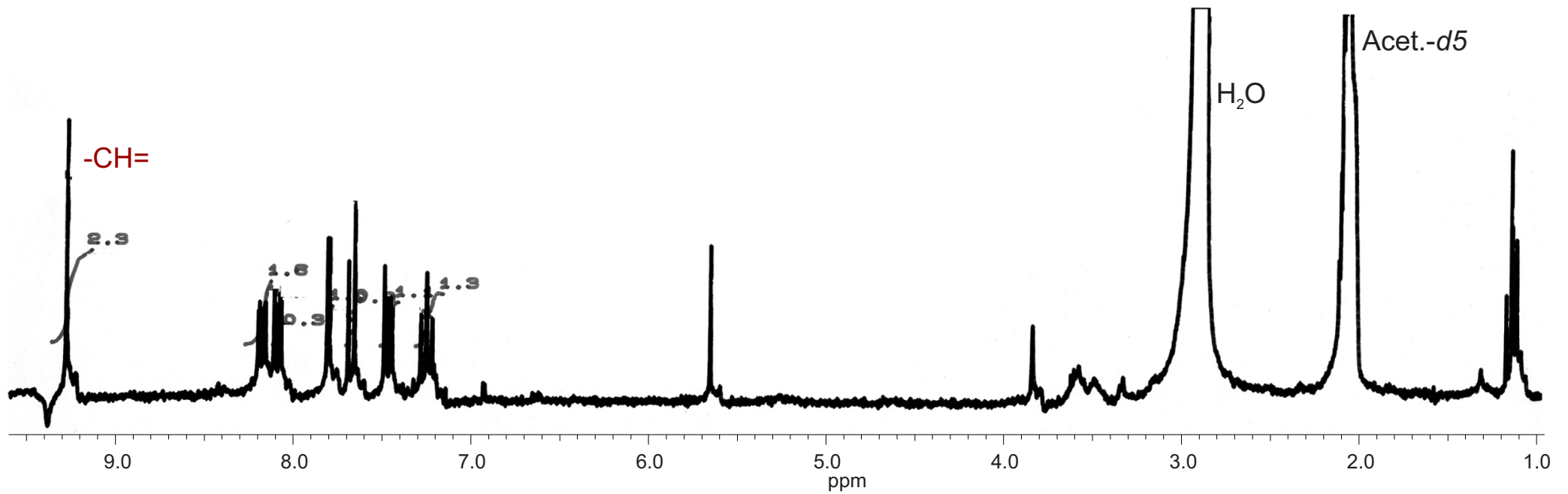
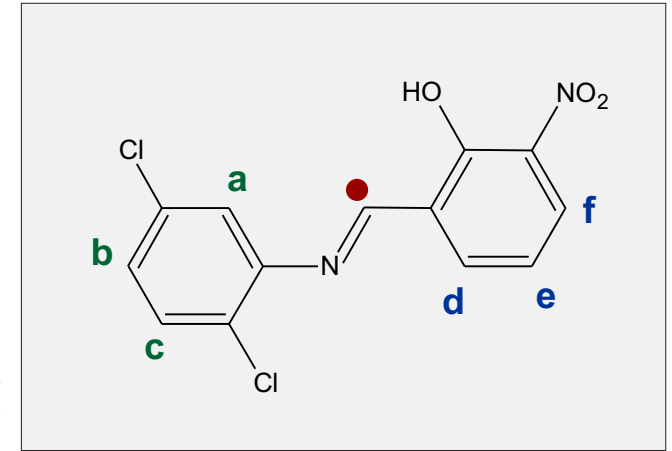
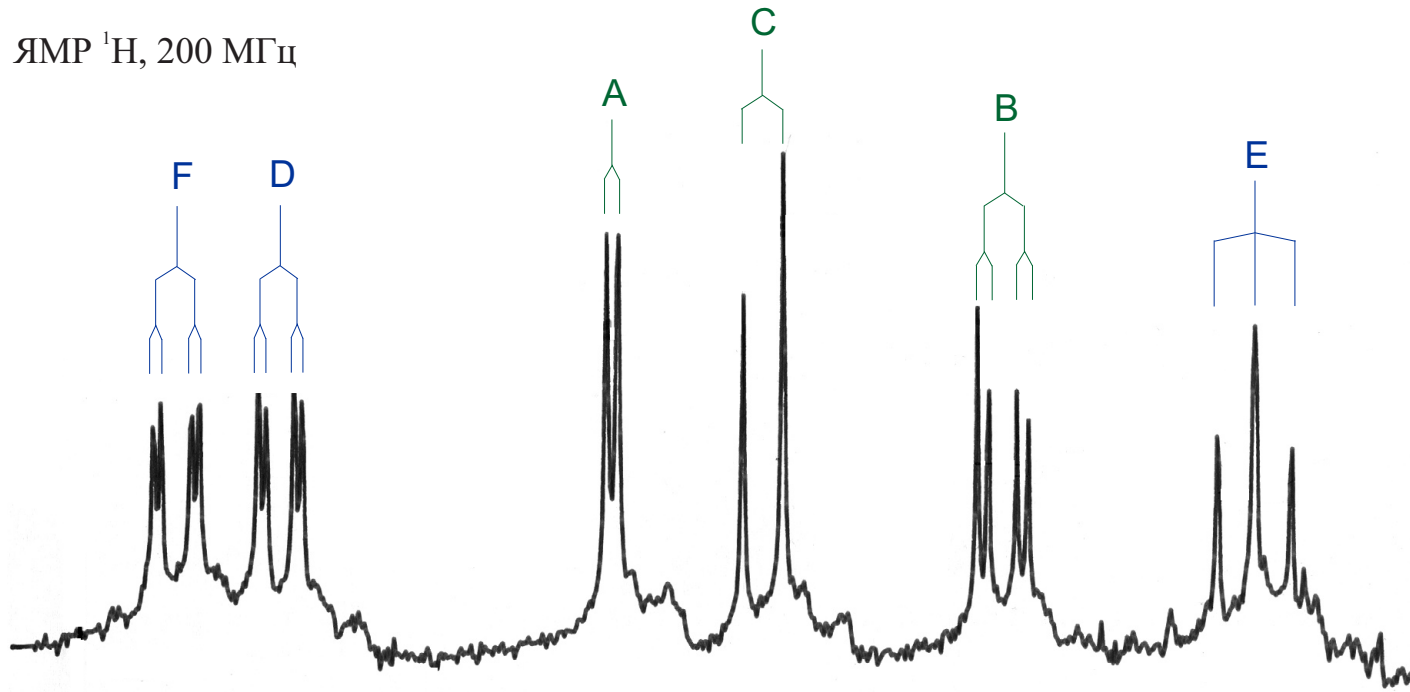
$\Delta\delta_{AB}$ мала, $\Delta\delta_{BC}$ велика

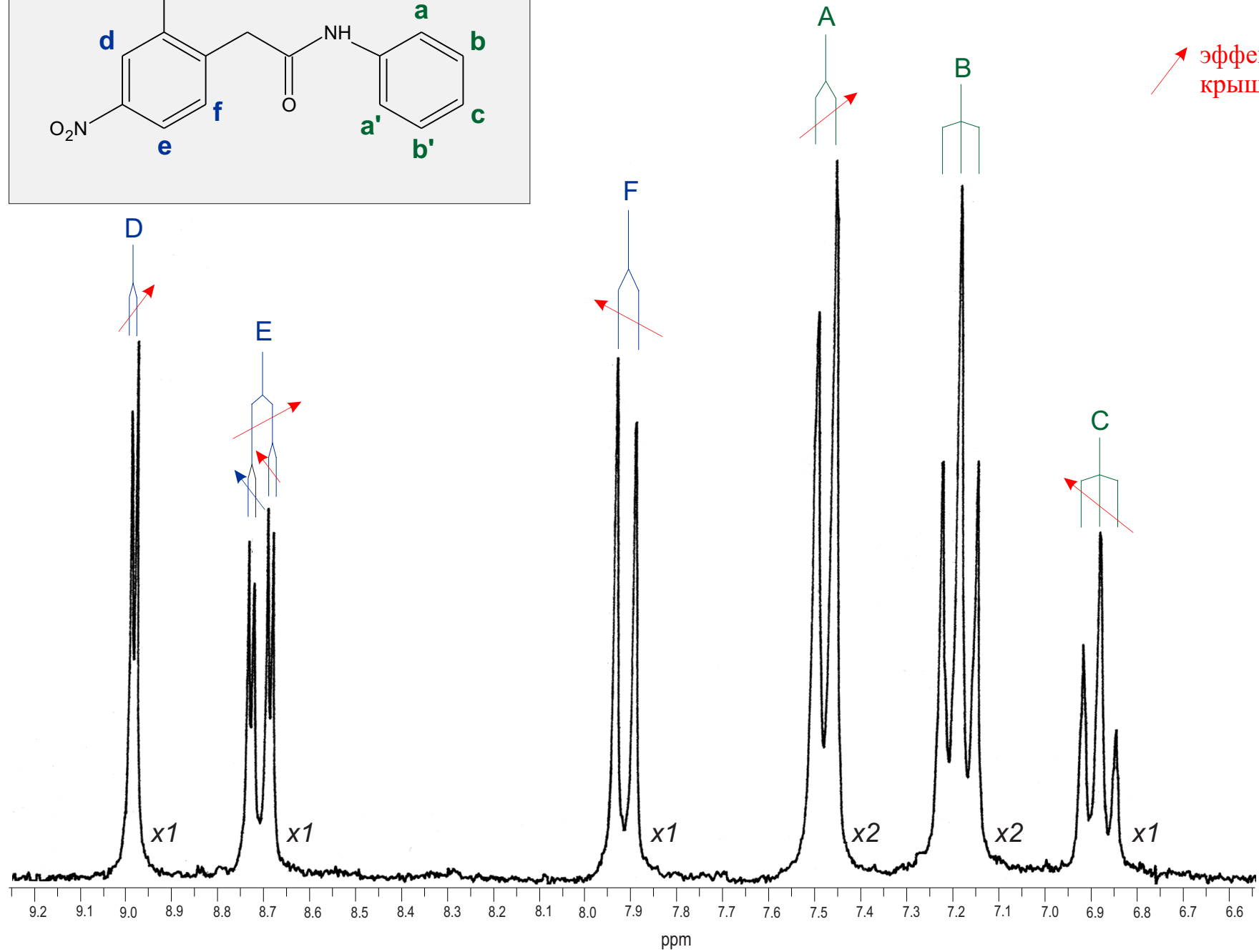
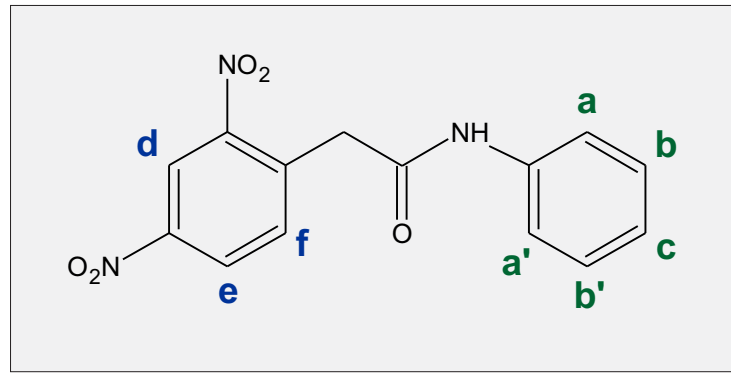


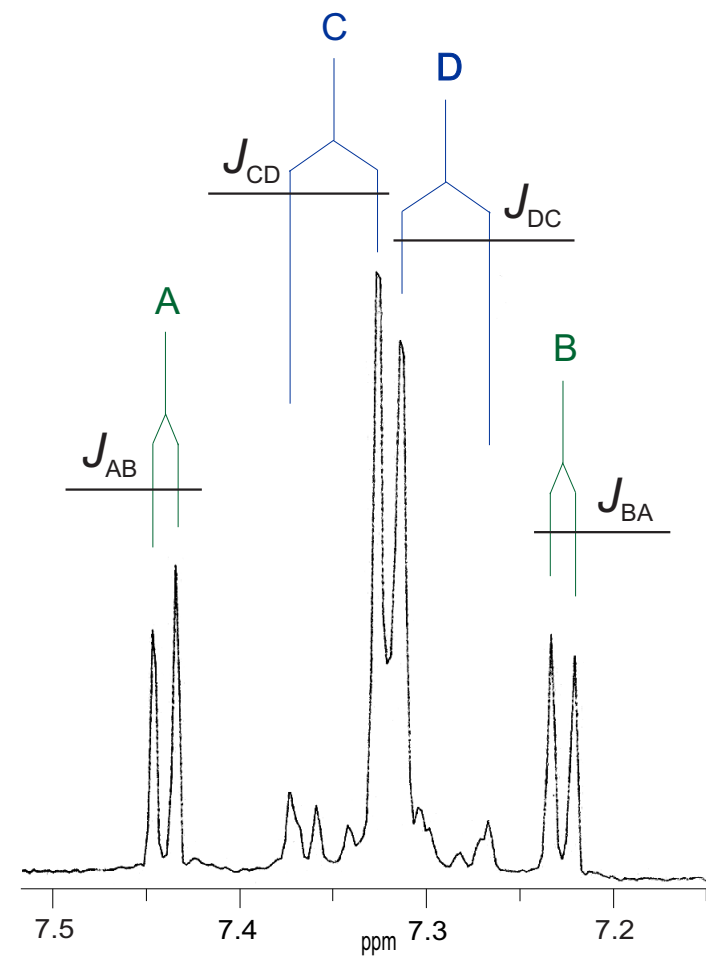
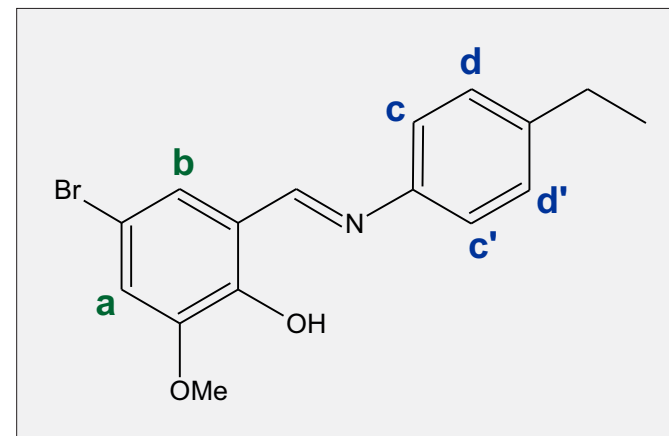
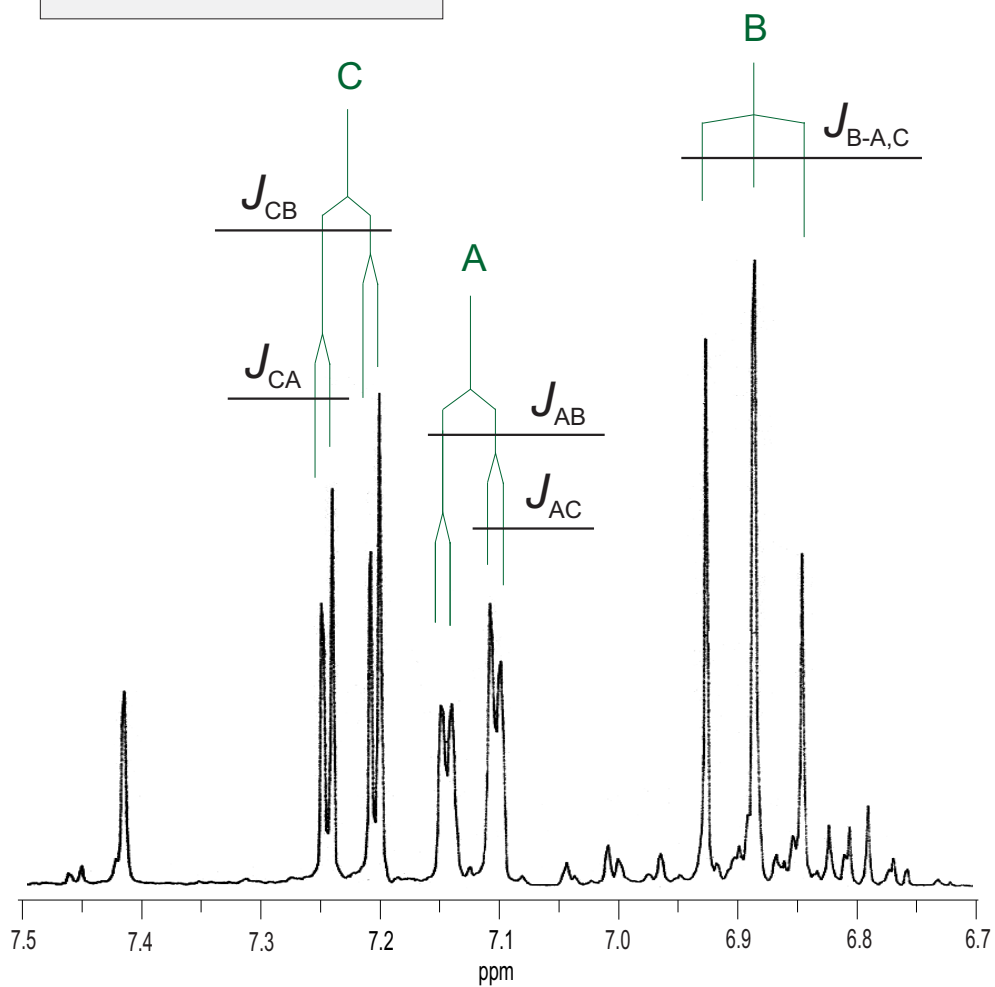
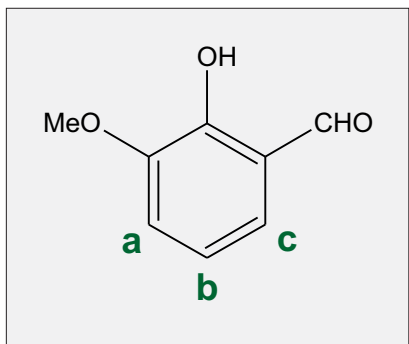
A-B : крутая крыша,
B-C : пологая крыша

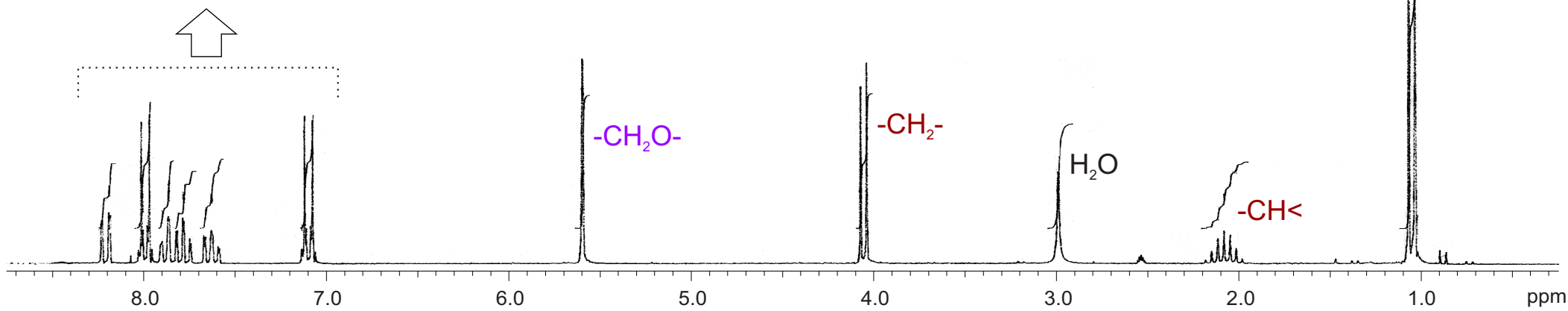
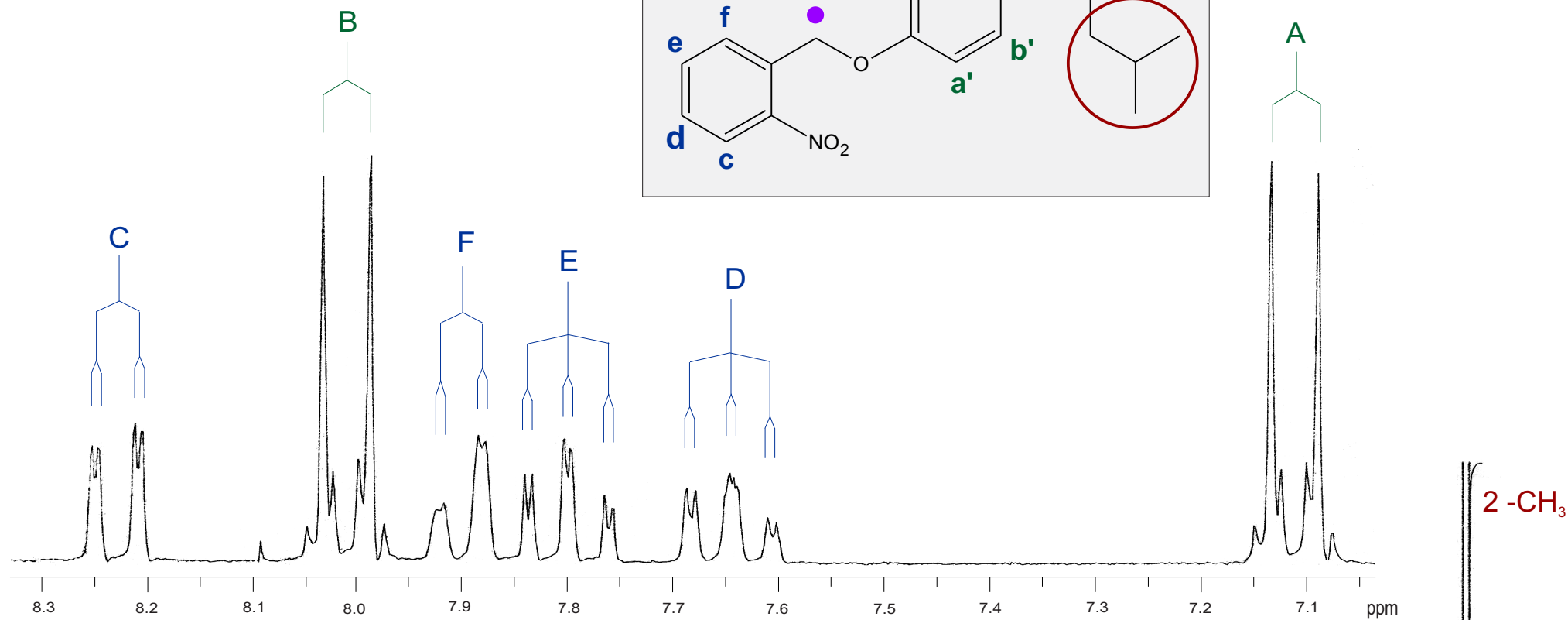
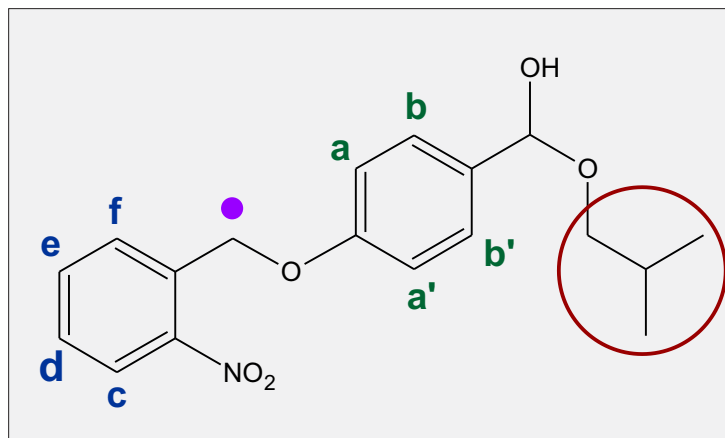


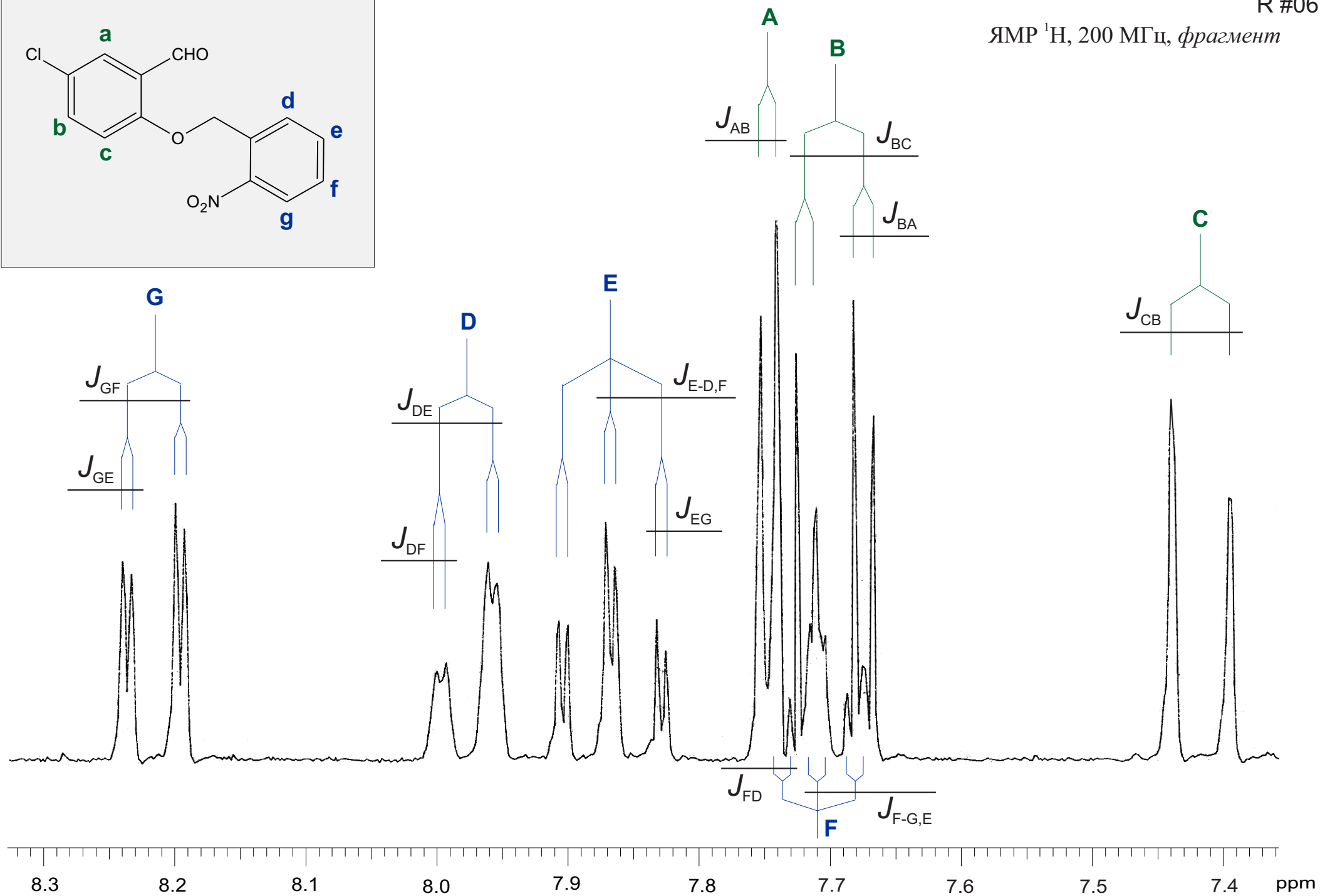
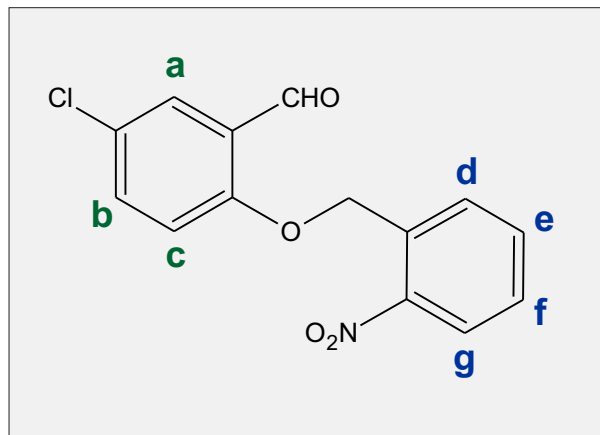
ЯМР ^1H , 200 МГц

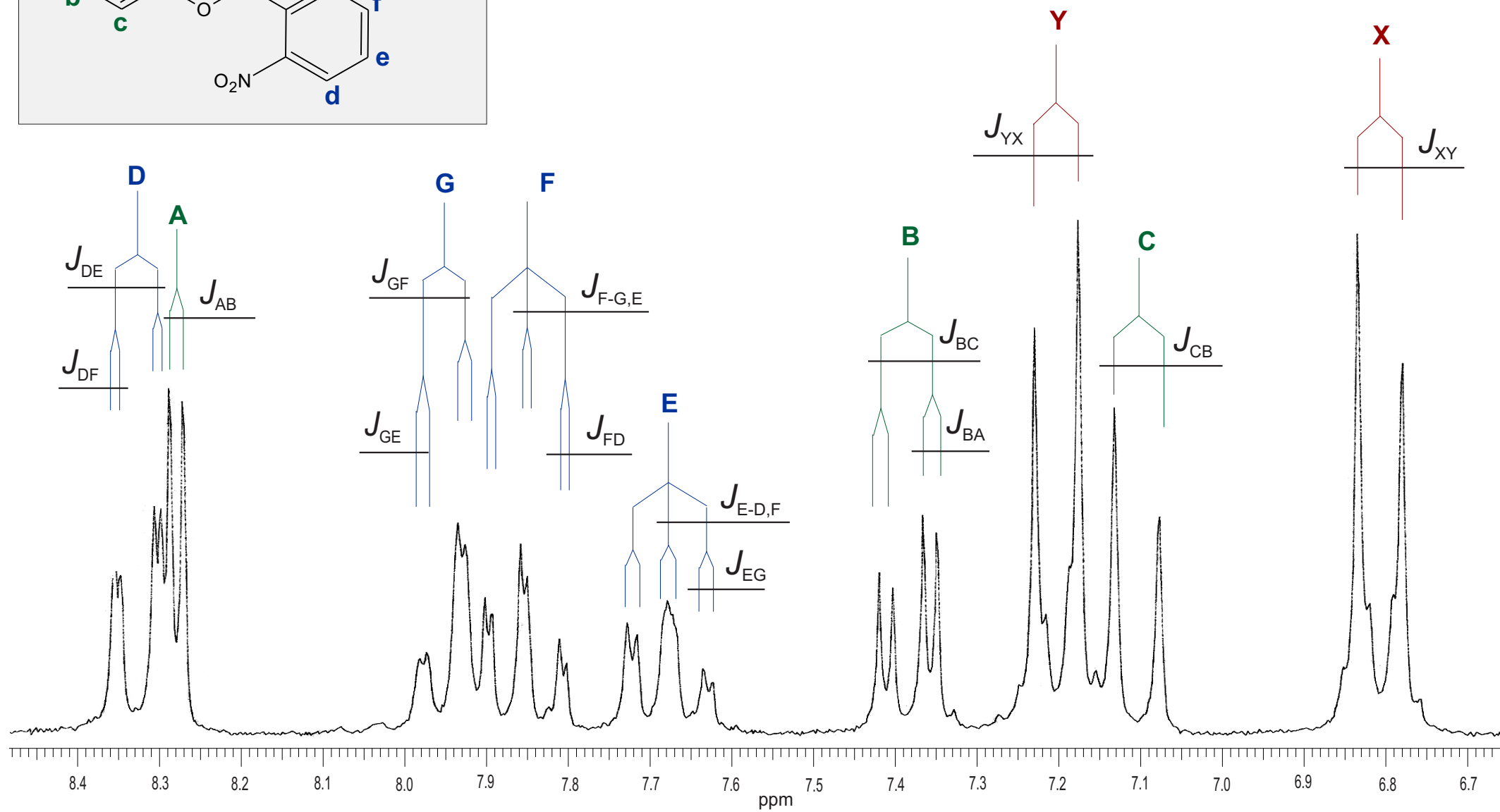
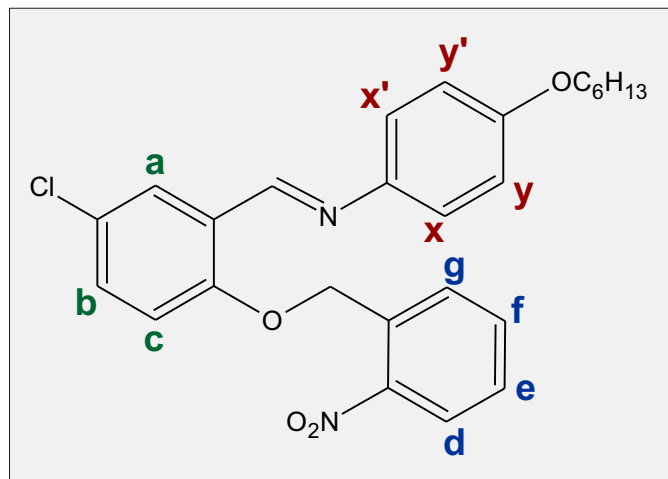
ЯМР ^1H , 200 МГц

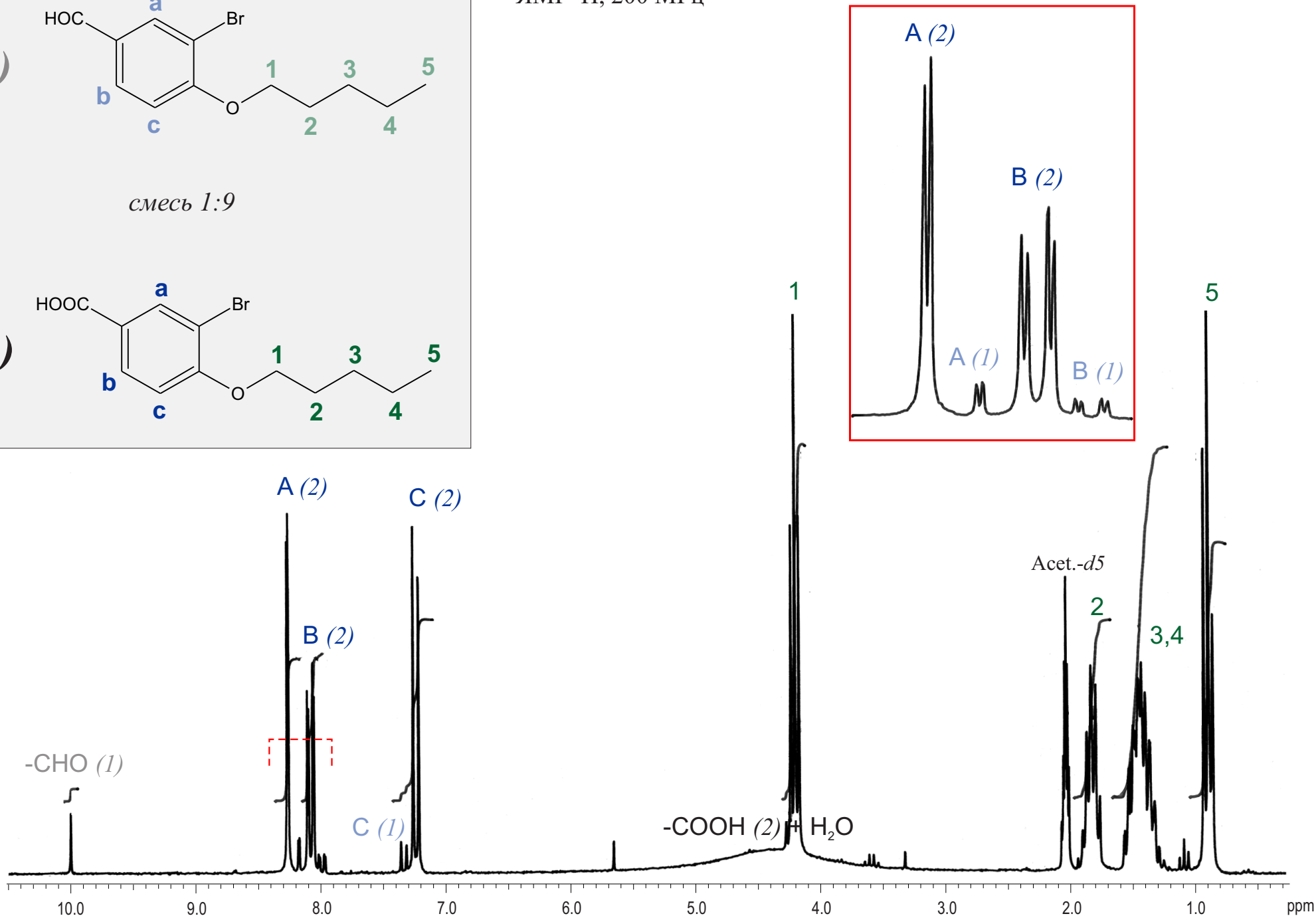
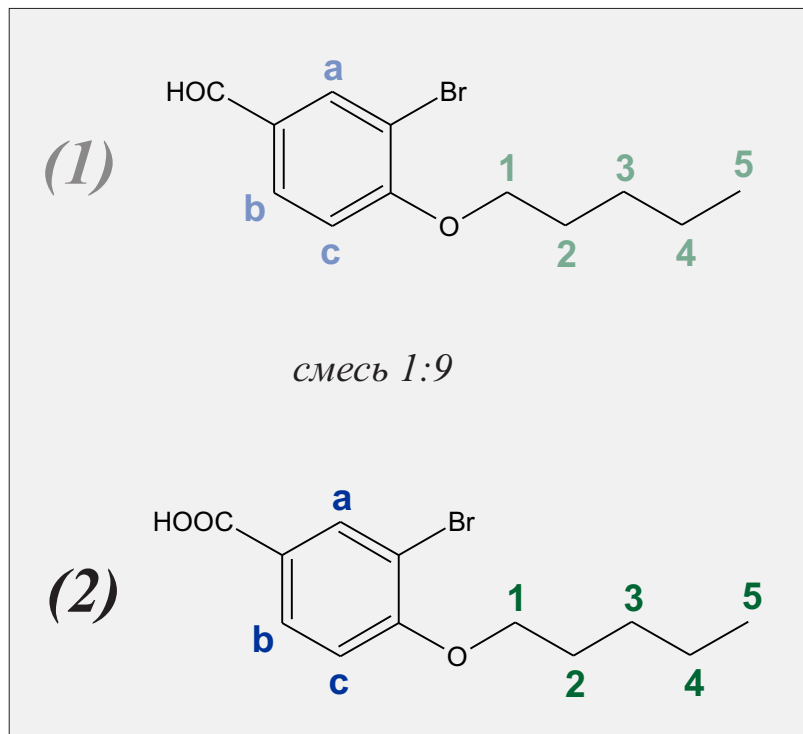
ЯМР ^1H , 200 МГц, фрагмент



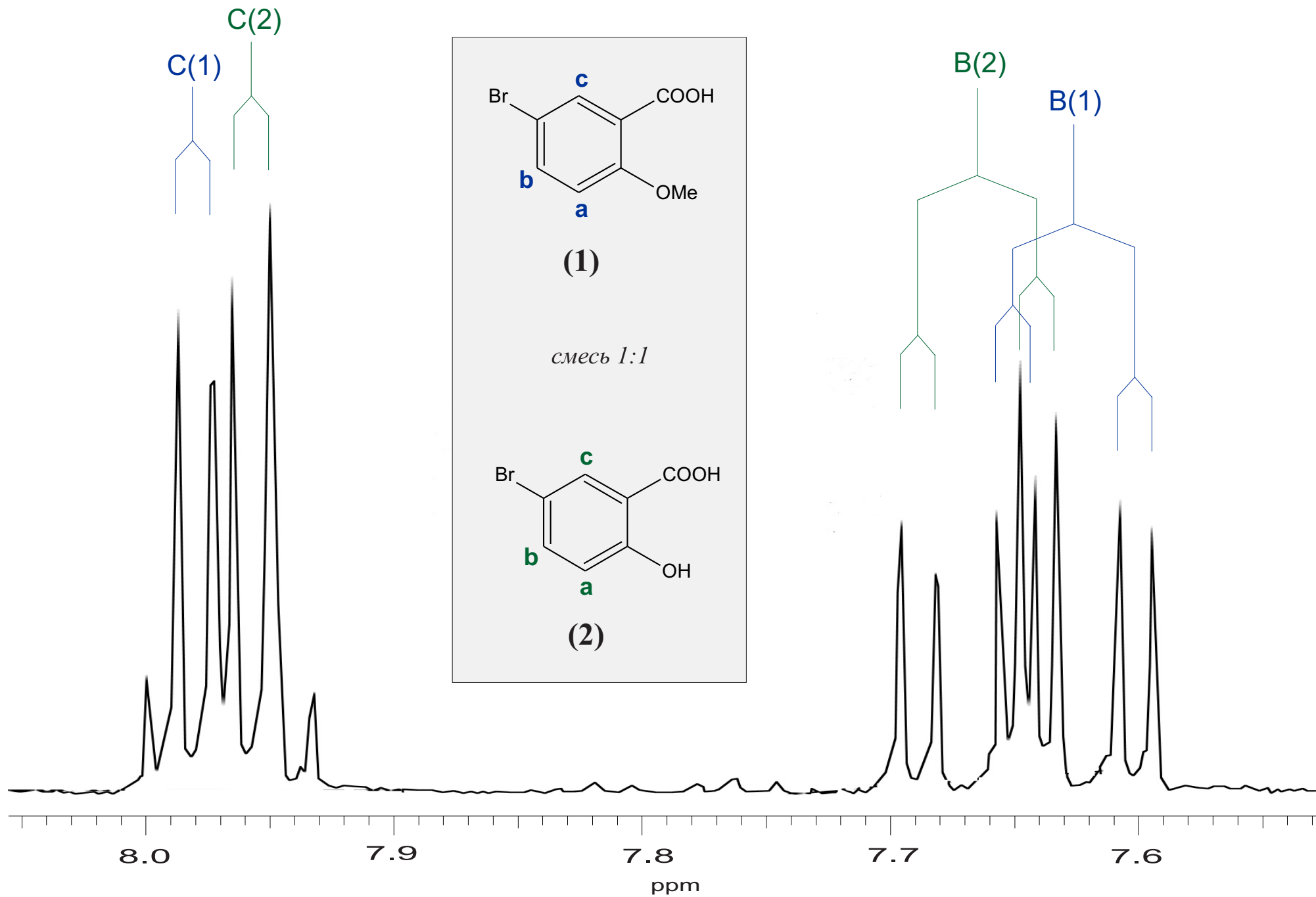


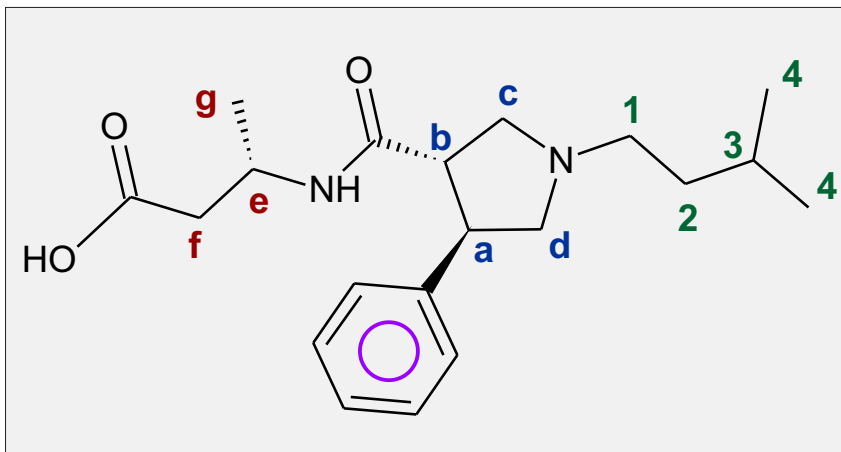




ЯМР ^1H , 200 МГц

ЯМР ^1H , 200 МГц,
фрагмент

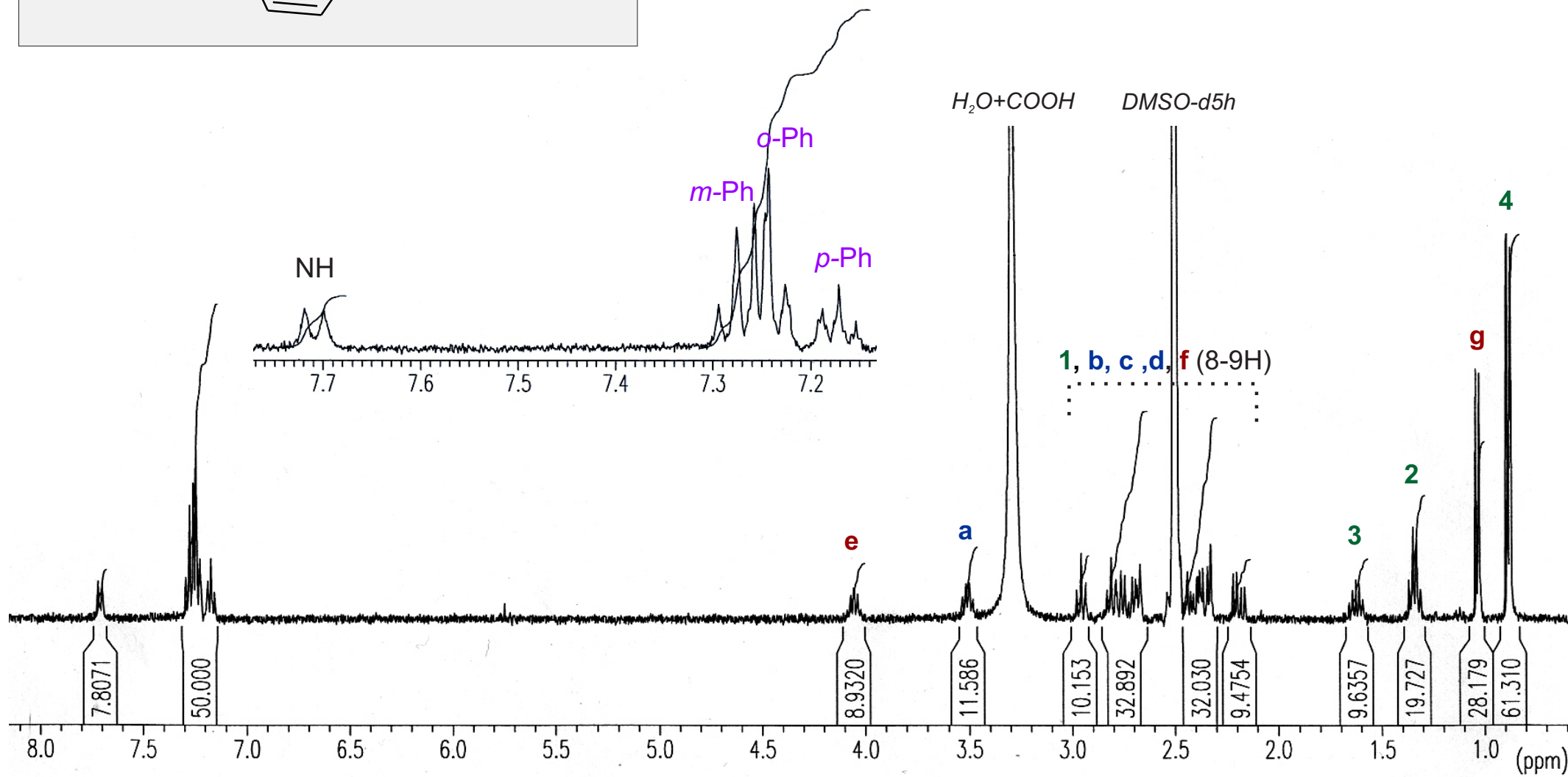




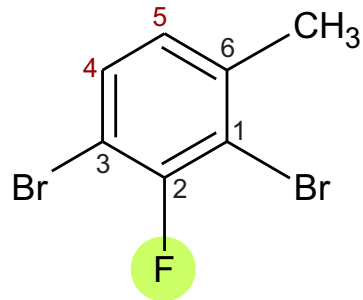
спектр не противоречит структуре,
но не доказывает ее

R #16

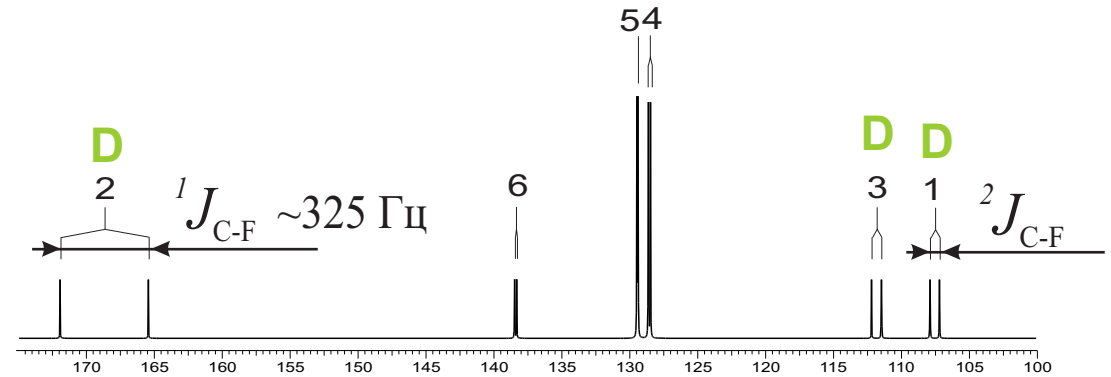
ЯМР ^1H , 400 МГц



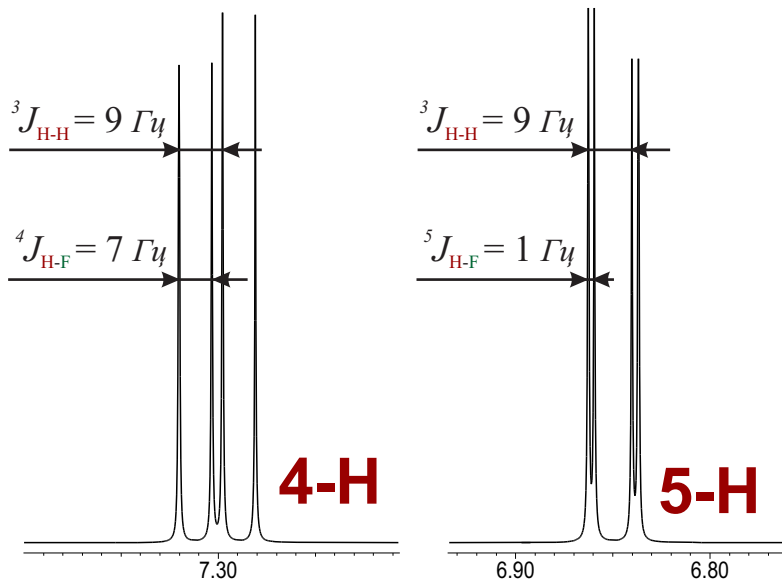
Гетероядерное спин-спиновое взаимодействие



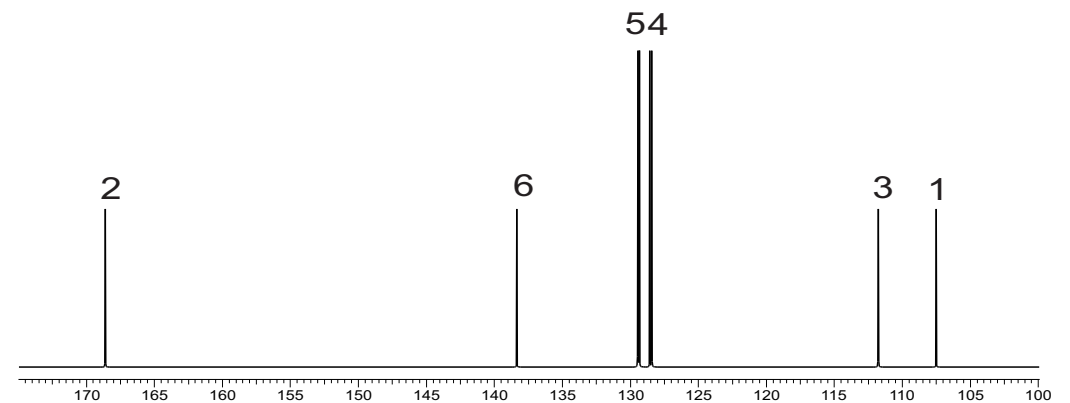
ЯМР ^{13}C с развязкой от ядер ^1H
(фрагмент)



ЯМР ^1H (фрагмент)



ЯМР ^{13}C с развязкой от ядер ^1H и ^{19}F
(фрагмент)



Основные протон-углеродные КССВ

тип КССВ	фрагмент структуры	$J_{C-H}, \text{Гц}^*$
<i>прямые</i>	$sp^3\text{C-H}$	125..135
	$sp^2\text{C-H}$	155..172
	$sp\text{C-H}$	248..251
<i>геминальные</i>	$sp^3\text{C-sp}^3\text{C-H}$	-2..-5
	$sp^3\text{C-sp}^2\text{C-H}$	0..5 (C=C), 26..30 (C=O)
	$sp^2\text{C-sp}^3\text{C-H}$	-6 (<i>толуол</i>)
	$sp^2\text{C-sp}^2\text{C-H}$	1..3
	$sp\text{C-sp}^3\text{C-H}$	-11..-9
	$sp\text{C-sp}^2\text{C-H}$	32..36 (C=O)
	$-\text{C}\equiv\text{C-H}$	50..55
<i>вицинальные</i>	C-C-C-H	0.8 **
	C-C=C-H	5..11
	C=C-C-H	4..10
	$\text{C-C}\equiv\text{C-H}$	3..4
	C-X-C-H	3..5

*
в отсутствие
электроотрицательных
заместителей

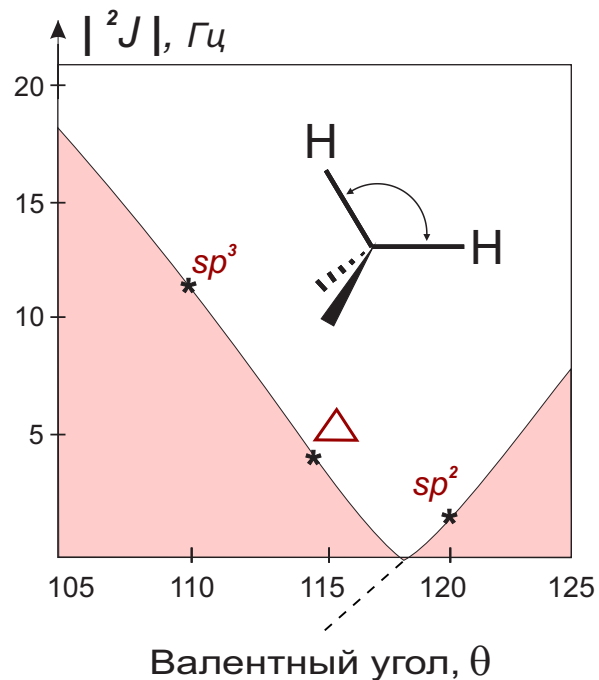
**
зависят от
торсионного
угла

подробная таблица: Lambert JB, Mazolla EP "NMR Spectroscopy", Pearson Education Inc., 2004, Tables 4-1 (^1J), 4-4 (^2J , ^3J) (pp. 119-121)
по другим ядрам: Lambert JB, Mazolla EP "NMR Spectroscopy", Pearson Education Inc., 2004, Tables 4-1 (^1J), 4-5 (^15N) (pp. 119-121)

Ф. Тоукач: слайд 30

Зависимость КССВ от структуры

Геминальные (через 2 связи)

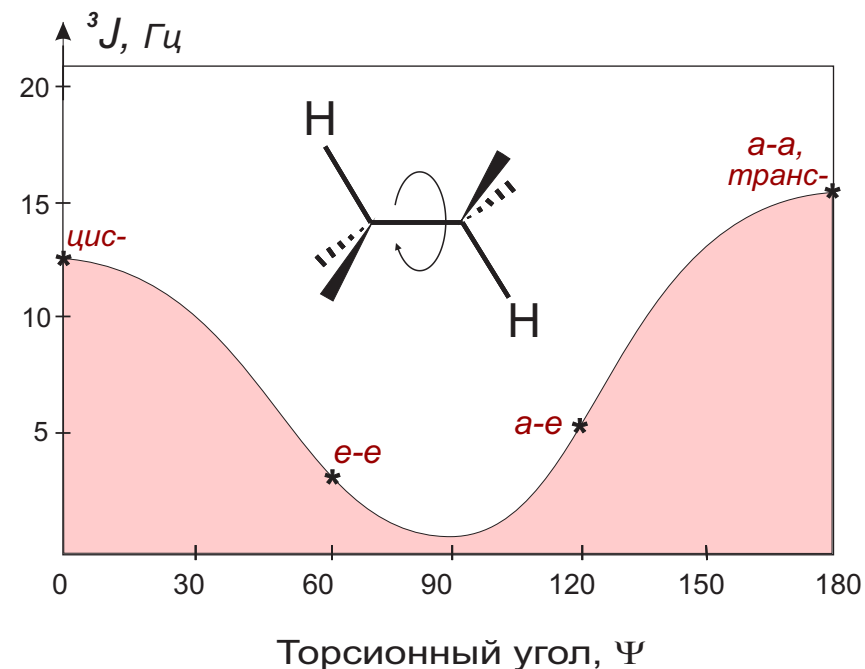


$^2J \uparrow$ электроотрицательные заместители в α -положении, особенно для sp^2 . Для sp^3 $|J| \downarrow$.

$^2J \downarrow$ электроотрицательные заместители в β -положении, особенно для sp^2 . Для sp^2 J проходит через 0.

π -электроны по соседству, особенно если π -орбиталь лежит в плоскости CH_2 -фрагмента. Для sp^3 $|J| \uparrow$.

Вицинальные (через 3 связи)



$^3J \uparrow$ короткие связи X-X:
 $|C=C| < |C-C| < |C-X|$

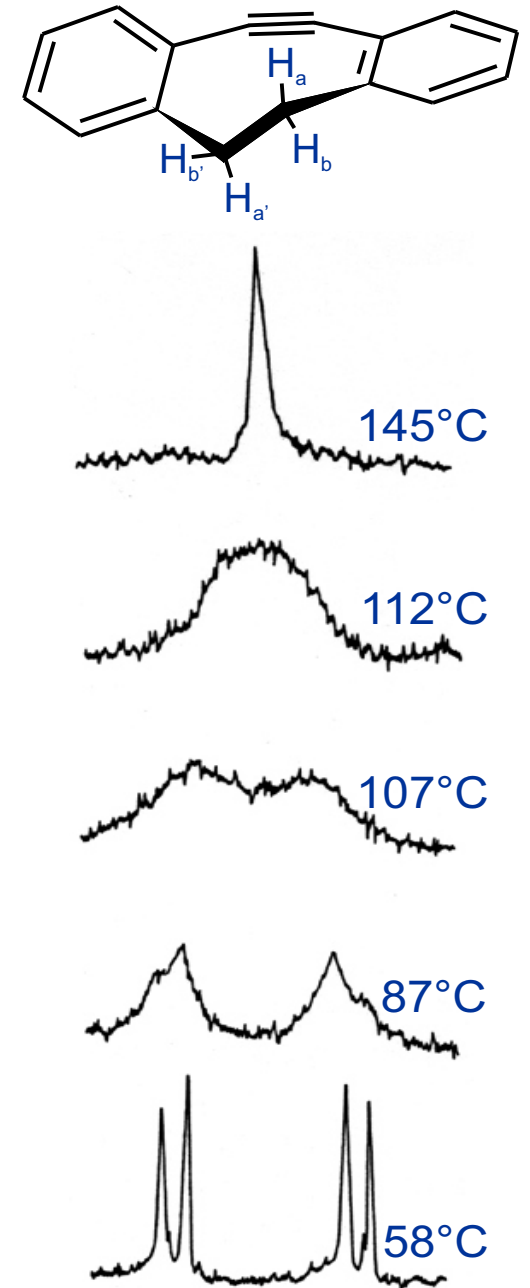
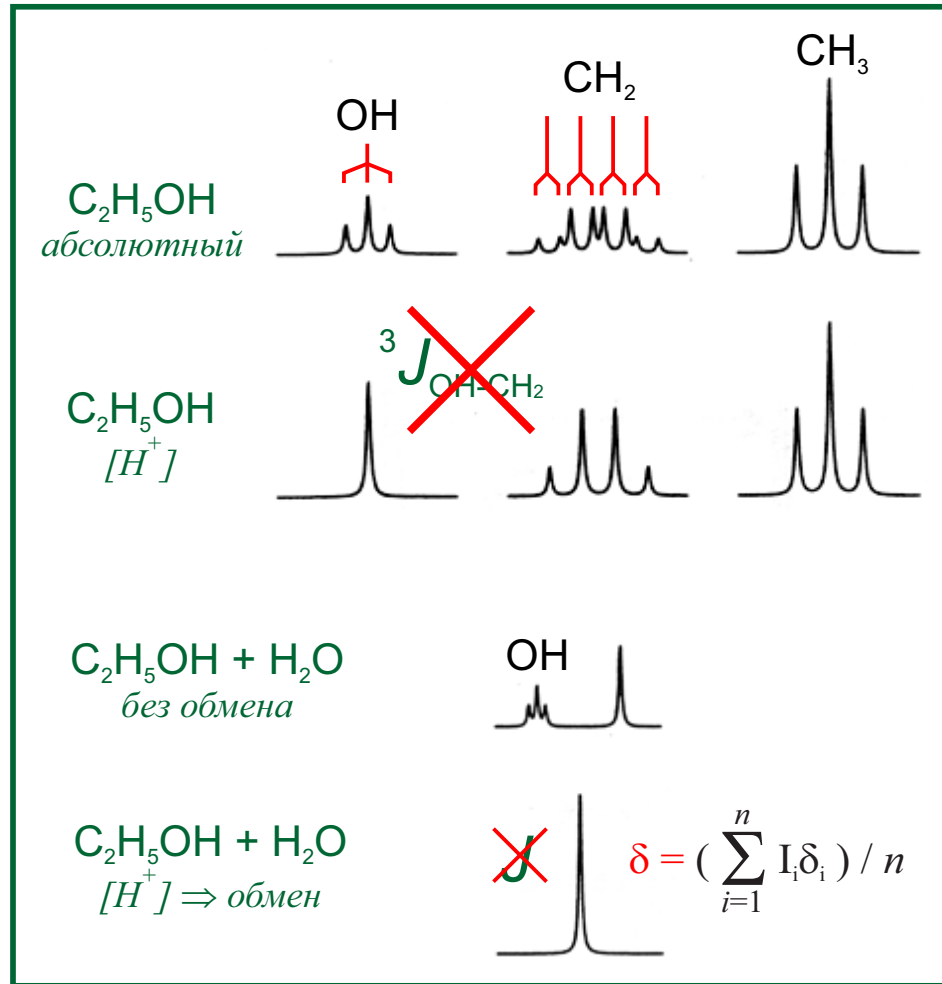
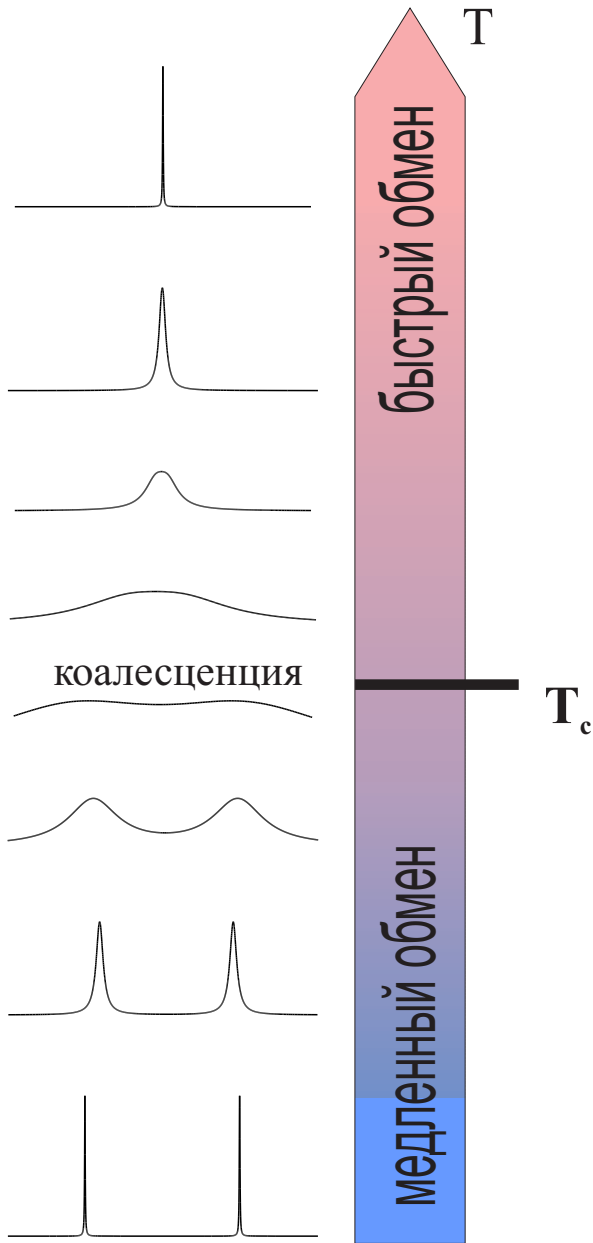
$^3J \downarrow$ электроотрицательные заместители

$$^3J = A + B \cdot \cos(\theta) + C \cdot \cos(2\theta) \quad [\text{формула Карплуса}]$$

Обменные явления в ЯМР

Межмолекулярный обмен

Внутримолекулярный обмен



$$\Delta G^\# = RT_c \ln \frac{RT_c \sqrt{2}}{\pi N_A h |v_a - v_b|}$$

Процессы на шкале времени ЯМР

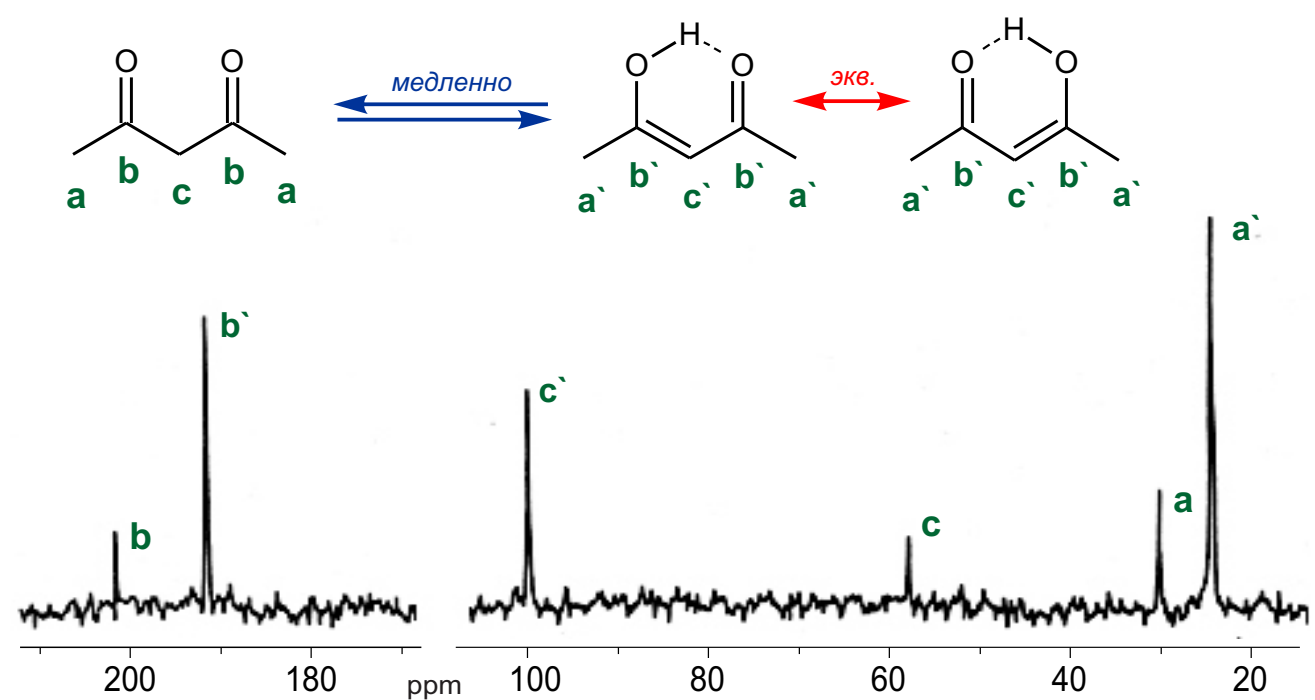
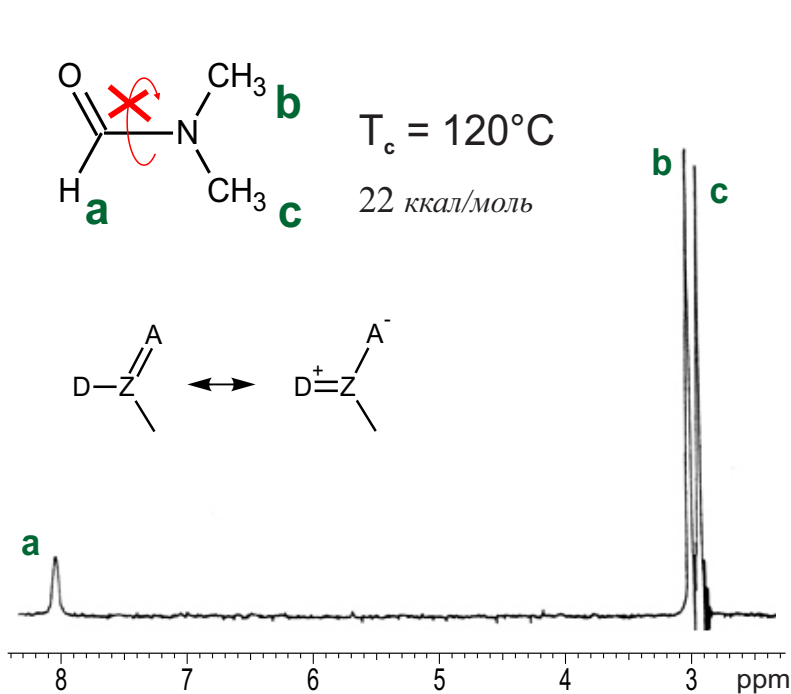
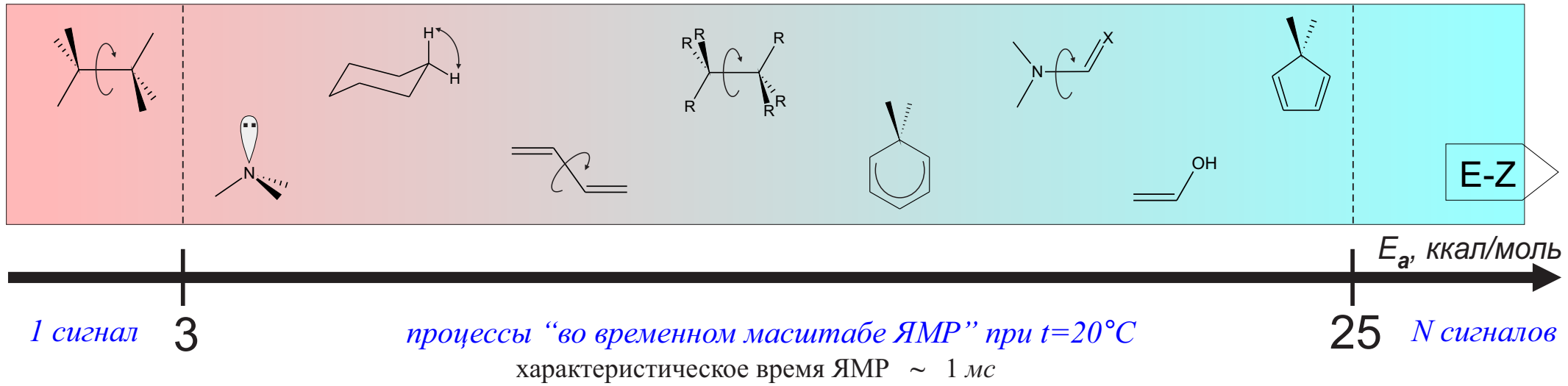
свободное вращение

инверсии

затрудненное вращение

таутомерия

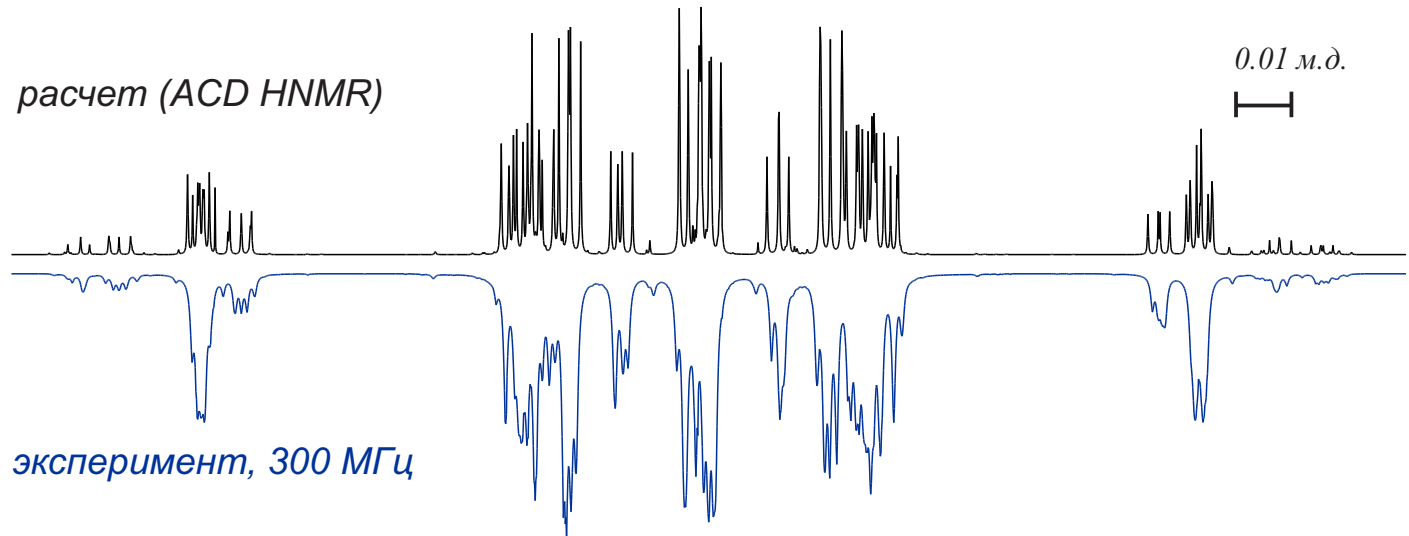
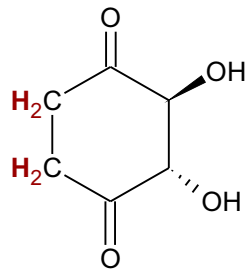
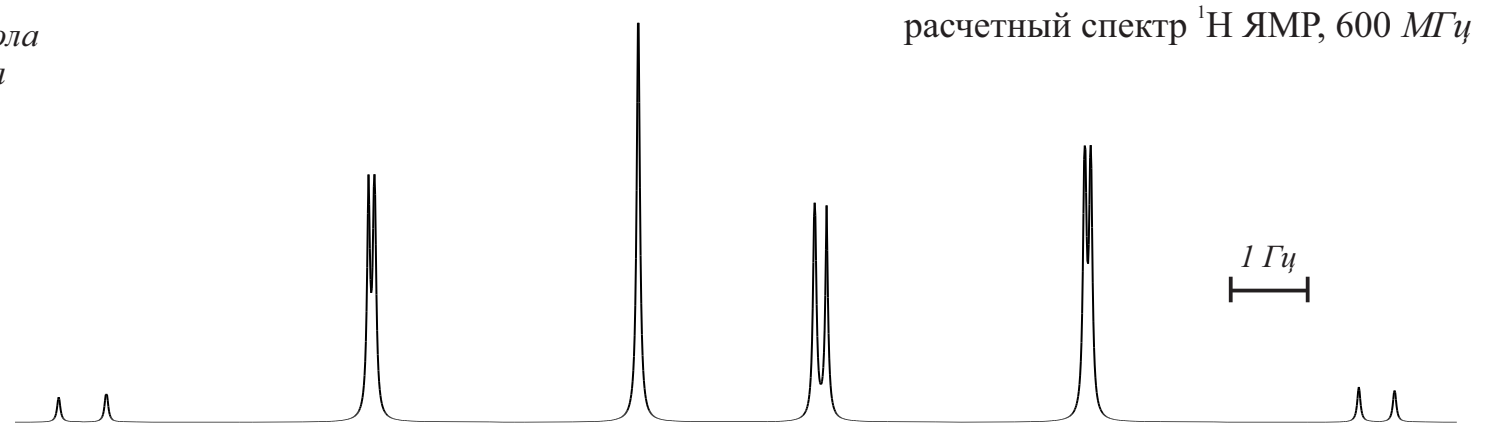
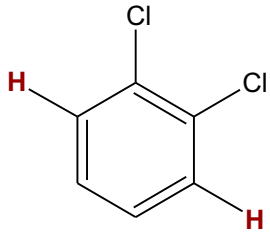
миграции



Спектры не первого порядка

сигналы сближены ($\Delta\delta \approx J$) или химически эквивалентны, но магнитно неэквивалентны ($\text{H}_2\text{C}=\text{CF}_2$)

сигнал орто-протонов 1,2-дихлорбензола
используется для оценки разрешения



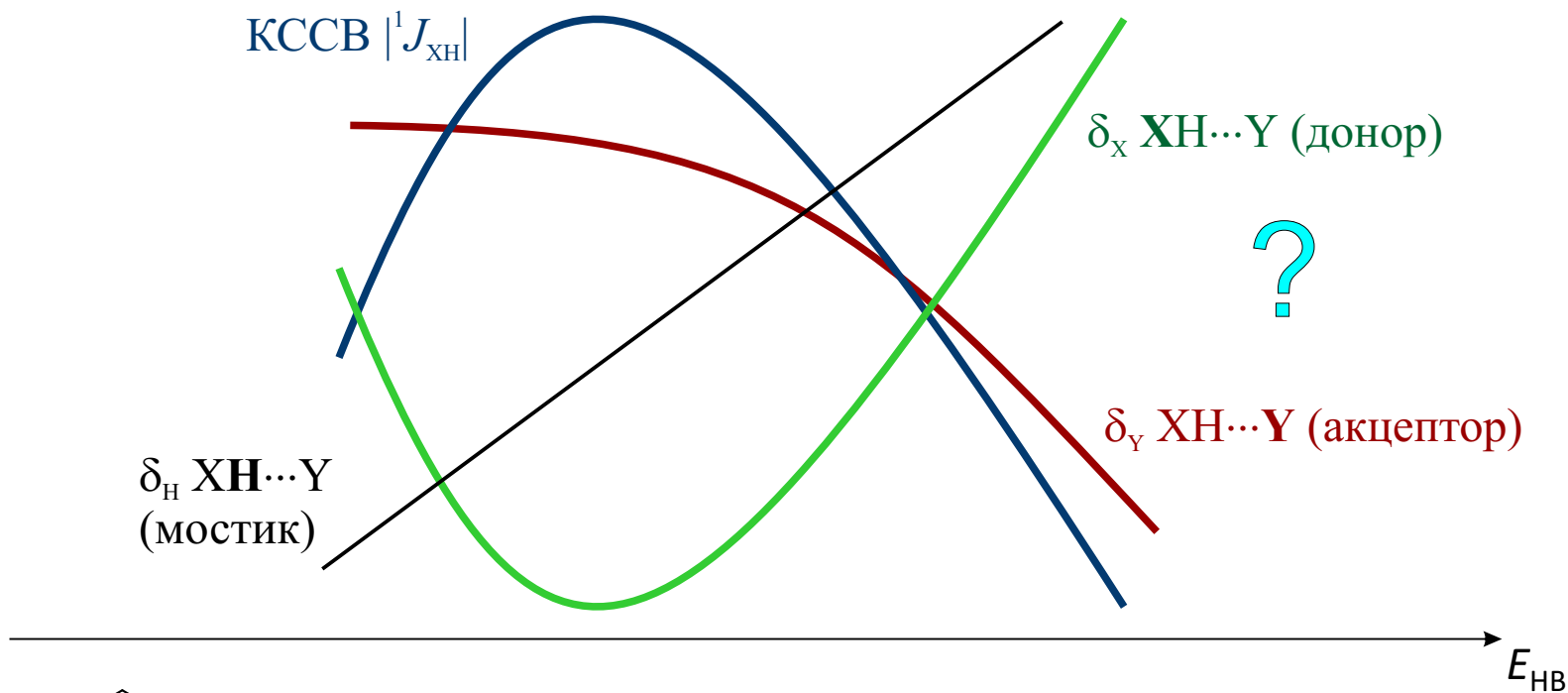
спектры сильносвязанных систем можно предсказать на основании квантомеханических расчетов

матричная алгебра (метод спин-гамильтониана):

дополнительные линии в сильносвязанных системах, отсутствие расщепления на эквивалентных атомах, эффект крыши

Водородные связи

вливают на ХС всех трех атомов и могут вызвать КССВ через водородную связь

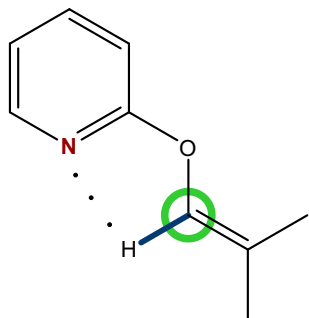


$$^2J_{XY} = C_1 e^{-C_2 r(XY)}$$

$$\Delta\delta_H \text{ (м.д.)}$$

~

$$E_{HB} \text{ (ккал/моль)} - 0.4$$

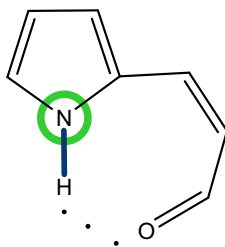


$$\Delta J_{CH} = +4 \text{ Гц}$$

$$\Delta\delta_N = -33 \text{ м.д.}$$

$$\Delta\delta_C = -3 \text{ м.д.}$$

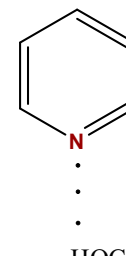
$$\Delta\delta_H = +0.6 \text{ м.д.}$$



$$\Delta J_{NH} = -5 \text{ Гц}$$

$$\Delta\delta_N = +16 \text{ м.д.}$$

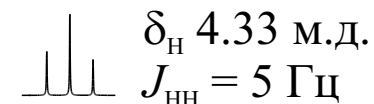
$$\Delta\delta_H \sim +15 \text{ м.д.}$$



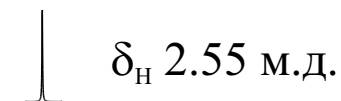
НОС(О)CF₃

$$\Delta\delta_N = -128 \text{ м.д.}$$

EtOH в абс. DMSO-*d*6

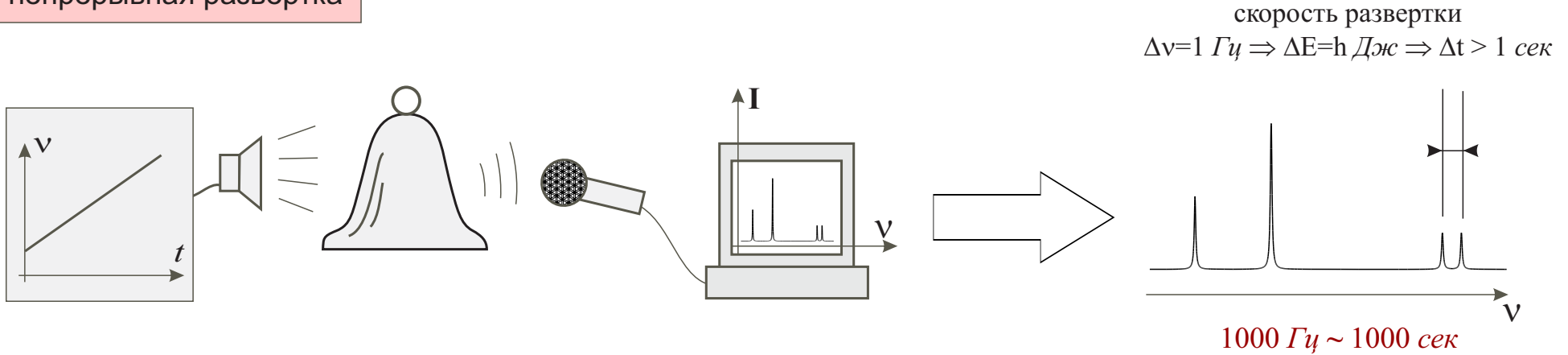


EtOH в CDCl₃

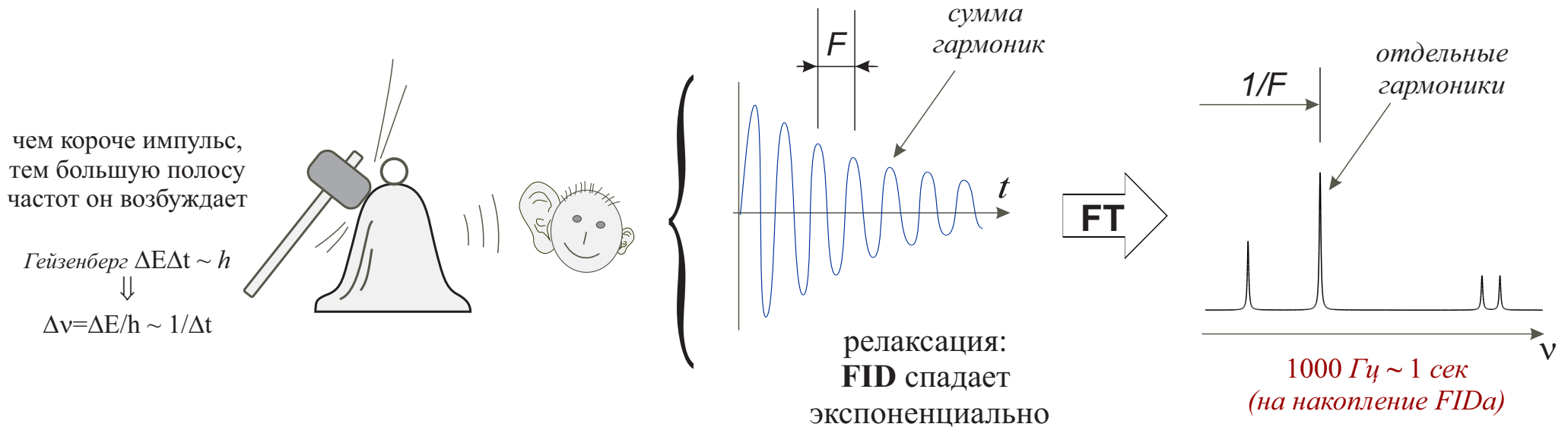


Классический и импульсный ЯМР

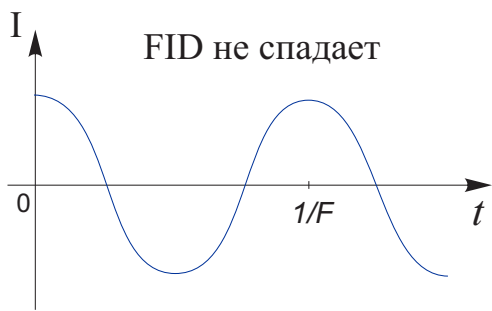
непрерывная развертка



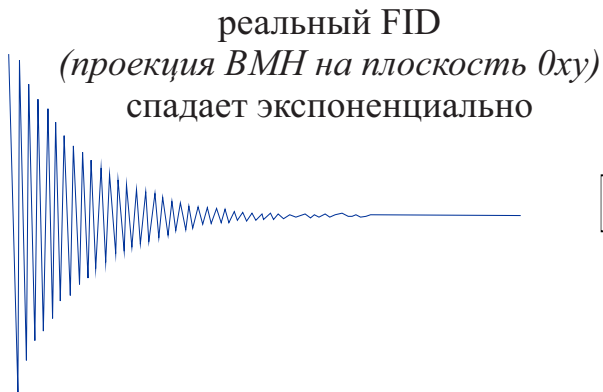
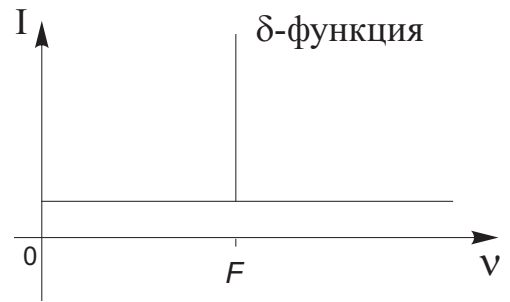
импульсный метод



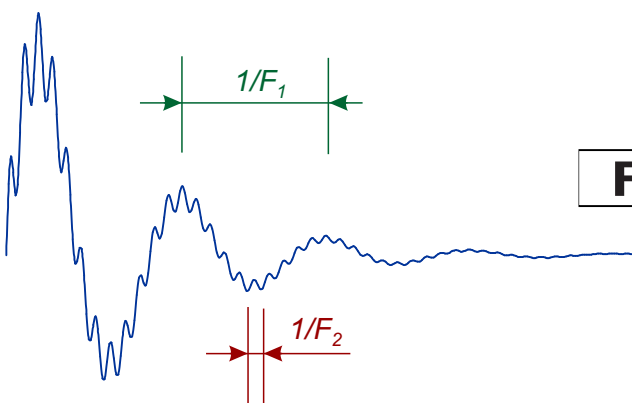
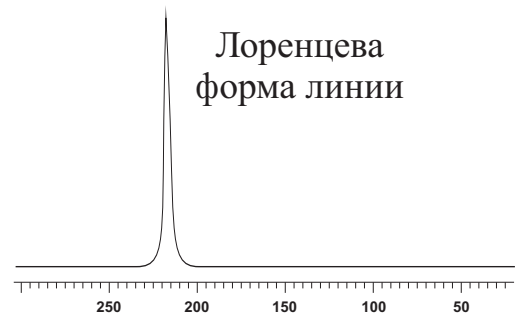
FID и спектр ЯМР



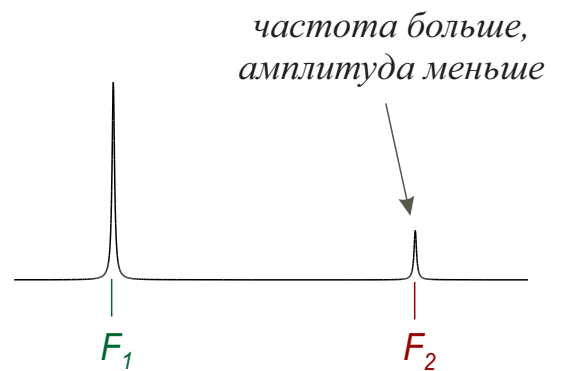
FT



FT



FT

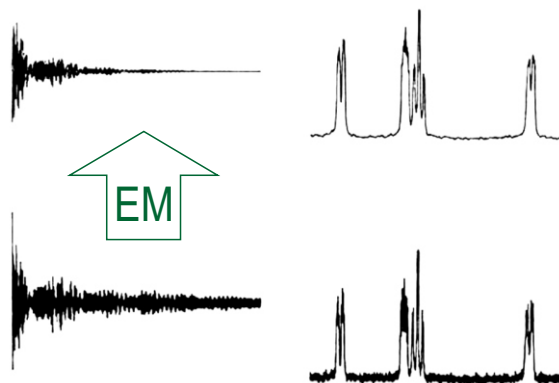
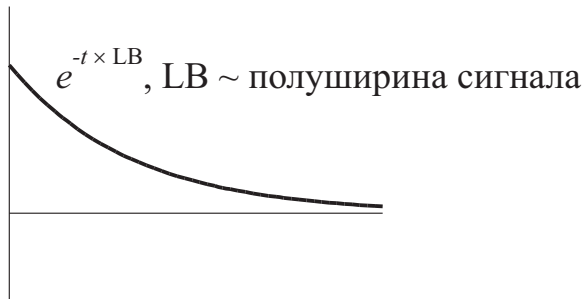


$$f(\omega) = \int_{-\infty}^{+\infty} f(t) e^{i\omega t} dt$$

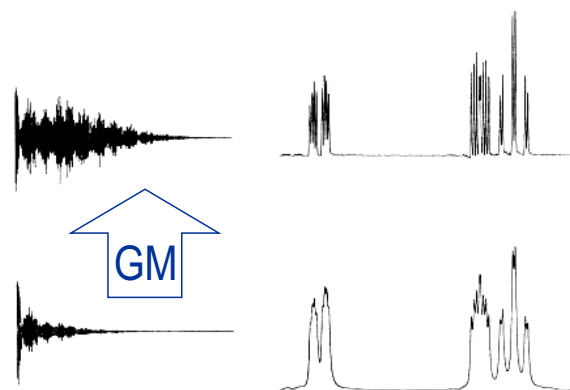
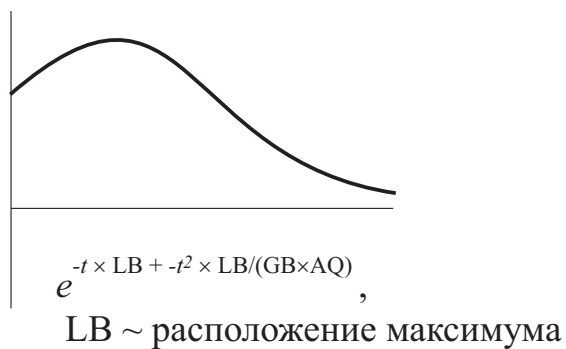
преобразование Фурье (FT)

Операции с FID до преобразования Фурье

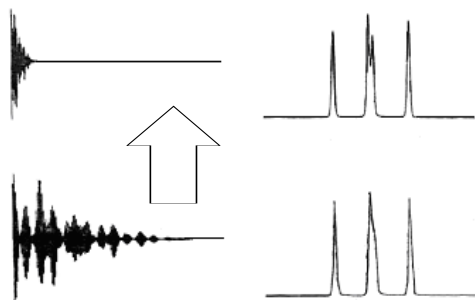
Умножение на экспоненту -
улучшение S/N за счет разрешения



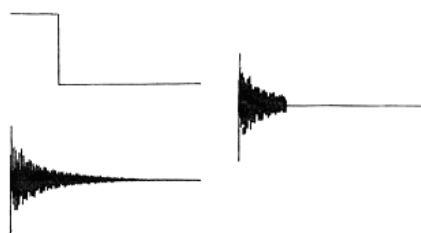
Гауссово умножение -
изменение формы линии за счет S/N



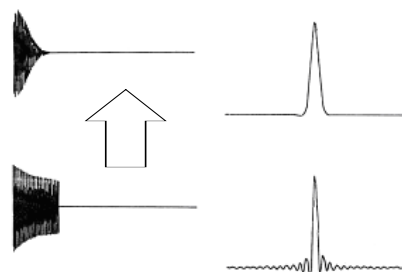
Дополнение нулями
(точек становится больше,
а шум не добавляется)



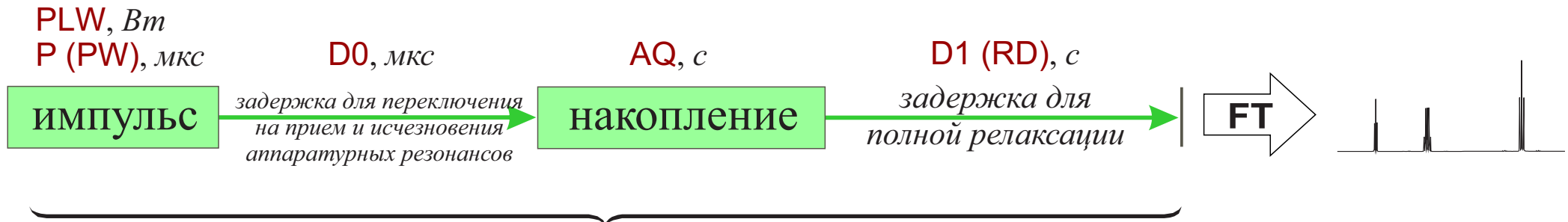
Обрезание
(экономия времени)



Аподизация
(сглаживание 'ступеньки')

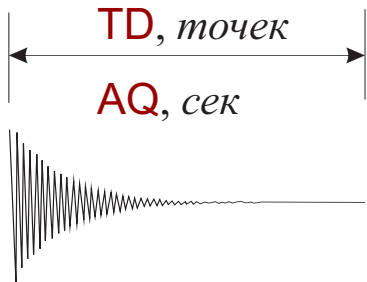


Простейший эксперимент ЯМР



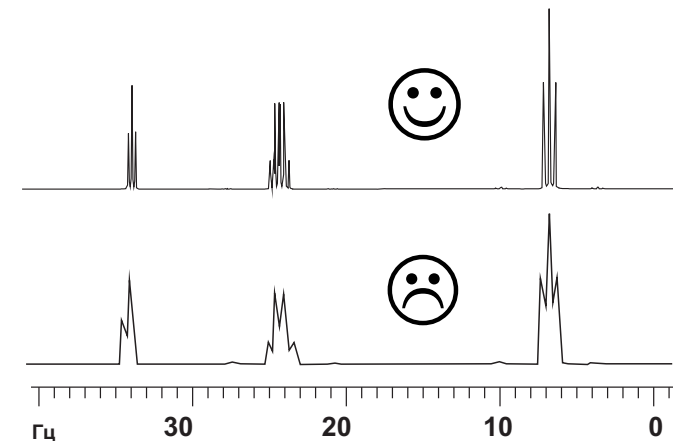
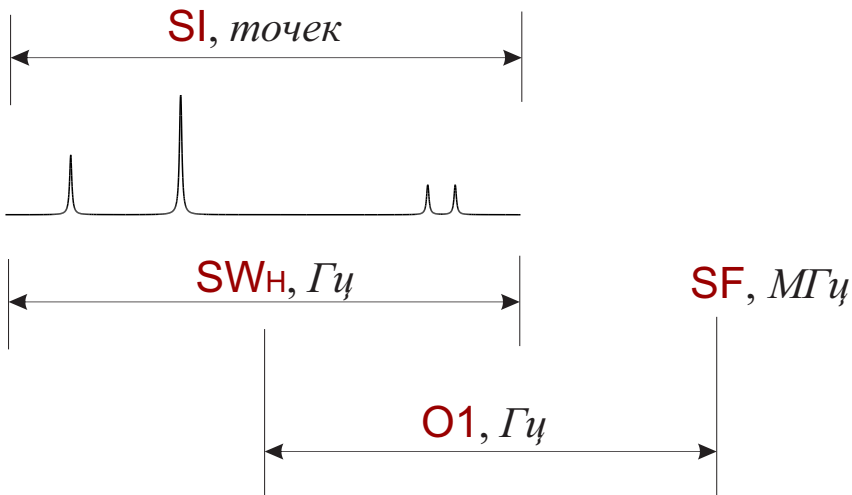
"скан", повторяется **NS** раз

$$S \sim NS, N \sim \sqrt{NS} \Rightarrow S / N \sim \sqrt{NS}$$

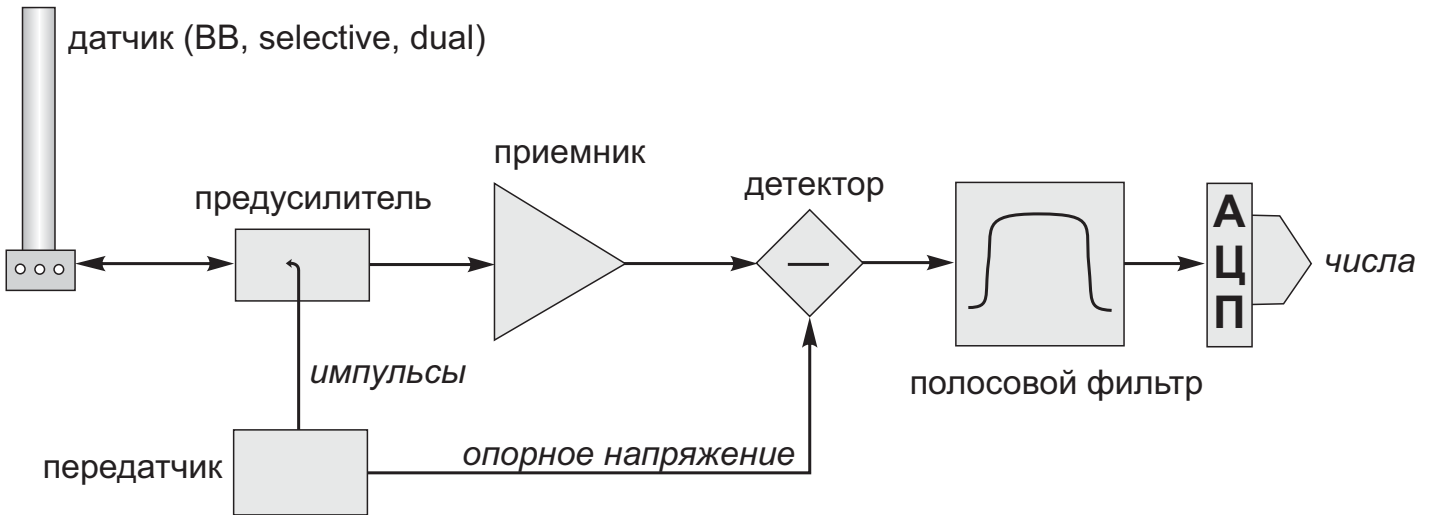


Естественное разрешение = $1/AQ$
 (при условии, что релаксация не происходит быстрее, чем AQ , т.е. линии достаточно узкие)

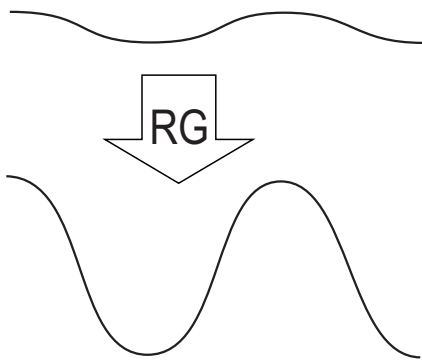
Цифровое разрешение = SI / SW



Оцифровка сигнала ЯМР



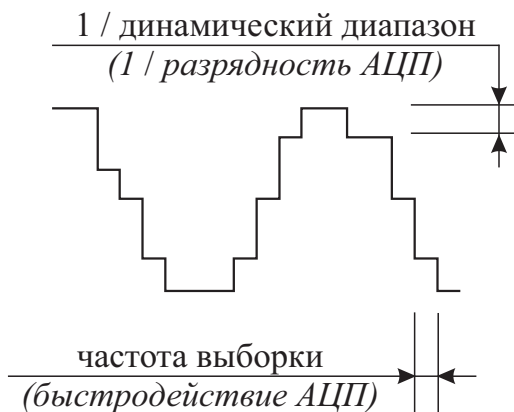
аналоговый сигнал



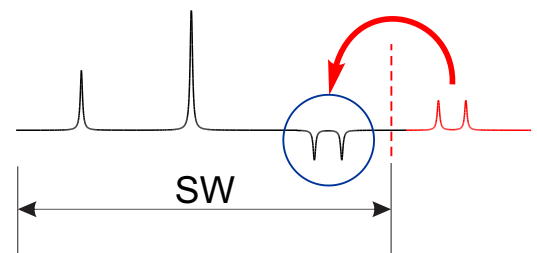
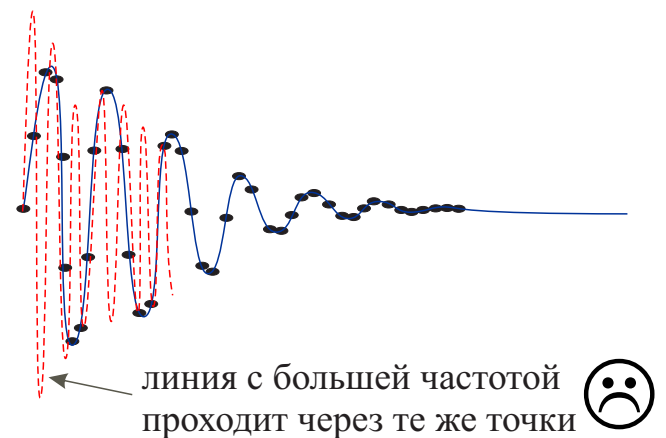
$RG \downarrow$ - потеря маленьких сигналов в шумах

$RG \uparrow$ - зашкал АЦП, искажения базовой линии

цифровой сигнал



$$AQ = TD / 2SW$$



Критерий Найквиста

Для оцифровки всех частот скорость выборки должна быть $2 * SW$.

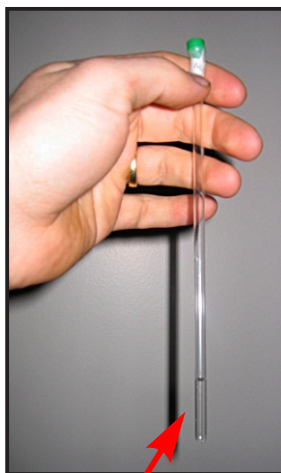
Частоты, не попадающие в SW , присутствуют в спектре в виде **отраженных сигналов с противоположной фазой.**

К этим частотам относится и шум \Rightarrow необходим полосовой фильтр.

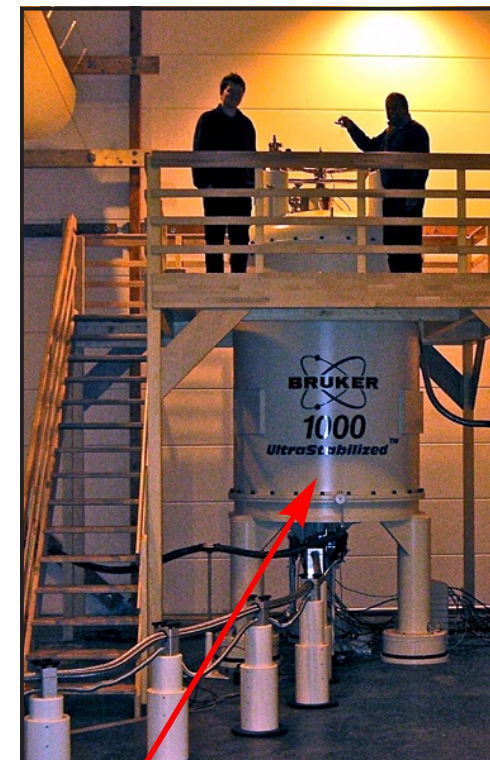
датчик ЯМР



ЯМР аппаратура в картинках

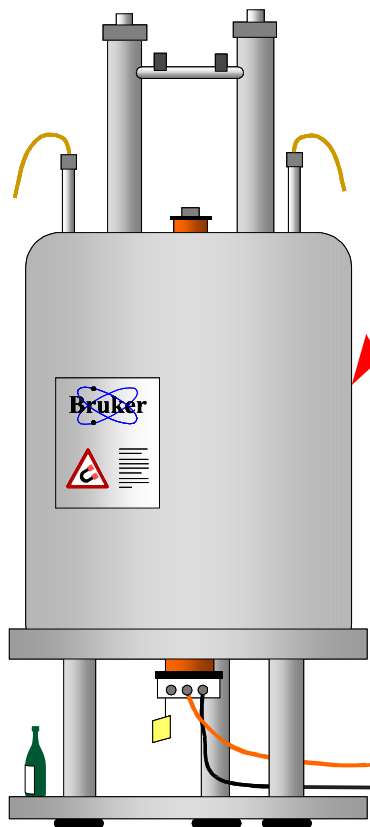


образец

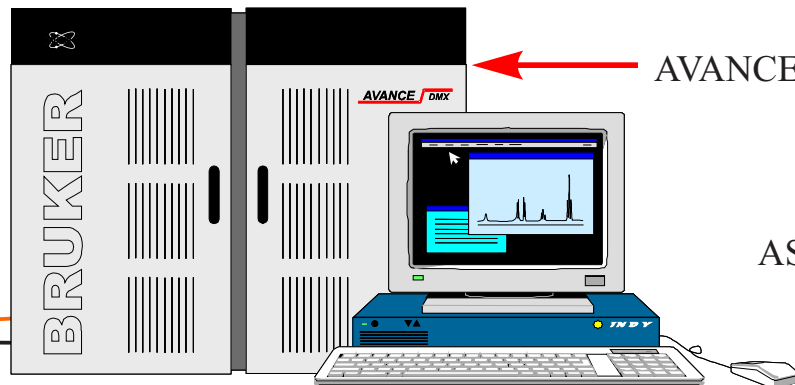


МОНСТР

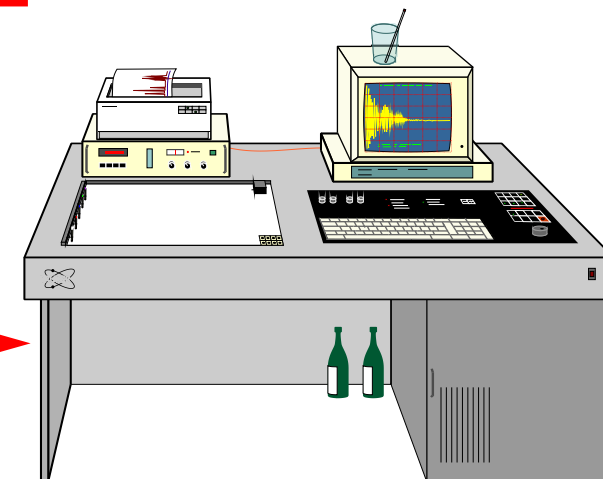
спектрометр ЯМР



AVANCE / SG / IRIX

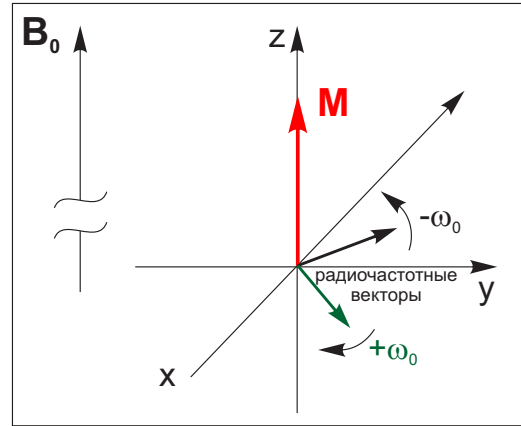
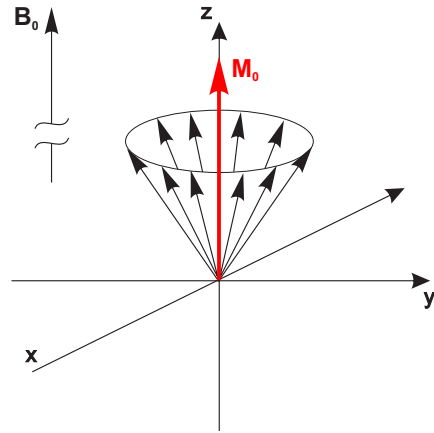
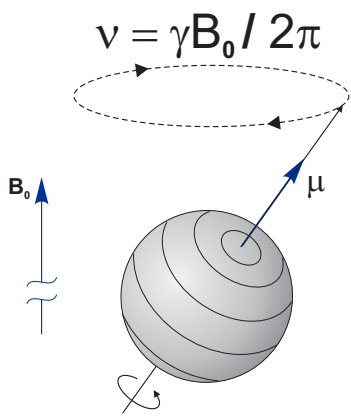


ASPECT / ADAKOS

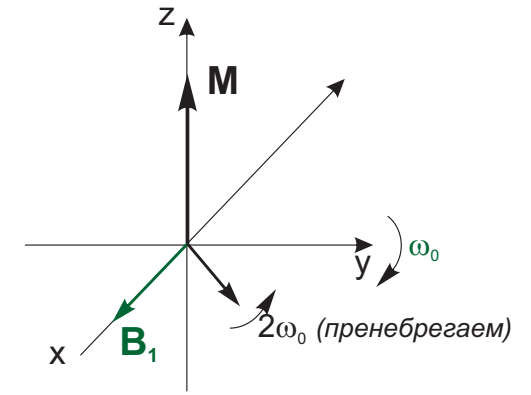


Основные понятия импульсного ЯМР

Магнитный момент ядра и вектор макроскопической намагниченности



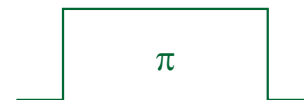
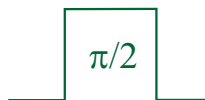
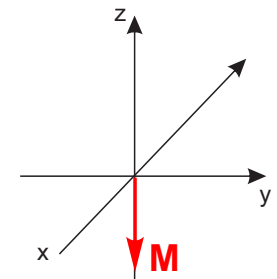
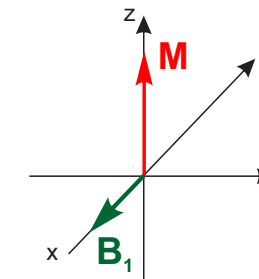
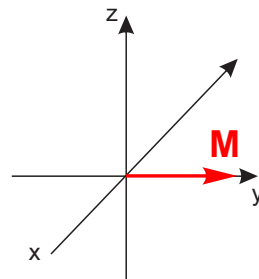
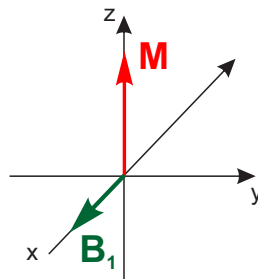
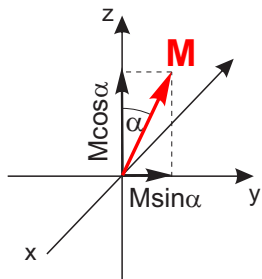
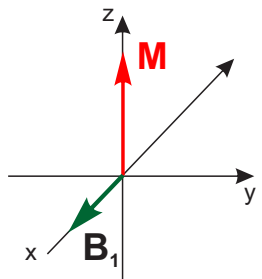
лабораторная система координат



вращающаяся система координат

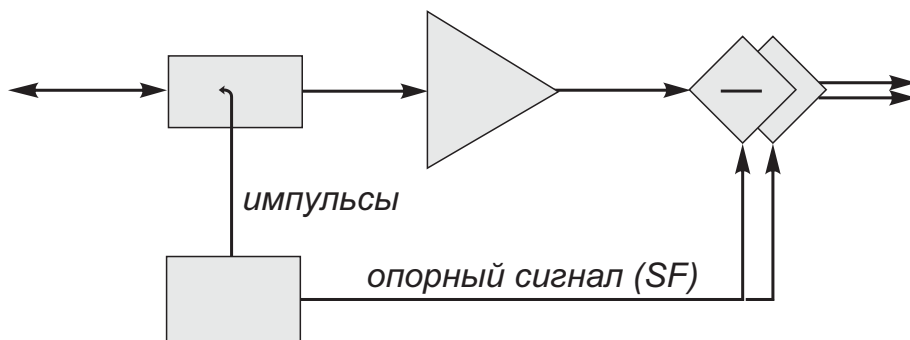
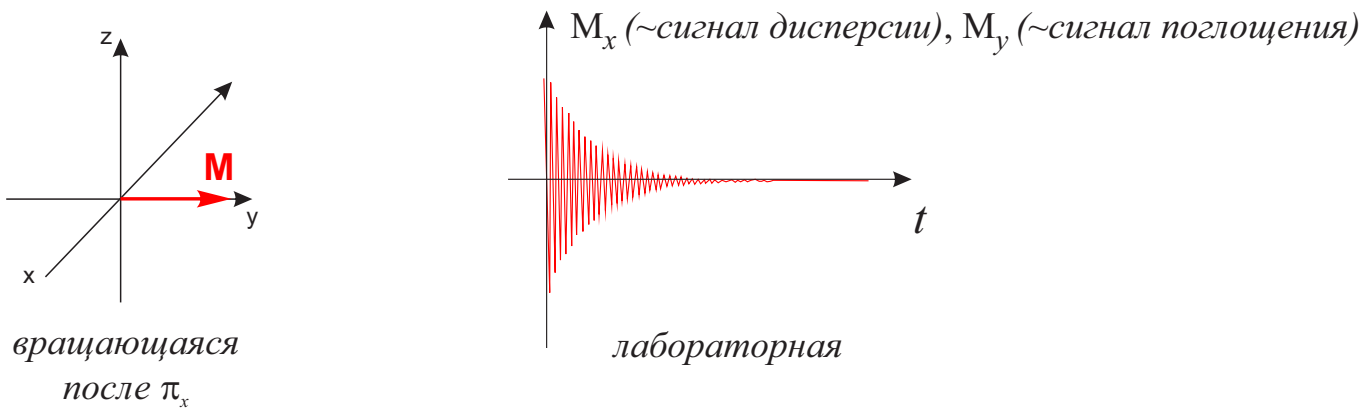
заселенность $\uparrow\uparrow$ больше, чем $\uparrow\downarrow \Rightarrow z(BMH) > 0$

виды импульсов



радиочастотное поле

FID и фаза сигналов



меняя фазу опорного сигнала при вычитании SF, можно получить сигнал поглощения, либо сигнал дисперсии

Квадратурное детектирование (2 приемника с отличающейся на 90° фазой опорного сигнала) позволяет поместить SF+O1 в центр спектра и разделить отрицательные и положительные частоты (снизить требования к АЦП в два раза).

☺ чувствительность ☹ сигналы (<1%), отраженные от центра спектра

фазовые сдвиги между частотами в FID и несовпадение фаз импульса и опорного сигнала

⇓
смешивание Re- и Im- частей Фурье-образа

⇓
разделяются численно:

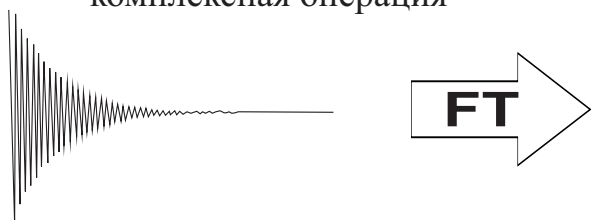
Re: соответствует сигналу поглощения

$$\text{Re}[f(\omega)] = \int_{-\infty}^{+\infty} f(t) \cos(\omega t) dt$$

Im: соответствует сигналу дисперсии

$$\text{Im}[f(\omega)] = \int_{-\infty}^{+\infty} f(t) \sin(\omega t) dt$$

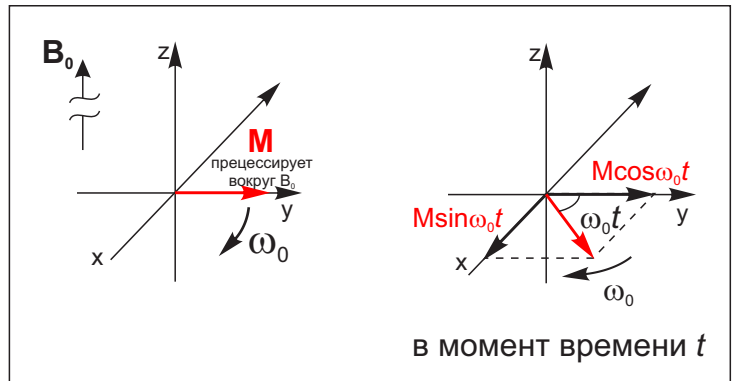
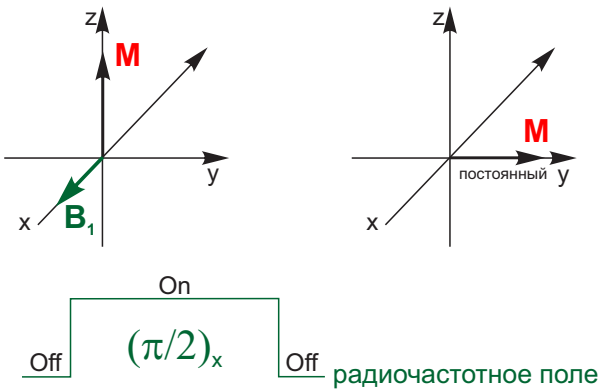
Преобразование Фурье - комплексная операция



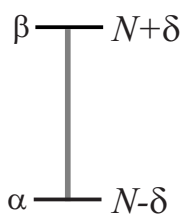
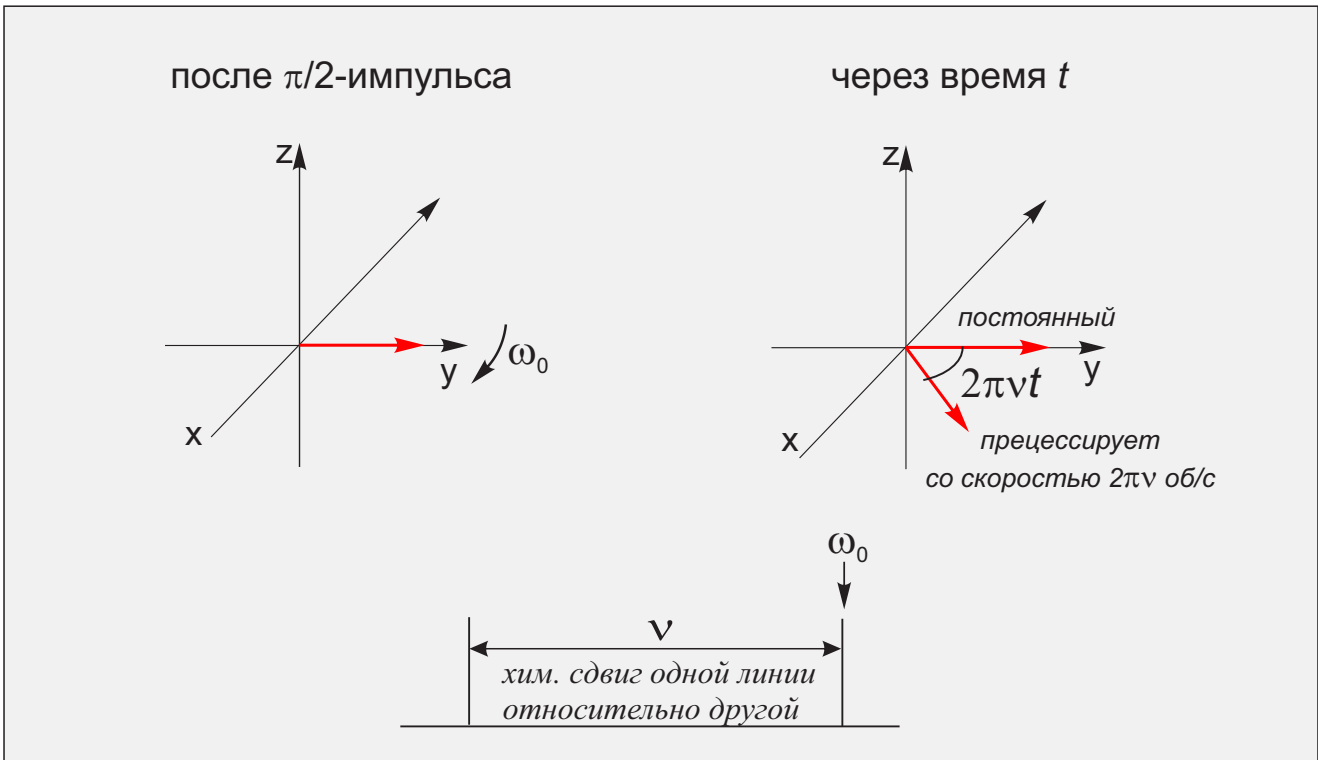
Воздействие импульса на образец

вращающаяся система координат

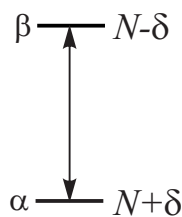
лабораторная система координат



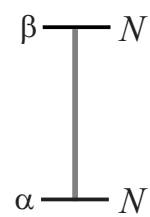
детектирование двух линий (одна из них не попадает точно в резонанс):



$z(BMH) < 0$,
заселенности инвертированы
(против поля направлено больше спинов)

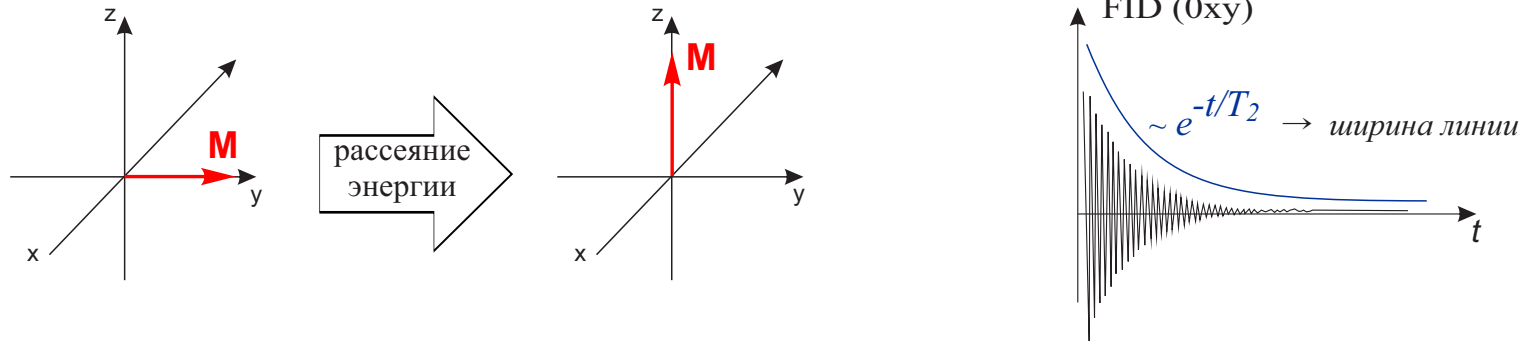


равновесие



$z(BMH) = 0$,
заселенности выровнены

Релаксация



T₁ : продольная релаксация

(восстановление намагниченности на 0z за счет обмена энергией)

$$M = M_0(1 - e^{-t/T_1})$$

T₁ зависит от структуры и может быть разным для разных линий.

T₁ ↑ (быстрая релаксация) - низкая температура, вязкость, парамагнитные примеси.

T₂ : поперечная релаксация

(спад намагниченности в 0xy из-за размазывания ВМН в связи с неоднородностью поля)

Общий спад поперечной намагниченности включает ее переход на ось z. В идеальных условиях T₁=T₂.

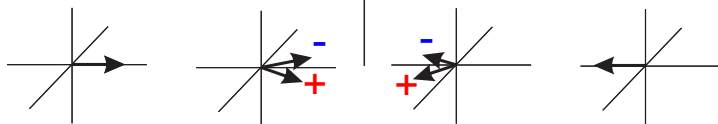
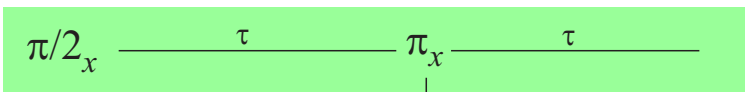
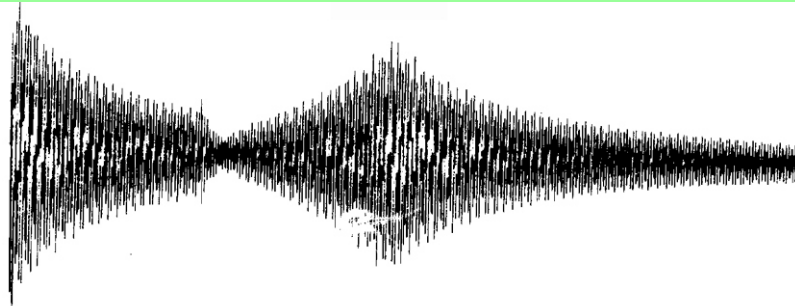
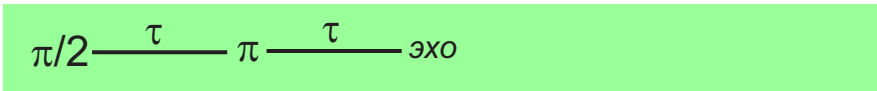
В протонных экспериментах угол импульса выбирается так, чтобы за время выборки ВМН успел полностью релаксировать.

Угол Эрнста: $\alpha_E = \arccos(e^{-(AQ+RD) / \max(T_1)}) \Rightarrow$ динамическое равновесие, наилучшее S/N

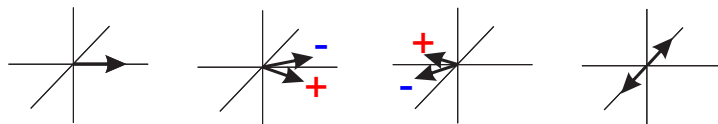
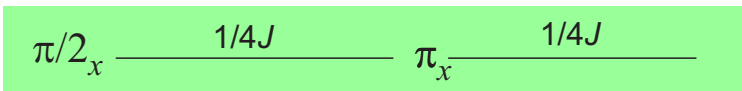
Измерение T₁: варьирование задержки и сравнение амплитуды сигнала ("инверсия-восстановление")

π ————— задержка ————— π/2 ————— выборка

Спиновое ЭХО



химический сдвиг,
неоднородность поля,
гетероядерное
спин-спиновое
взаимодействие



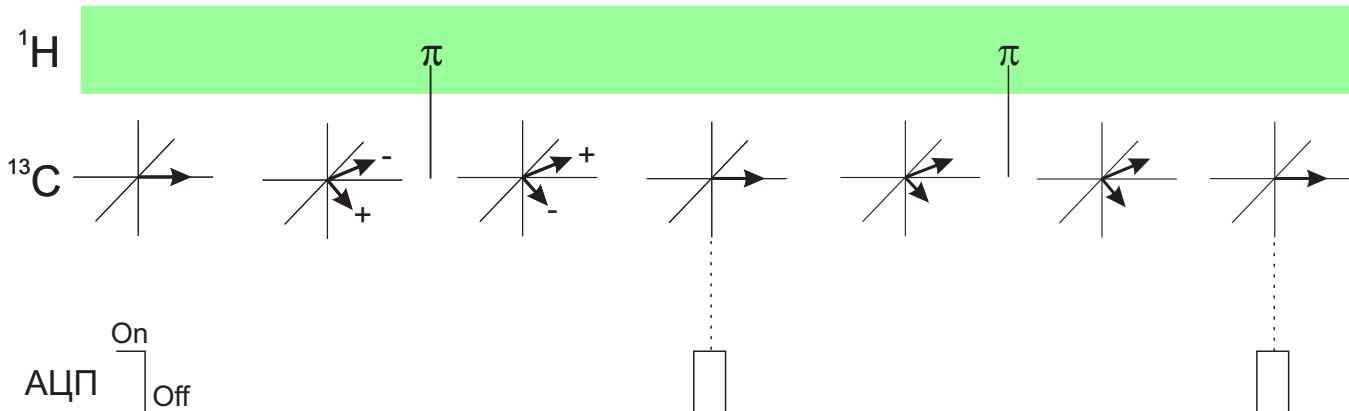
гомоядерное
спин-спиновое
взаимодействие

сосед тоже испытал π -импульс:

α -сосед (\Rightarrow опережающая компонента дублета)

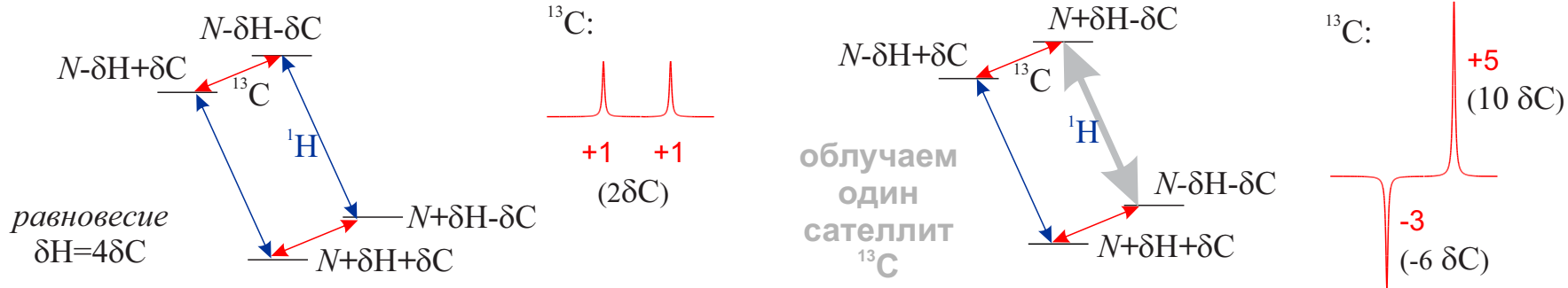
стал β -соседом (\Rightarrow запаздывающая компонента дублета)

широкополосная развязка



Перенос поляризации

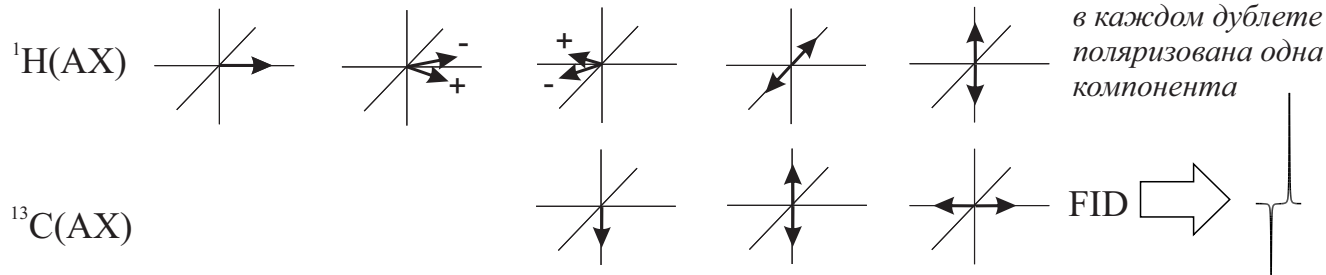
SPI:



чувствительность увеличивается в γ_1/γ_2 раз,

зависимость от γ становится лишь квадратичной

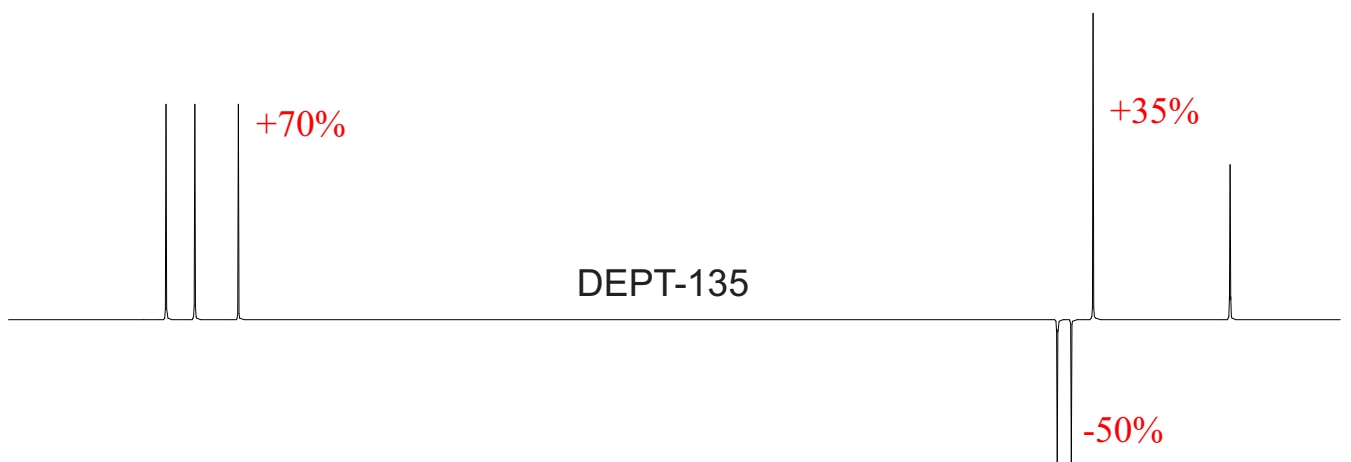
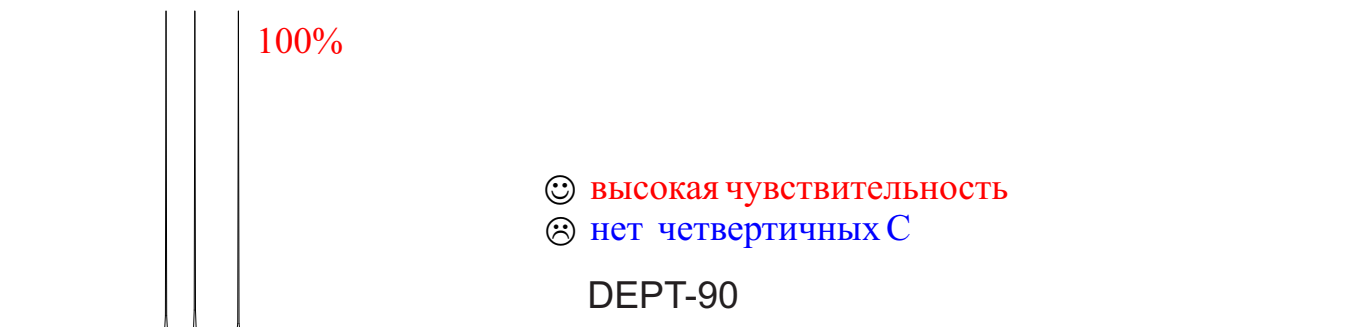
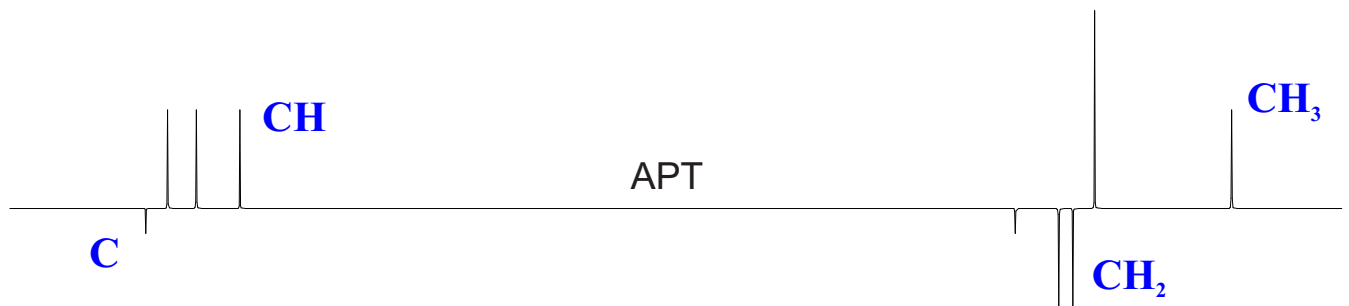
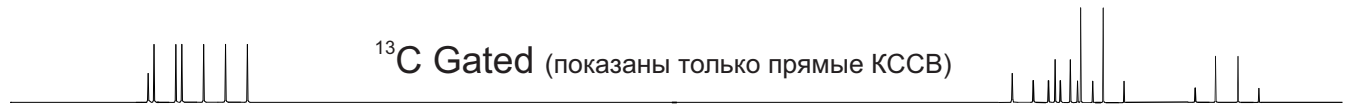
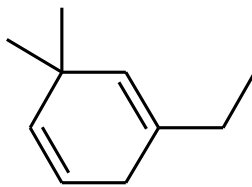
INEPT поляризует по одной линии из *каждого* дублета с КССВ J :



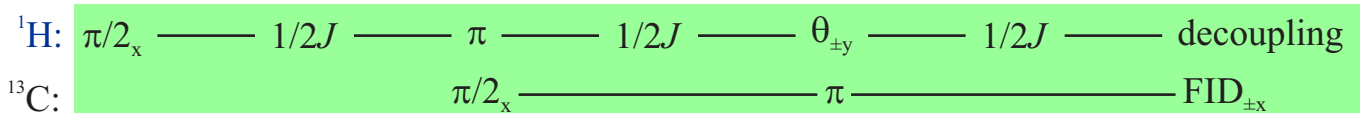
INEPT с рефокусировкой и развязкой:

- варьируем фазу третьего H-импульса с $+y$ на $-y \Rightarrow$ компоненты меняются местами; $-3:+5$ и $-5:+3$ усредняется в фазовом цикле в $-4:+4$
- перед выборкой добавляем задержку $\Delta = 1/2J$ и π -импульсы (H & C) в ее середине \Rightarrow компоненты дублета рефокусируются за счет спинового эха и уже не имеют противоположных фаз \Rightarrow можно использовать развязку от протонов во время накопления
- для разных мультиплетов Δ должна быть разной \Rightarrow можно отдельно копить подспектры с разной мультиплетностью сигналов (APT)
- частота проходов INEPT не зависит от T_1 гетероядра \Rightarrow INEPT особенно эффективен для ядер с отрицательным γ (отрицательный максимальный ЯЭО \Rightarrow неэффективность простой развязки) и большим T_1 , напр. ^{15}N и ^{29}Si

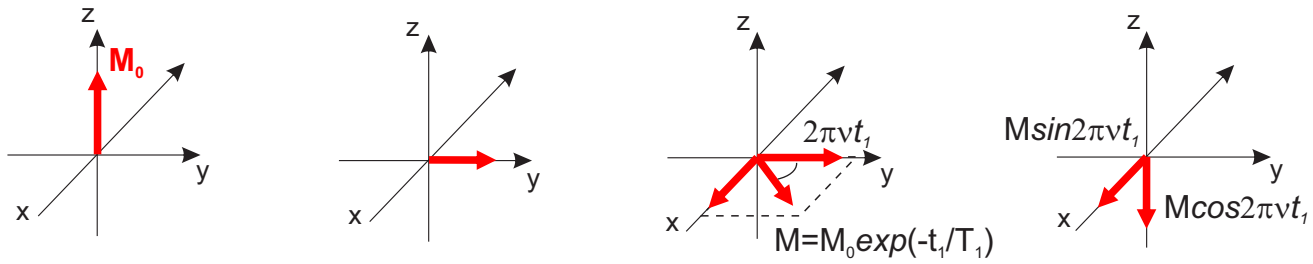
Информативность и чувствительность (^{13}C)



DEPT - аналогично INEPT, но с синфазными сигналами (не нужна вторая рефокусировка).
Функции задержки Δ выполняет H- импульс переменной длительности θ .

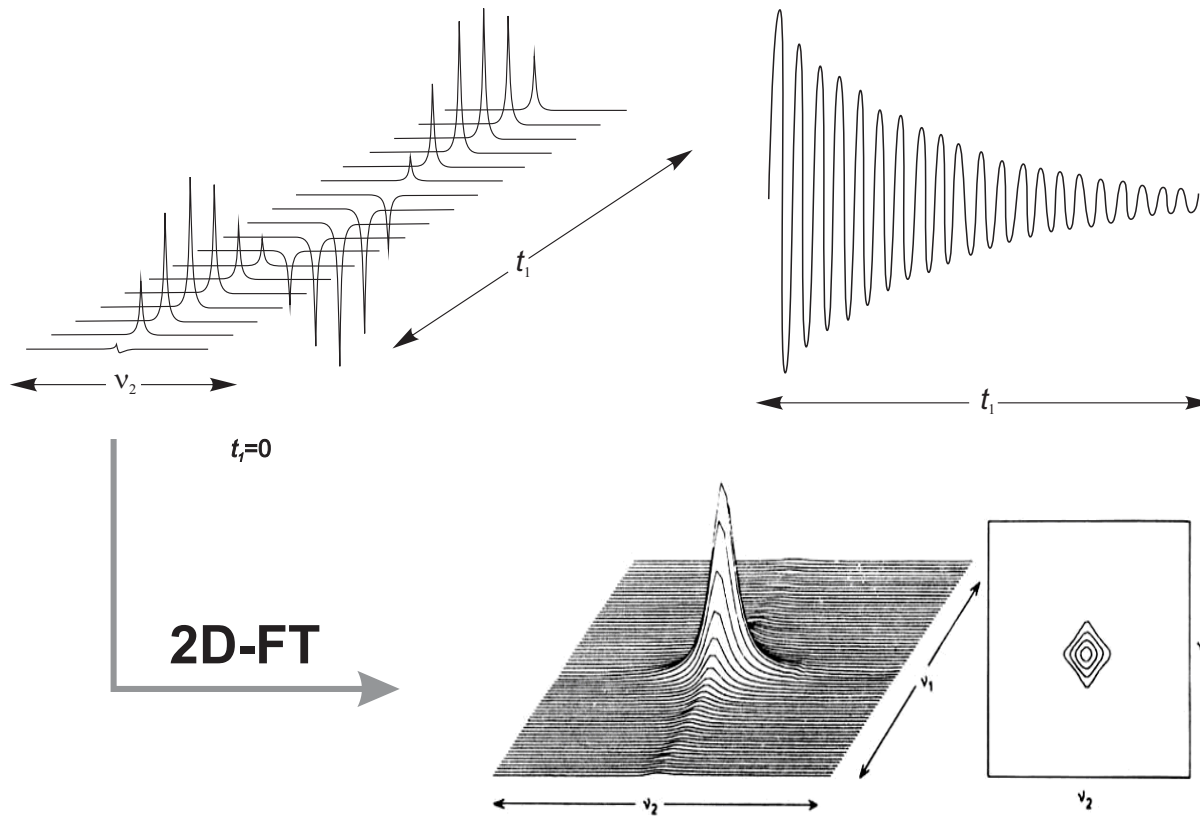


Эксперимент COSY

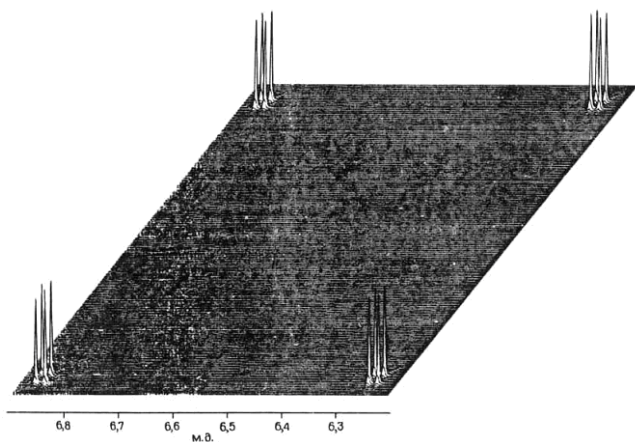


$(\pi/2)_x$ — t_1 — $(\pi/2)_x$ — выборка (t_2)

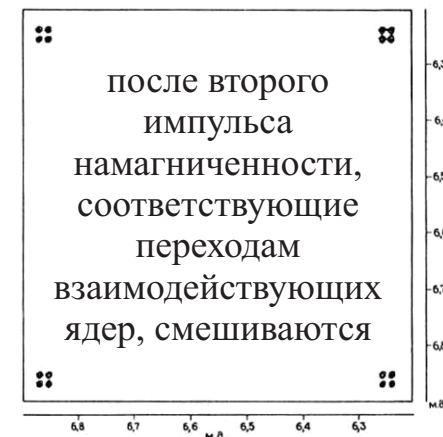
[$(\pi/4)_x$ для COSY-45]



Кросс-пики



Спиново-связанные ядра - **когерентные переходы** (соответствующие им компоненты ВМН вращаются с фиксированной разностью фаз).
 Облучение одного перехода влияет на заселенность связанных с ним переходов, перенося тем самым когерентность
 ⇒ FID, накопленный по t_2 , модулируется на частотах переходов, выявляемых по t_1
 ⇒ кросс-пики в 2D-экспериментах между теми сигналами, между которыми возможен перенос когерентности.



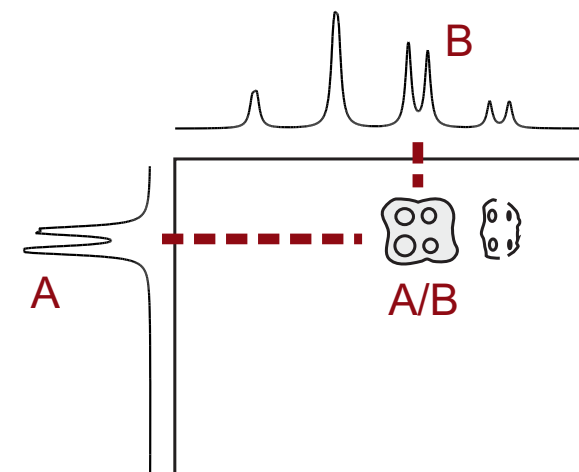
Двумерный корреляционный спектр

импульсная последовательность с переменной задержкой (t_1)

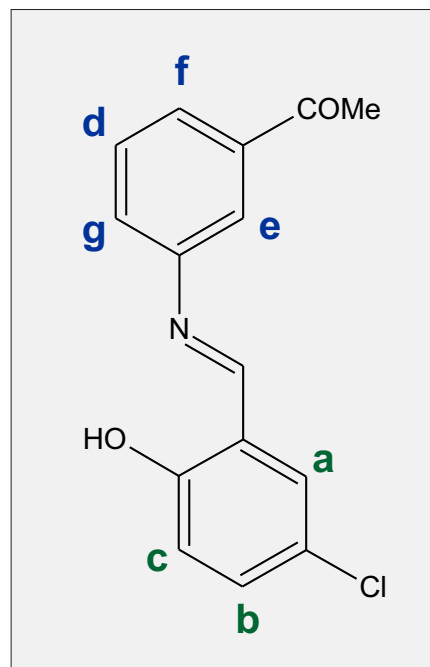
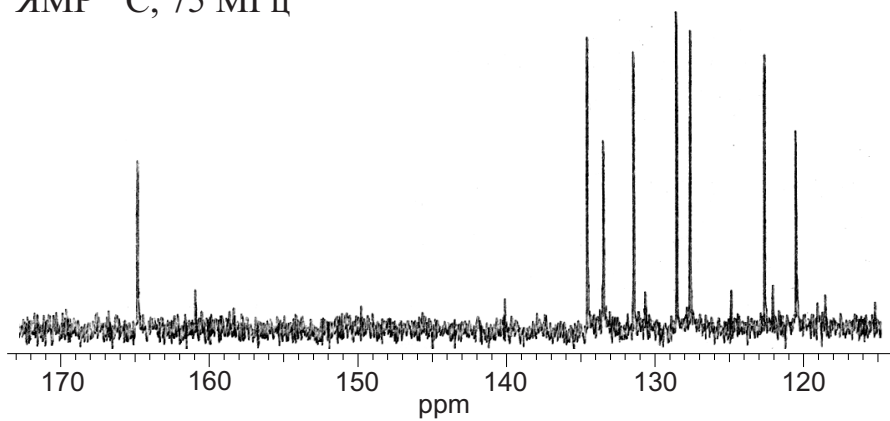
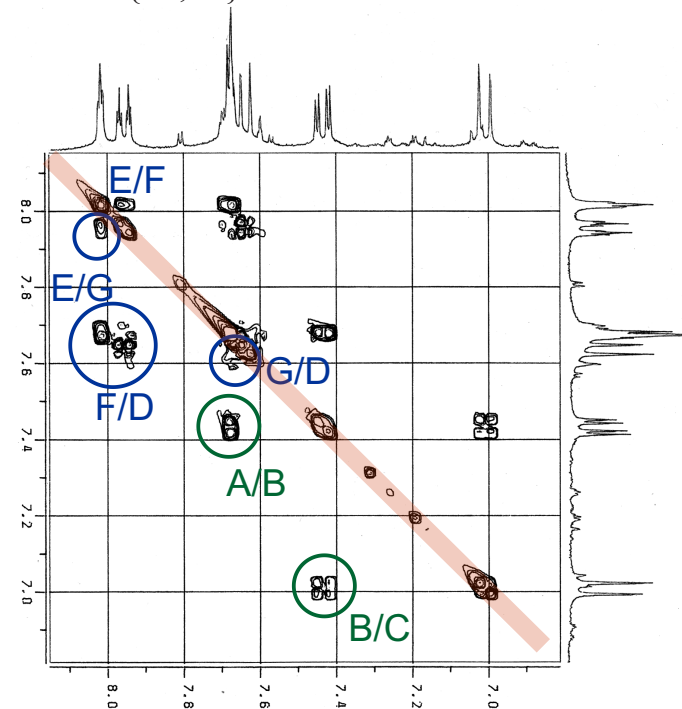
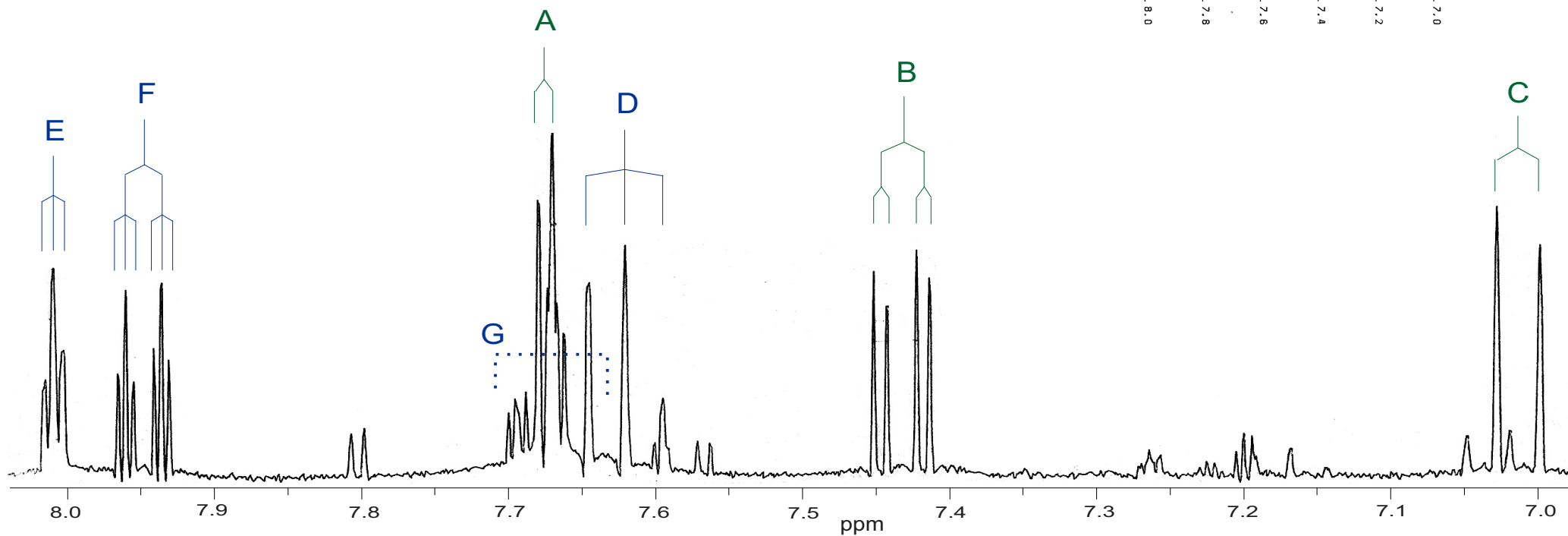
намагниченность претерпевает РАЗНЫЕ эволюции вдоль t_1 и t_2

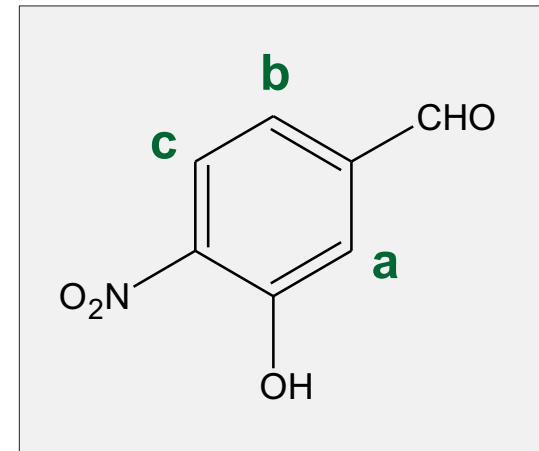
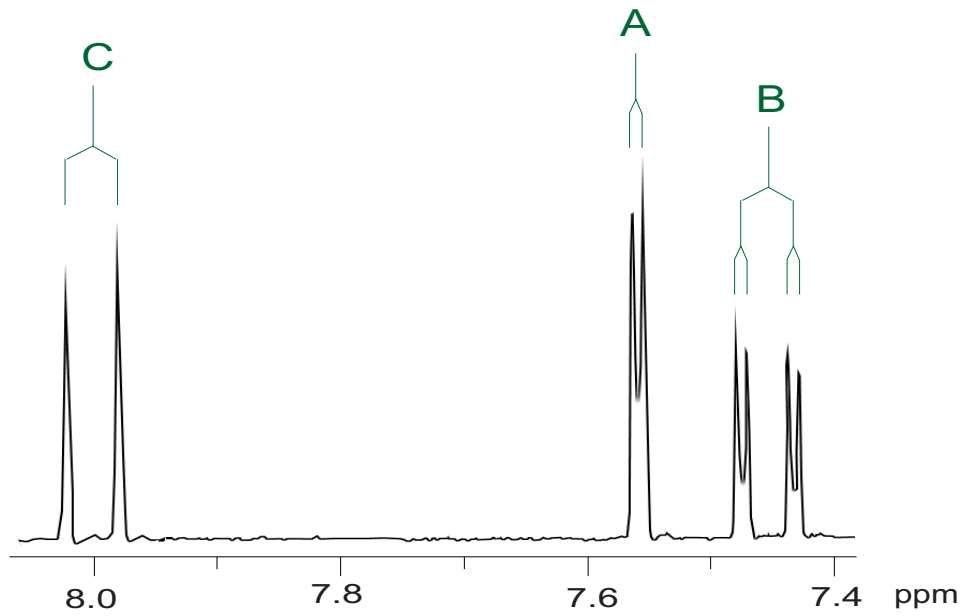


кросс-пики (взаимодействие между сигналами)

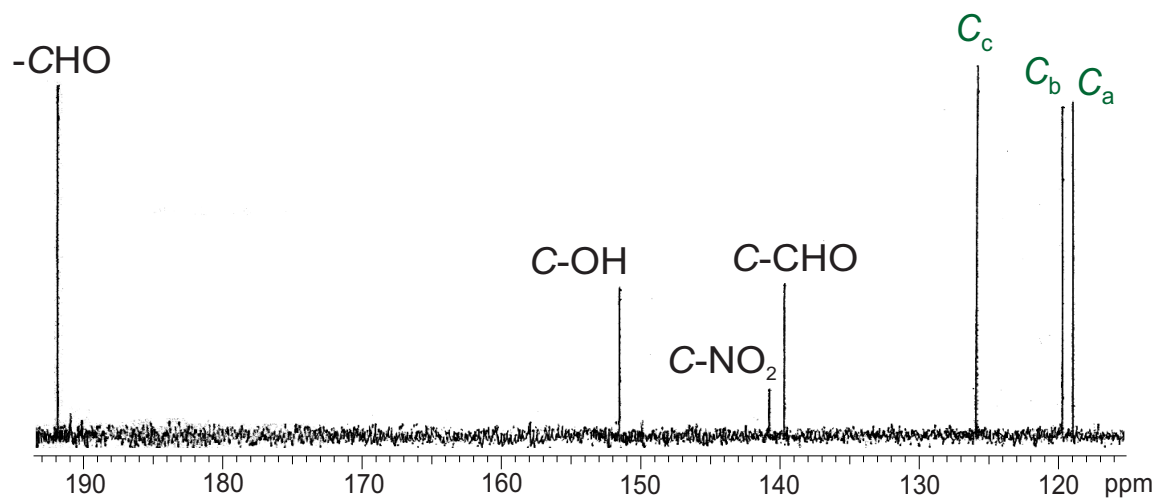


Продольная релаксация во время t_1 ⇒ после второго импульса появляется компонента ВМН на другой горизонтальной оси. Она не прецессировала в течении t_1 ⇒ появляются "аксиальные" кросс-пики с частотой 0 по одной из осей (крест или линия в центре спектра из-за КД). Варьируя на 180° фазу второго импульса, можно взаимоуничтожить эти сигналы фазовым циклом, попутно усилив полезные сигналы.

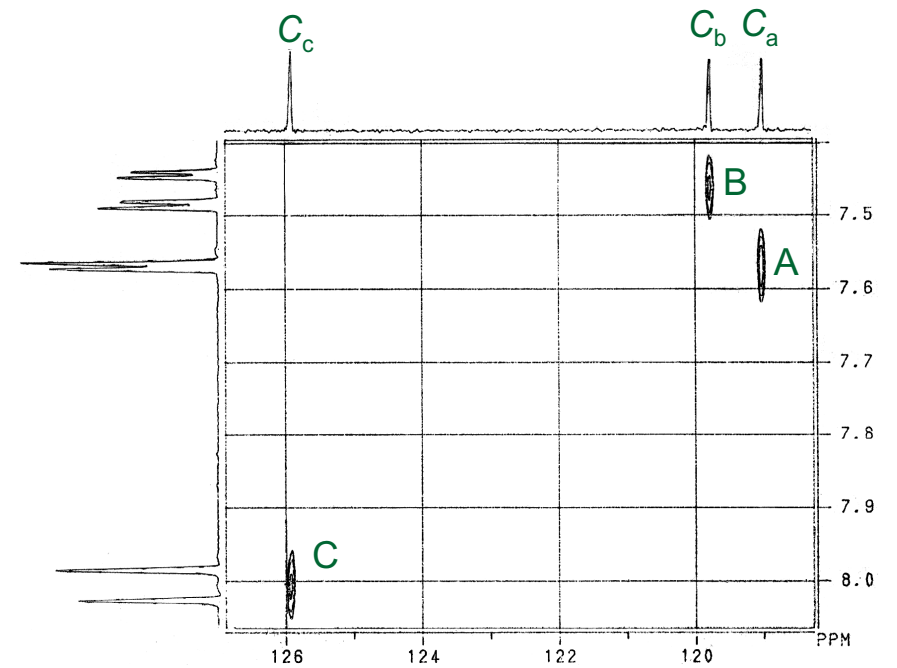
ЯМР ^{13}C , 75 МГц $\{^1\text{H}, ^1\text{H}\}$ COSYЯМР ^1H , 300 МГц



ЯМР ^{13}C , 75 МГц

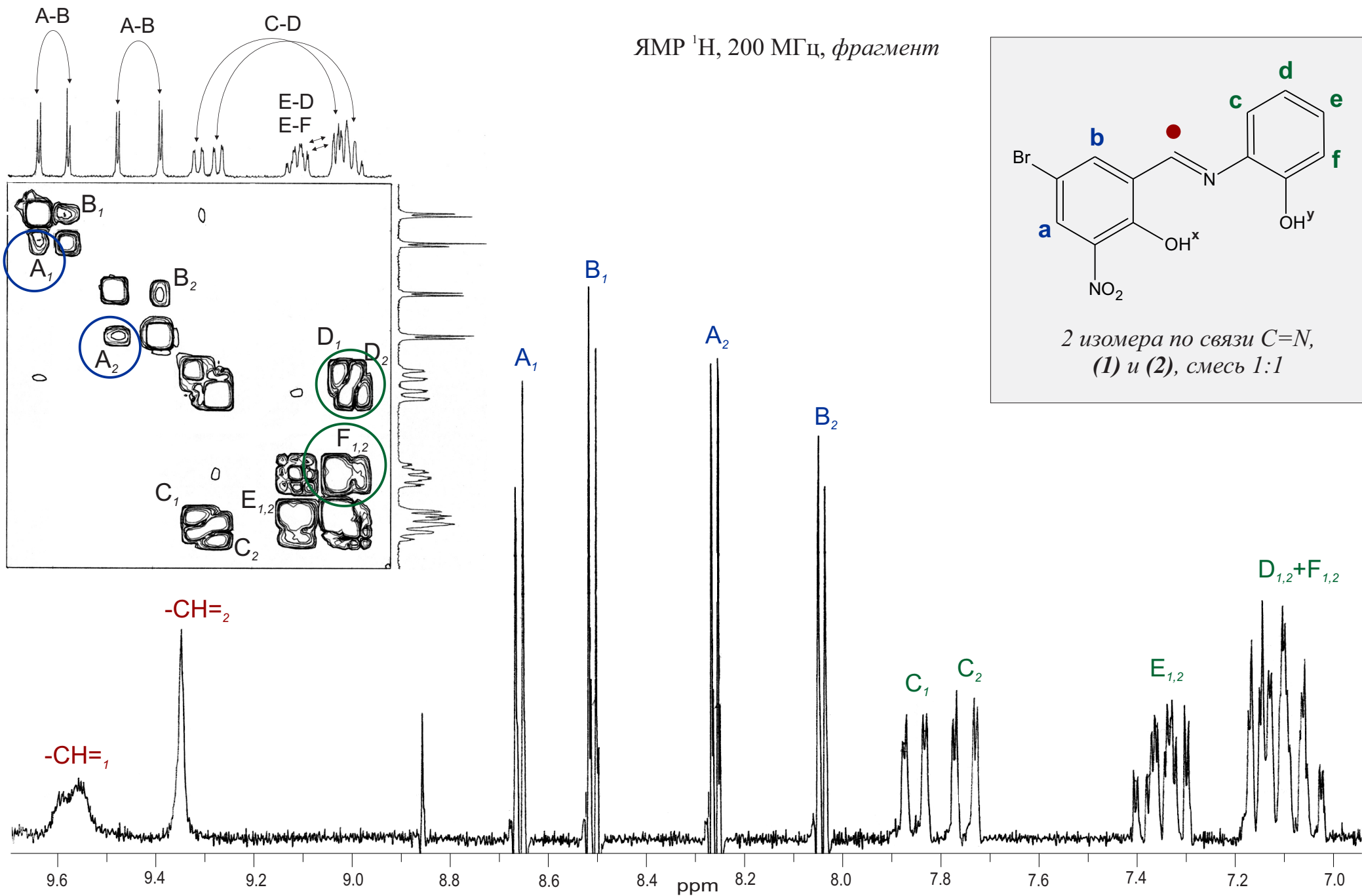


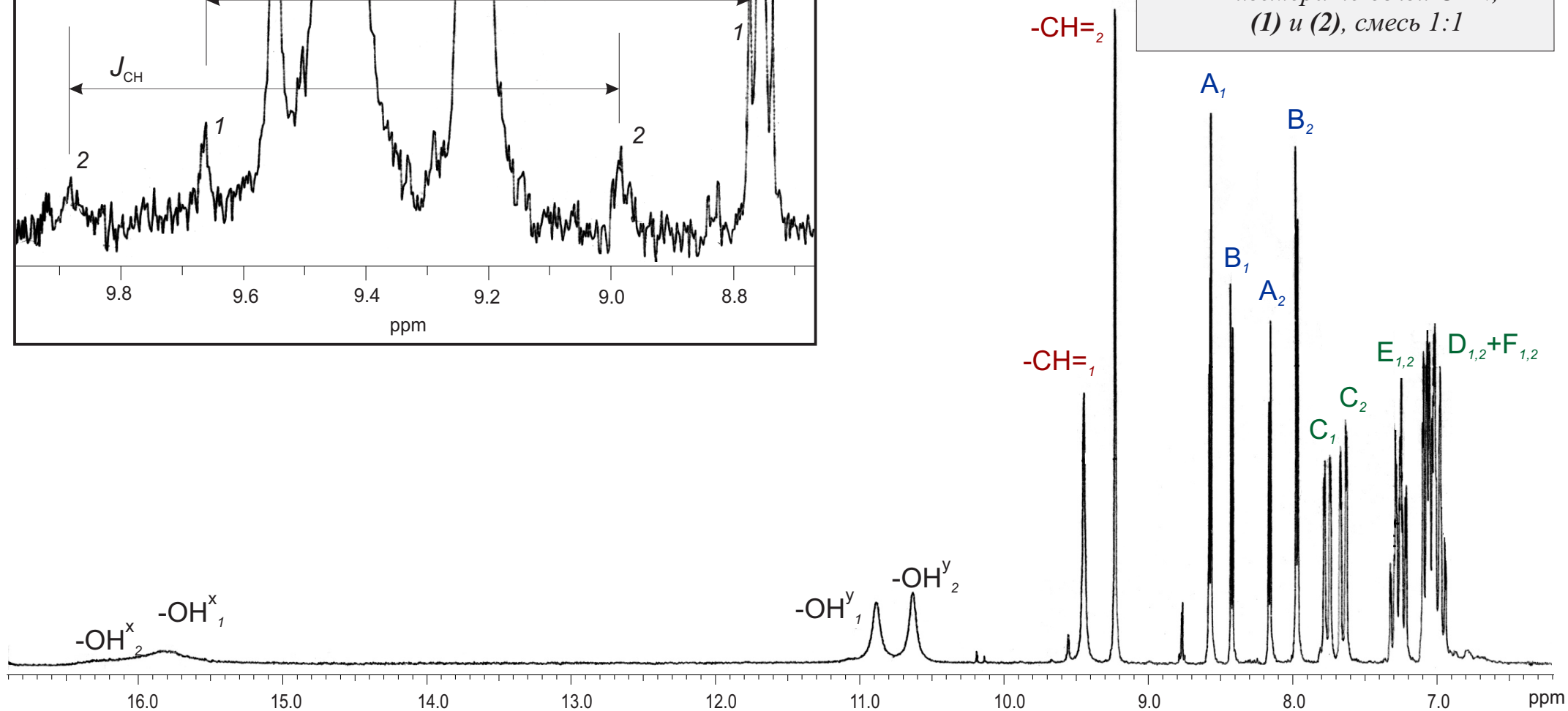
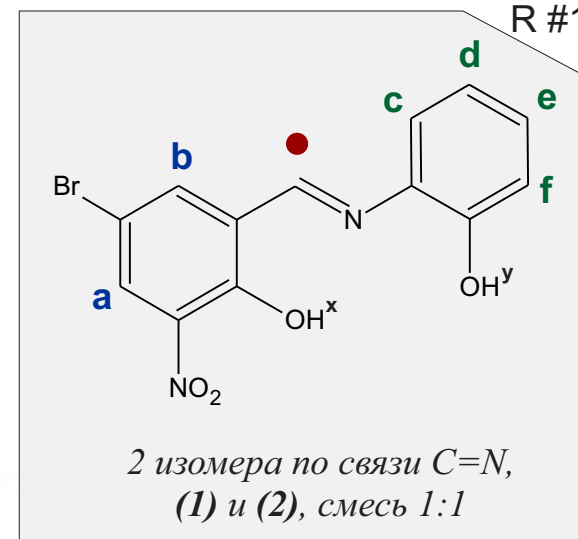
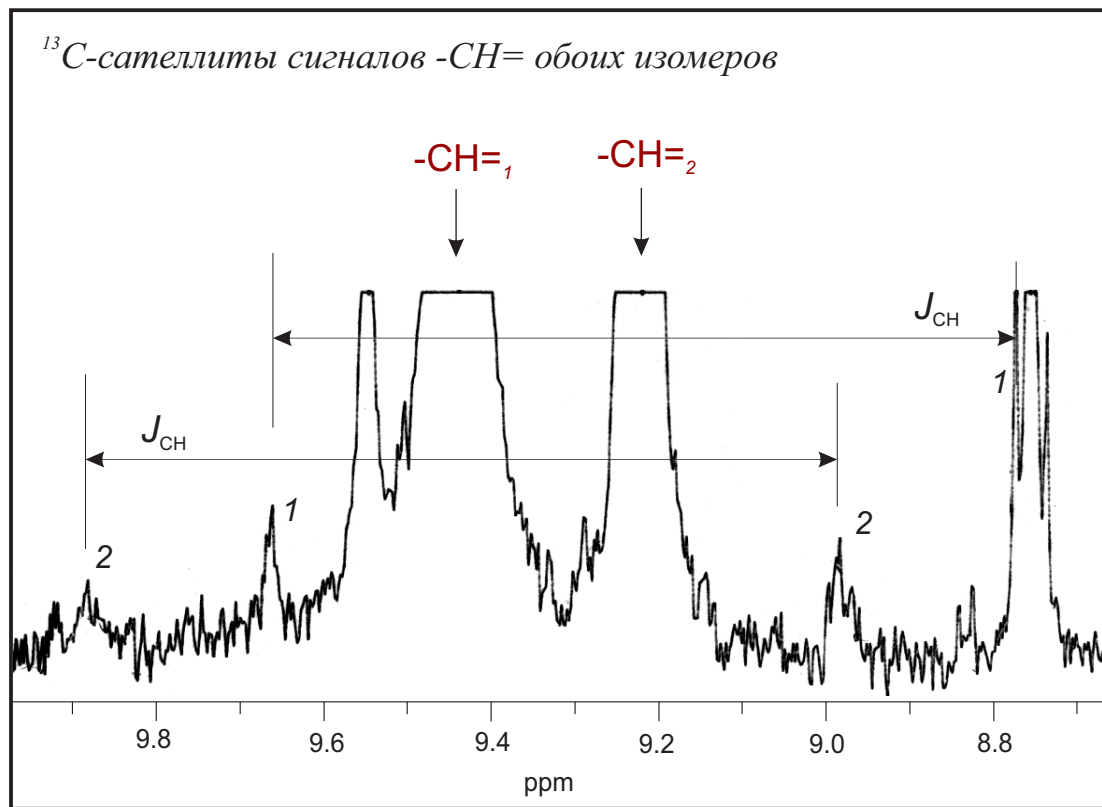
$\{^{13}\text{C}, ^1\text{H}\}$ COSY (HETCOR)



{¹H,¹H} COSY

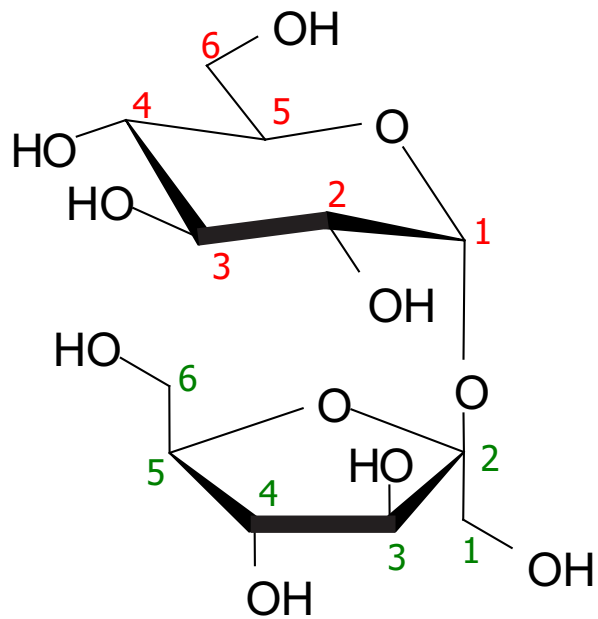
ЯМР ¹H, 200 МГц, фрагмент



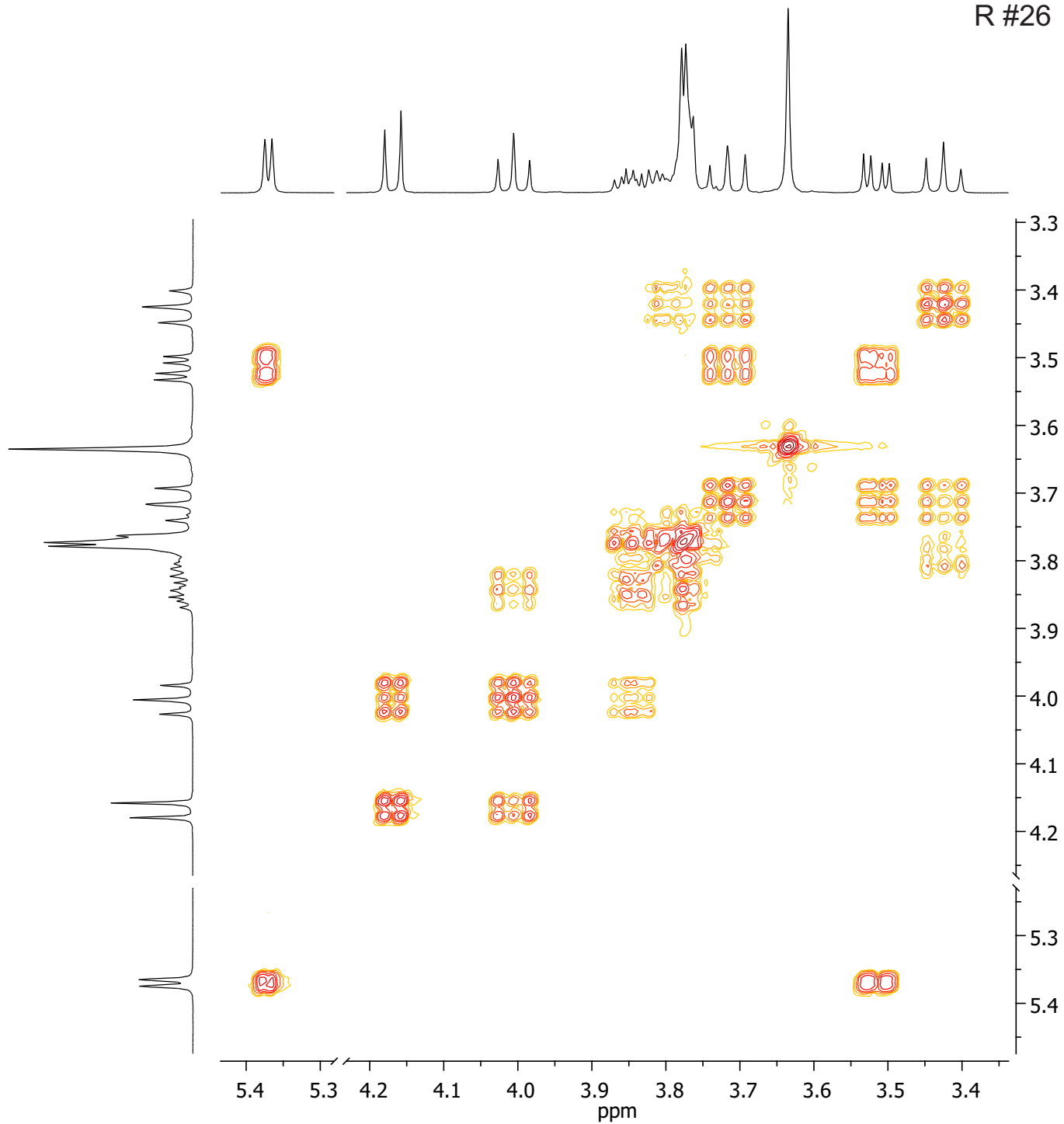


{¹H,¹H} COSY, 400 МГц, D₂O

R #26

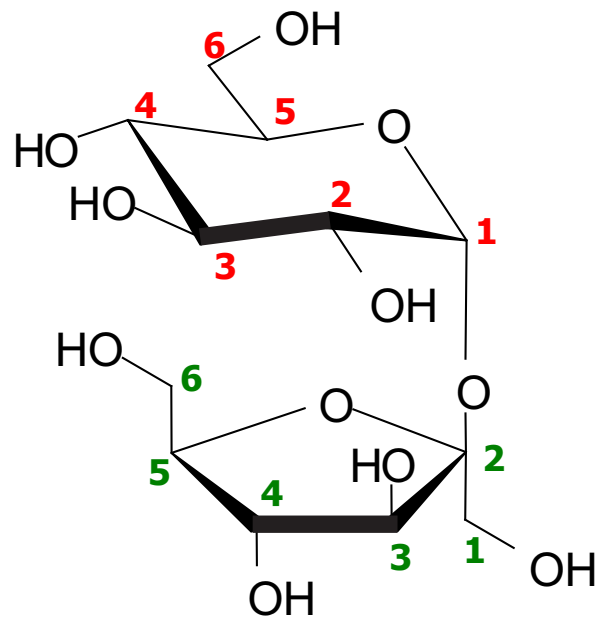


α -D-Glcp-(1→2)- β -D-Fruf
(сахароза)

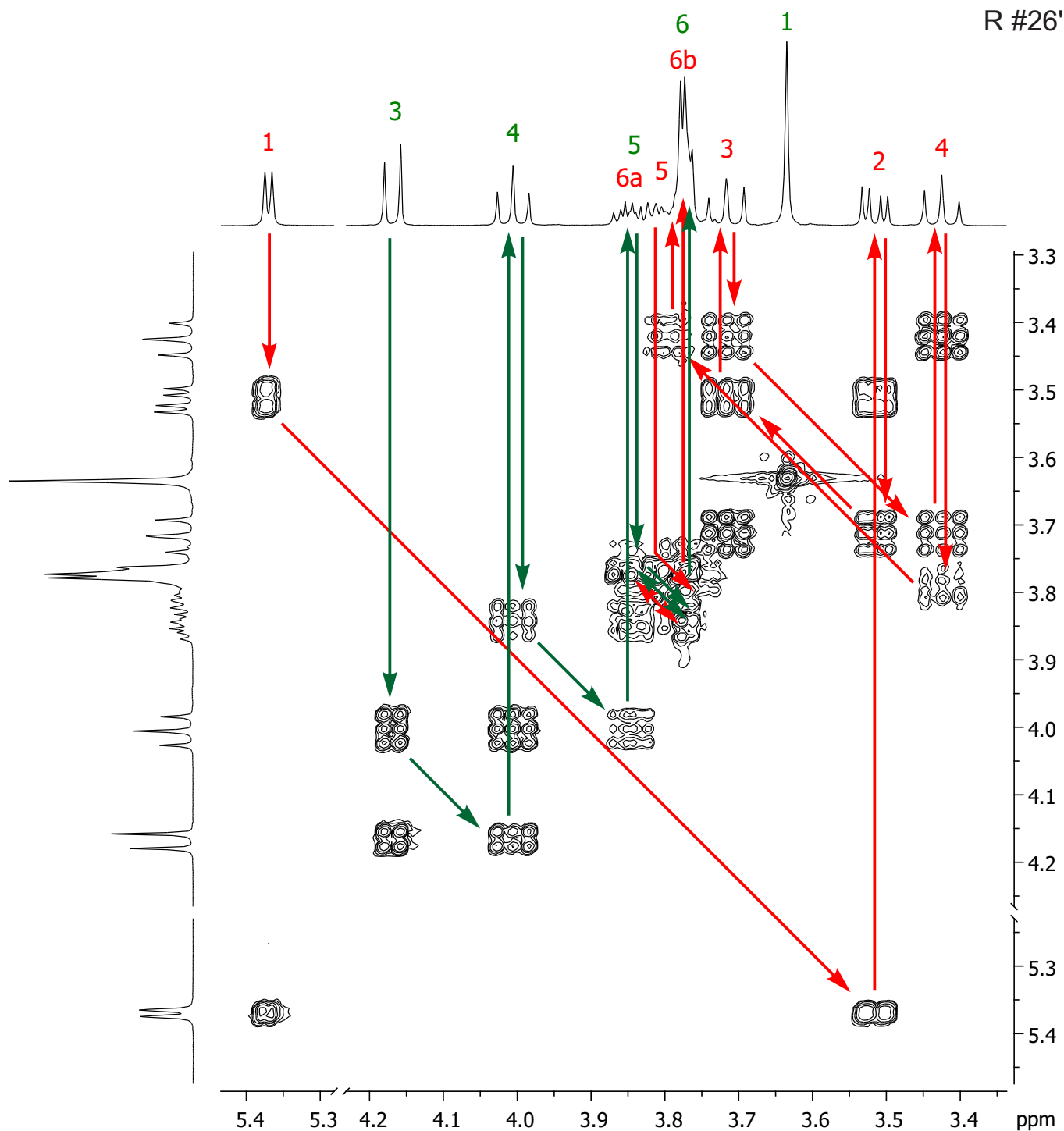


{¹H,¹H} COSY, 400 МГц, D₂O

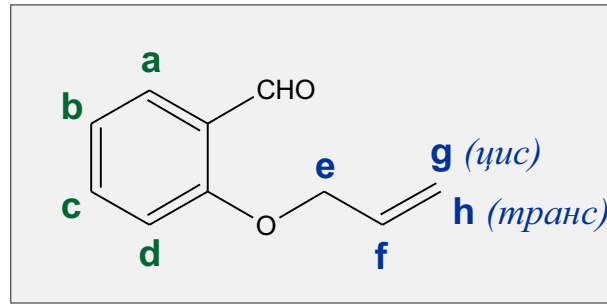
R #26'



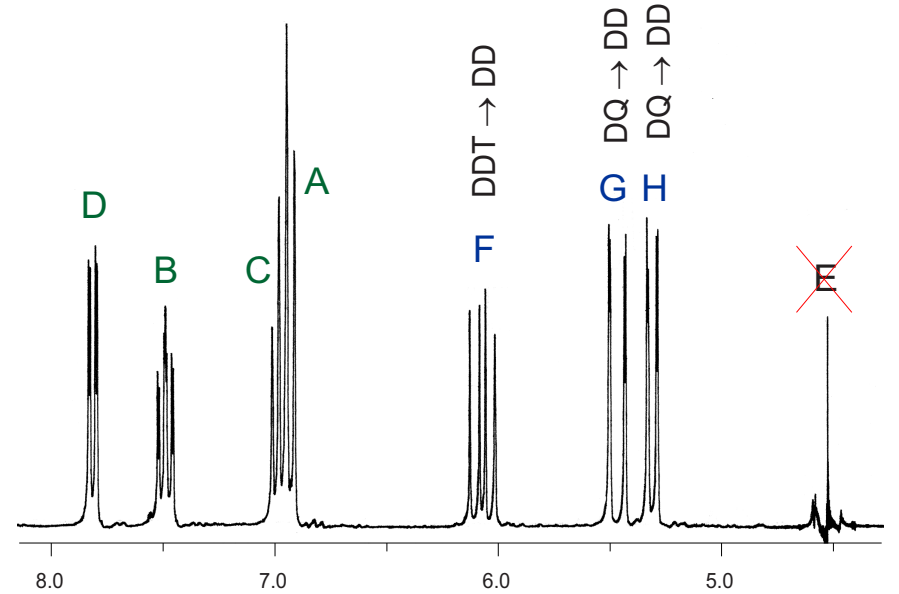
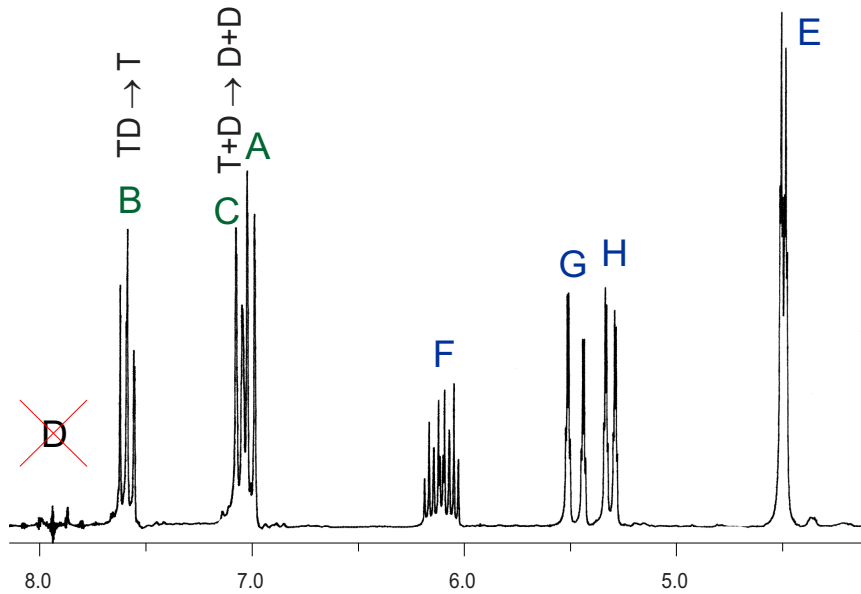
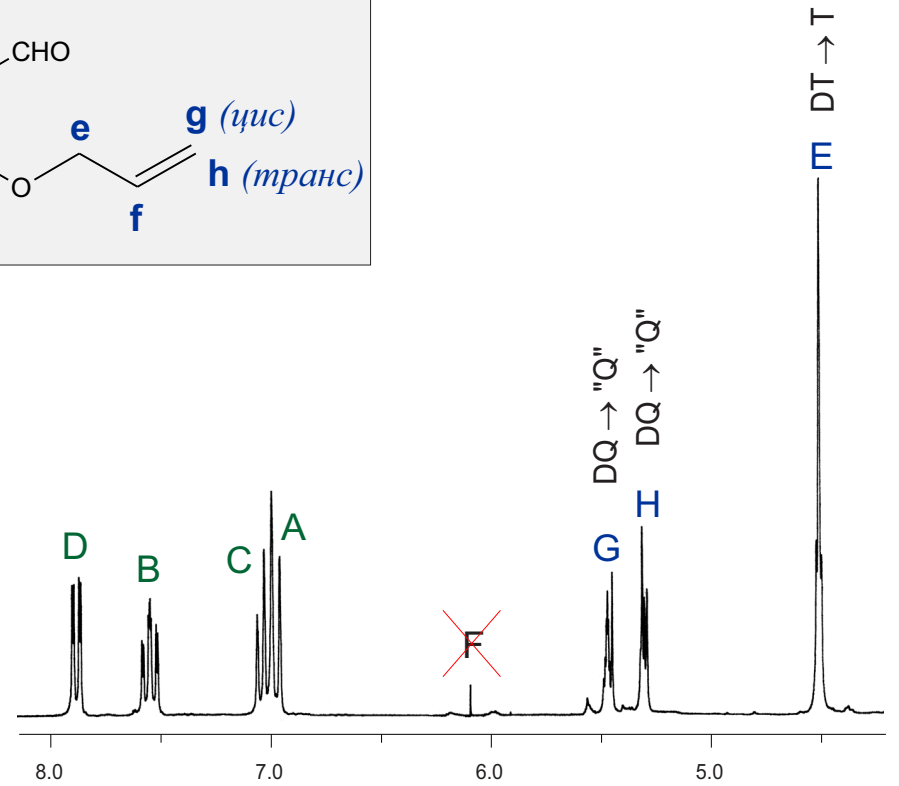
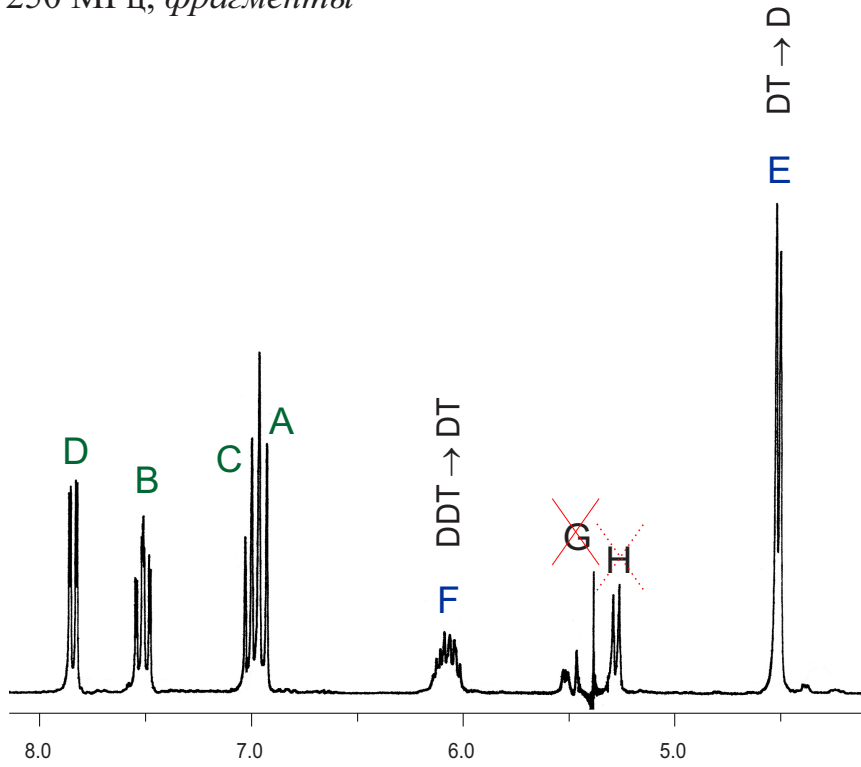
α -D-Glcp-(1→2)- β -D-Fruf
(сахароза)



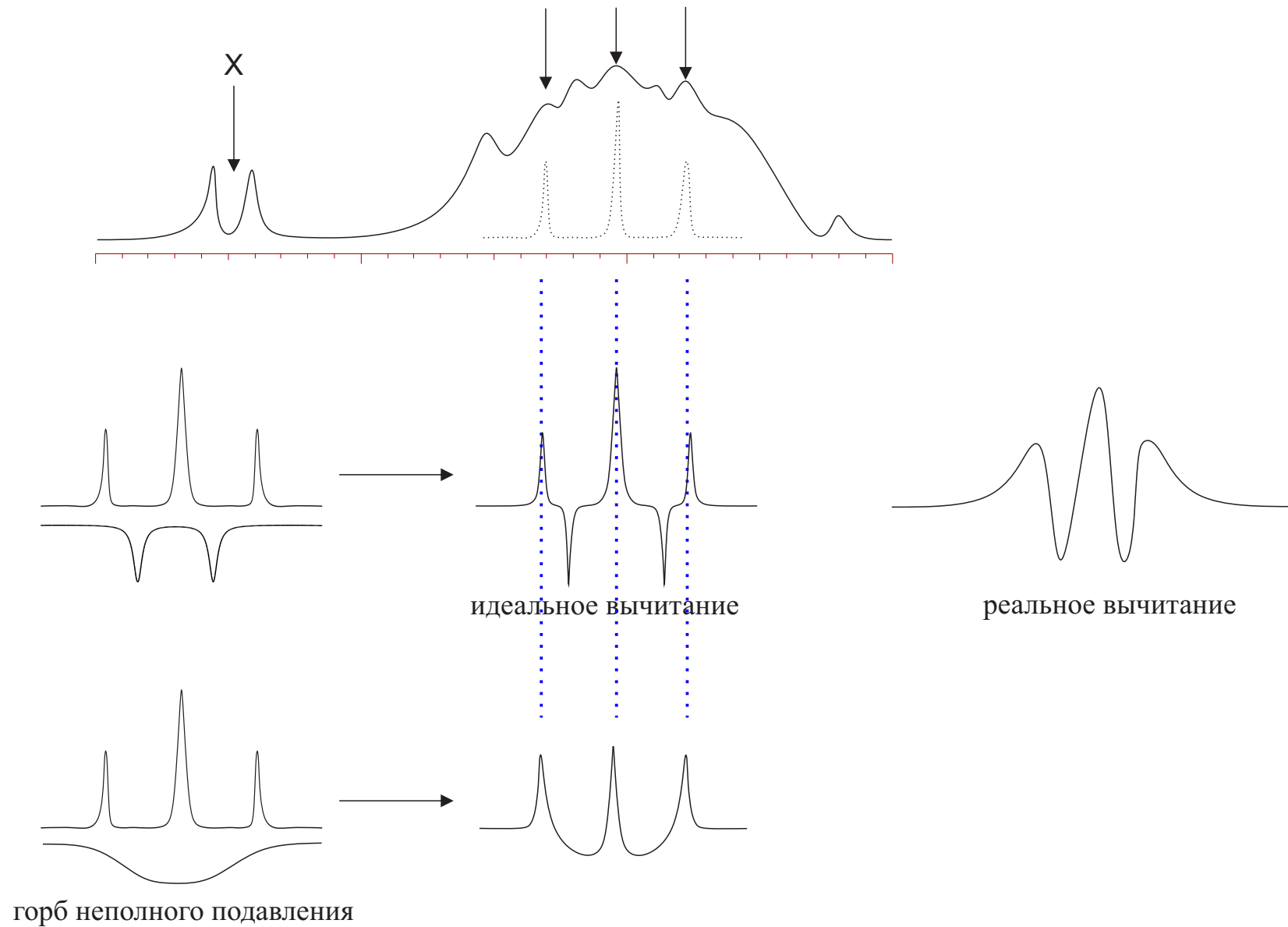
ЯМР ^1H спектры двойного резонанса,
250 МГц, фрагменты



R #15'

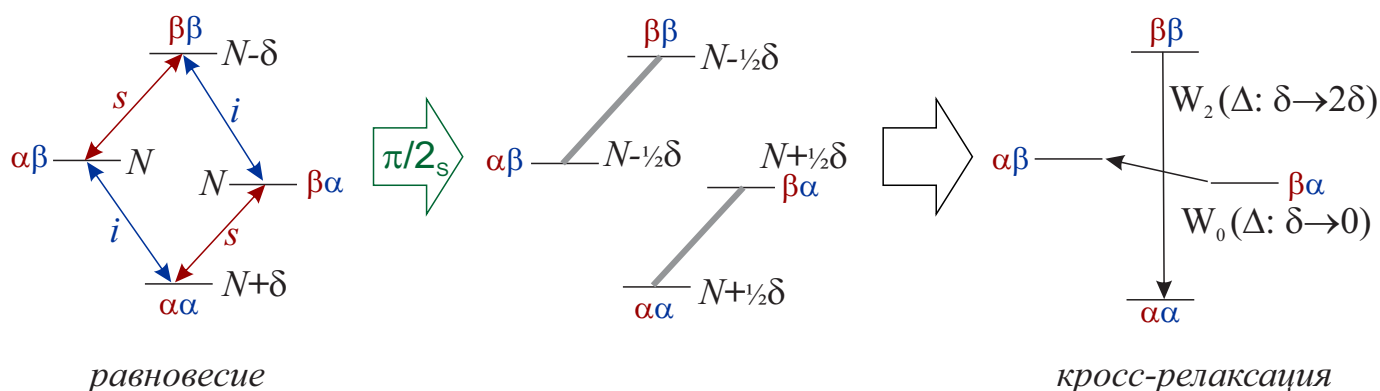


Разностный двойной резонанс с неполной развязкой



Ядерный эффект Оверхаузера

система из двух спиново-несвязанных ядер: *i* (наблюдаемое) и *s* (облучаемое)



$$\text{NOE на ядре } i = \frac{W_2 - W_0}{2W_1 + W_2 + W_0}$$

- NOE > 0 для небольших молекул, NOE < 0 для макромолекул
- $\max \text{NOE} = \frac{1}{2} \gamma_s / \gamma_i$
- $\text{NOE} \sim 1/r^6$ (наблюдается при $r < 3 \text{ \AA}$)
- NOE достоверен лишь в сравнительном аспекте
- длительное насыщение \Rightarrow равновесный NOE,
селективный π -импульс (в 1D) \Rightarrow неравновесный NOE
(для небольших молекул величина в 1D Н-Н $\leq 38.5\%$)
- косвенный NOE, переданный с другого протона ($\text{H}_s \rightarrow \text{H} \rightarrow \text{H}_i$),
имеет другой знак. Он возникает позже, чем прямой NOE
(их можно разделить в неравновесных экспериментах).

Применение NOE

- изучение пространственных контактов (NOEDIFF, NOESY)
- увеличение интенсивности сигналов гетероядер за счет NOE от протонов (если не нужна спиновая развязка, облучение выключается перед накоплением)

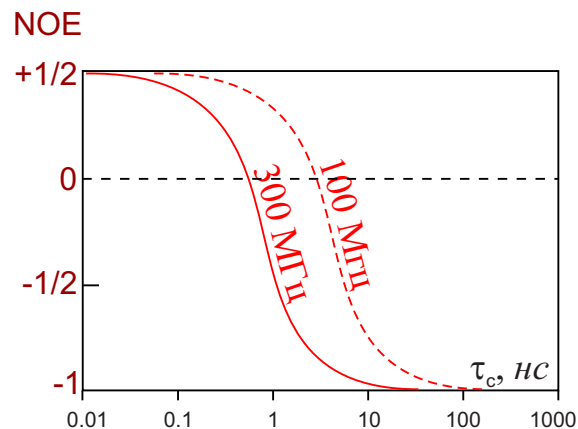
Эксперимент NOESY

$(\pi/2)_x$ — t_1 — $(\pi/2)_x$ — t_m — $(\pi/2)_x$ — выборка (t_2)

За время смешивания t_m ($< T_1$) возникает переход неравновесной намагниченности на 0z за счет релаксации (NOE), который переводится в 0xy третьим импульсом и накапливается по t_2 .

При химическом обмене ядро, модулируемое при одном химическом сдвиге по t_1 , переходит в другое положение и имеет другой химический сдвиг в течение t_2

⇒ Подбрав t_m , можно вместо NOE наблюдать обменные кросс-пики (EXSY).

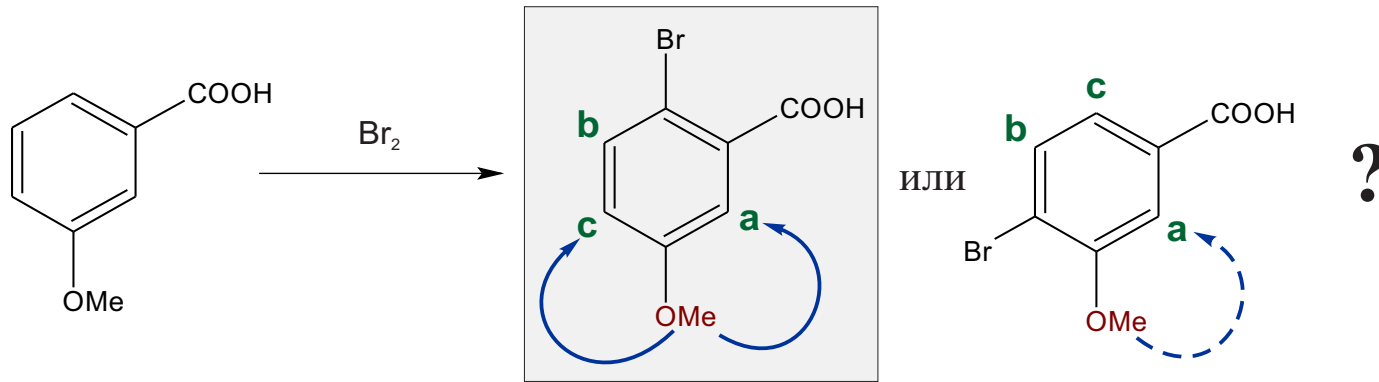
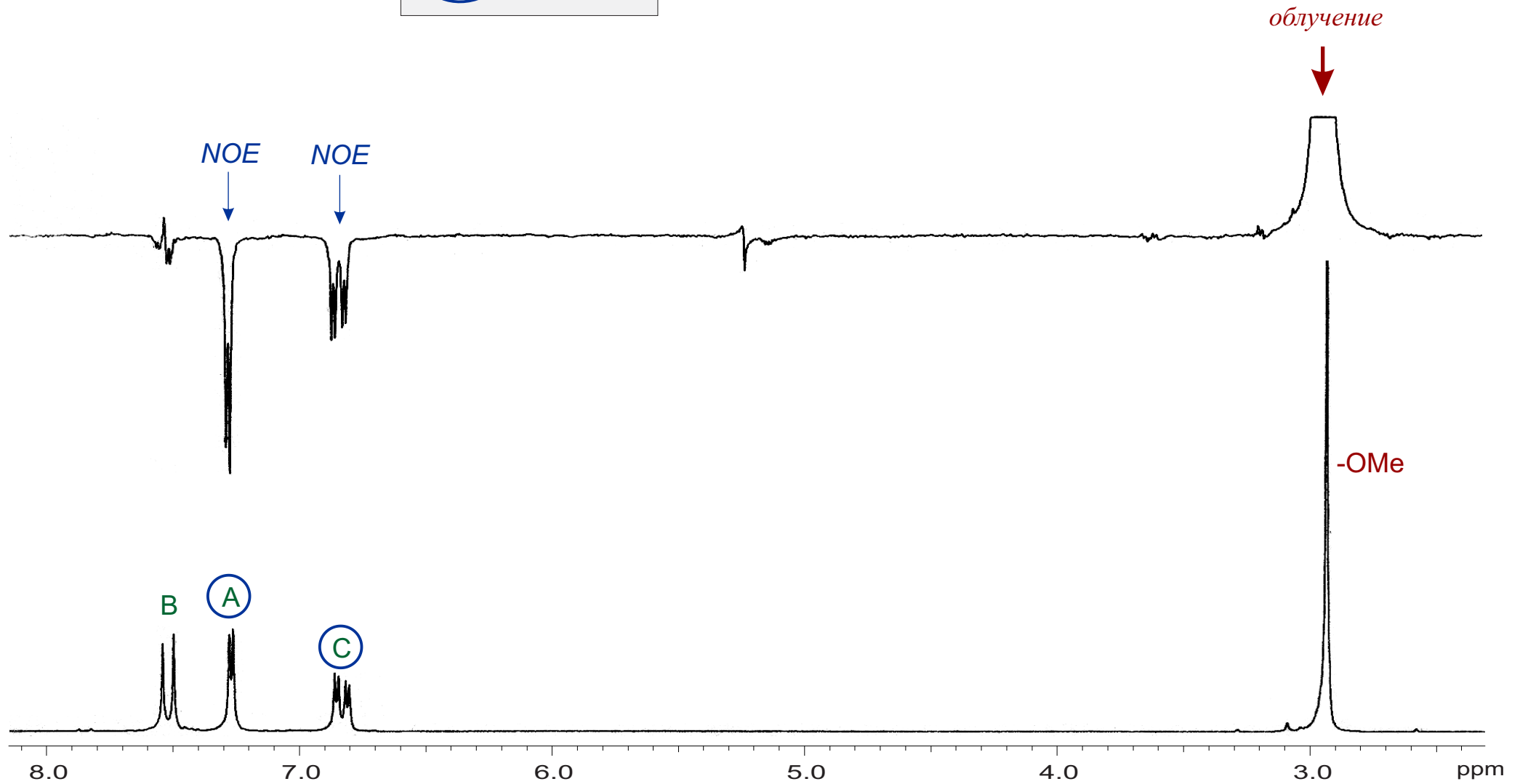


Фаза кросс-пиков NOESY:

- диагональные - вверх
- химический обмен - вверх
- COSY-артефакты - вверх
- NOE - для небольших молекул вниз, для больших - вверх

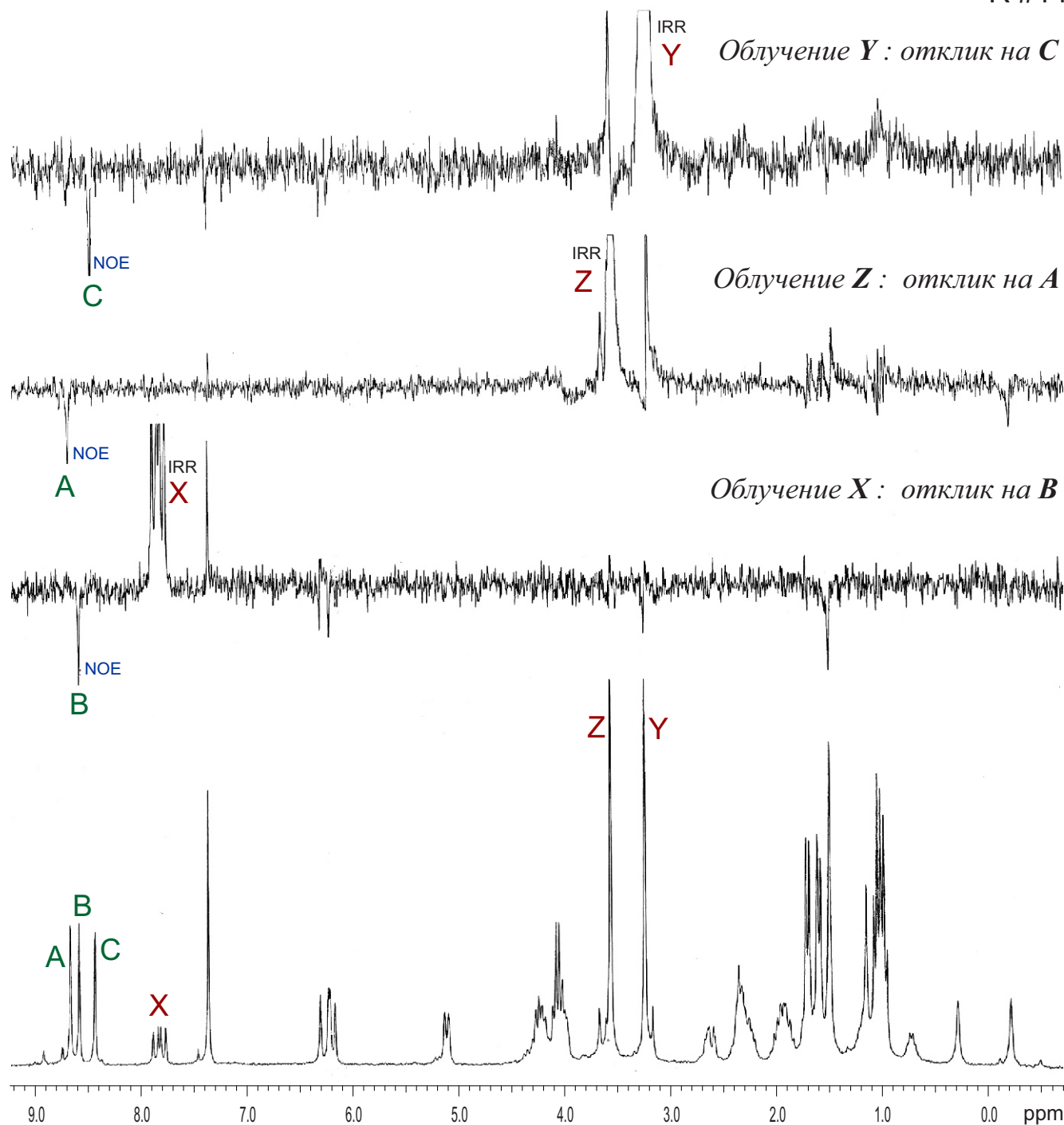
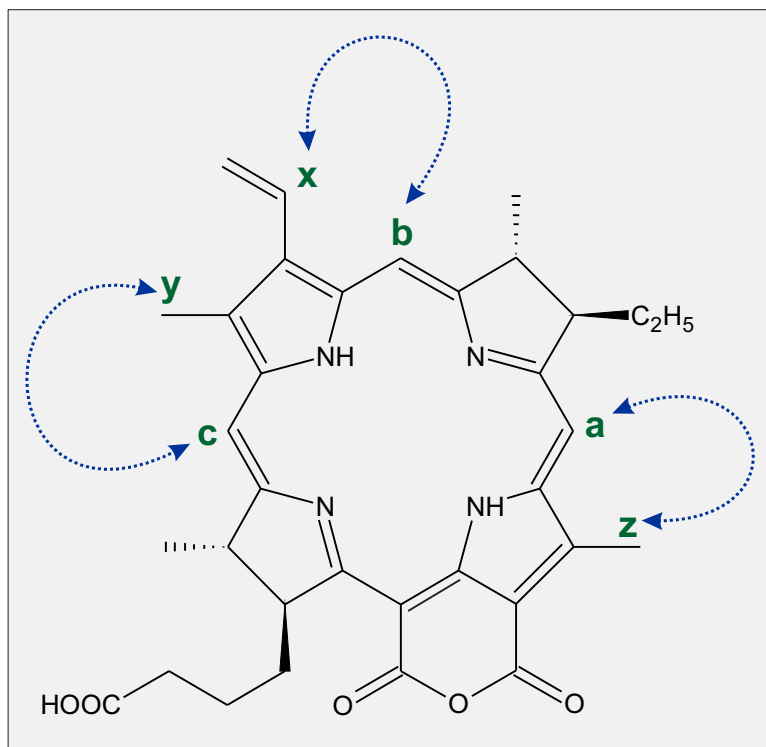
В ROESY (аналог TOCSY с малой мощностью spin-lock):

- диагональные - вверх
- химический обмен - вверх
- TOCSY-артефакты - вверх
- NOE - всегда вниз

 ^1H NOE difference, 200 МГц

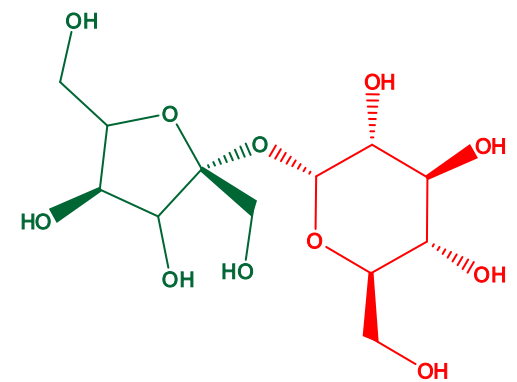
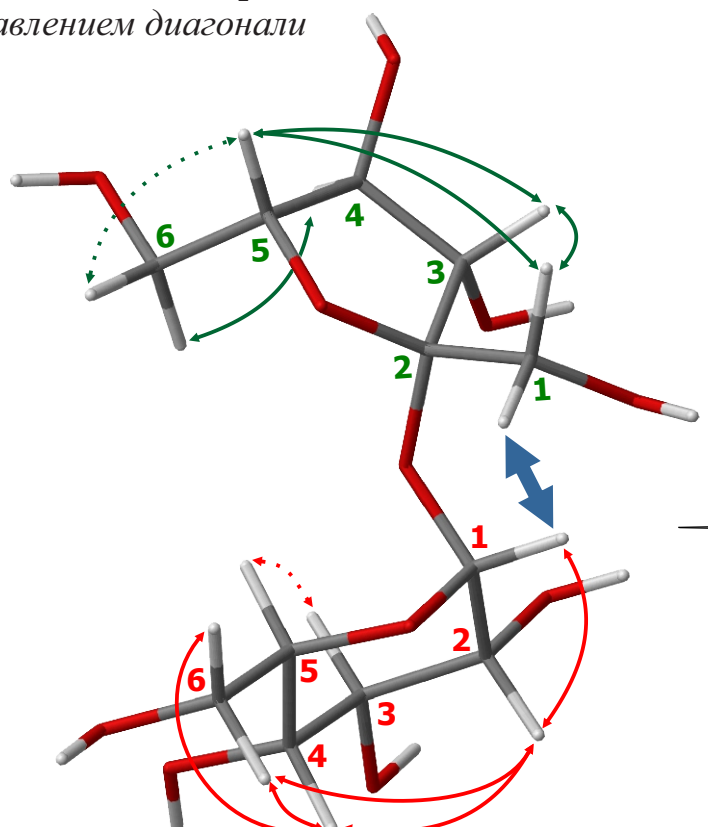
^1H NOE difference, 250 МГц

Выявленные пространственные контакты $Y-C$, $X-B$ и $Z-A$ позволили сделать отнесение сигналов экзо-протонов a , b и c . Контакт $X-B$ определил ориентацию винильной группы.

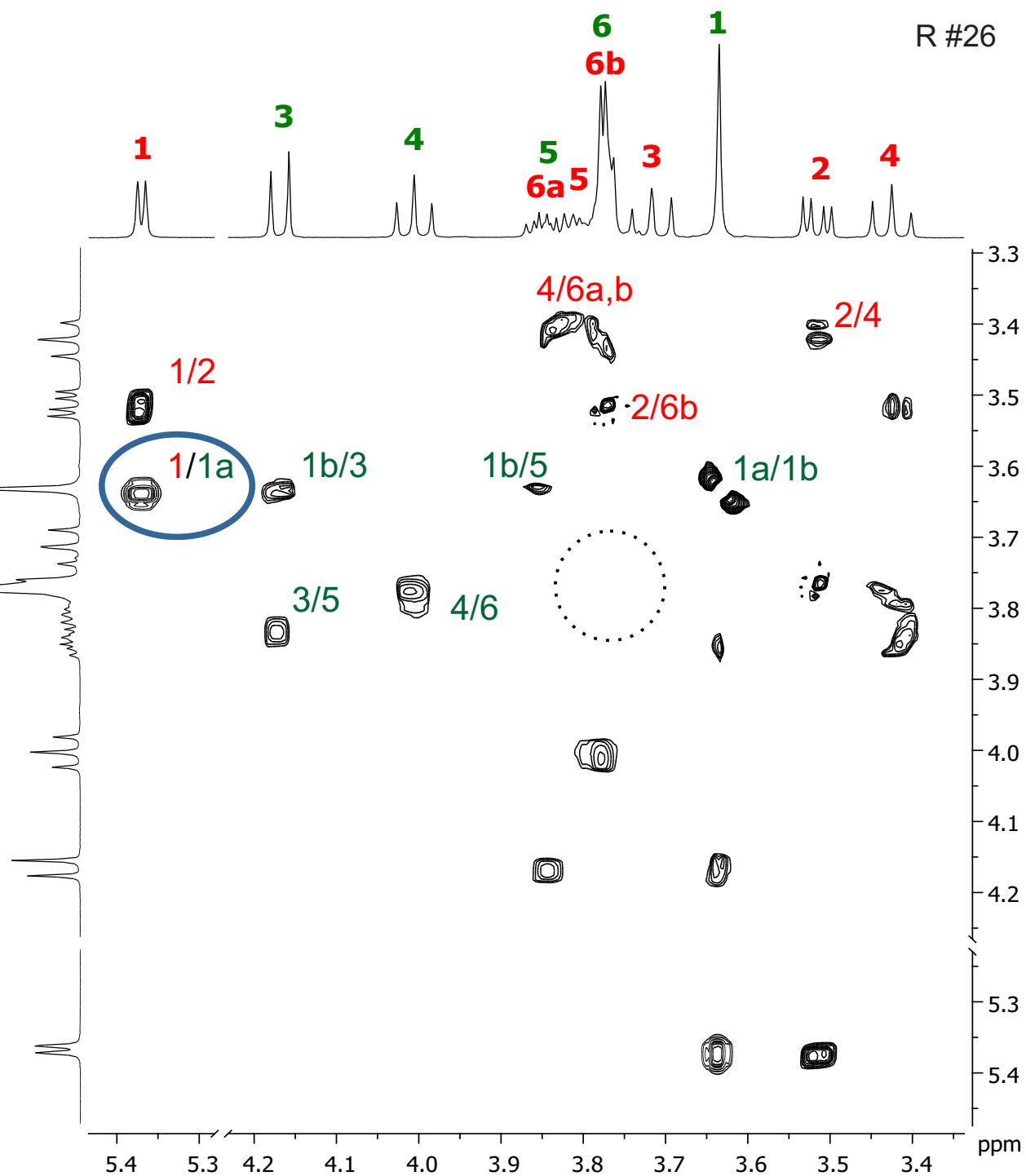


NOESY, 400 МГц, D₂O
с подавлением диагонали

R #26

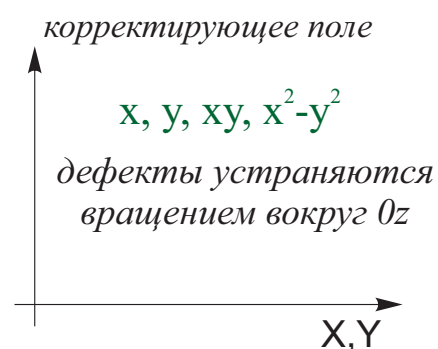
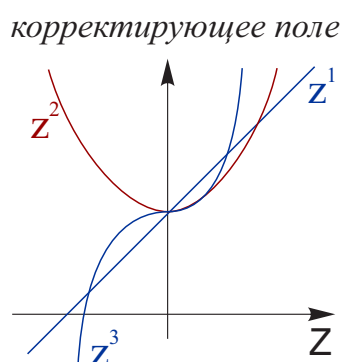
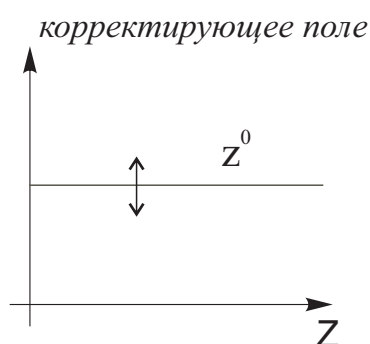


α -D-Glcp-(1 \rightarrow 2)- β -D-Fruf
(сахароза)

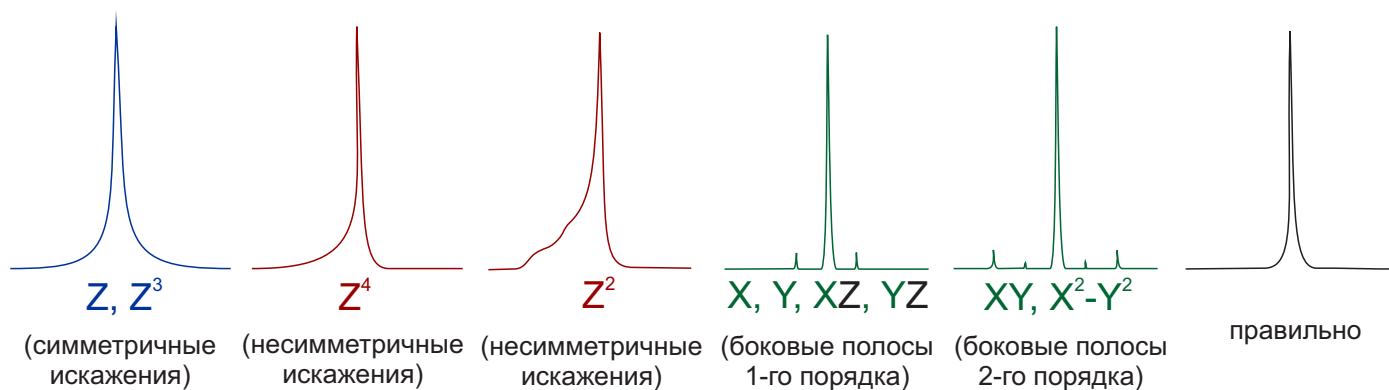


Стабилизация условий резонанса

в пространстве



возможные ошибки:



критерии разрешения:

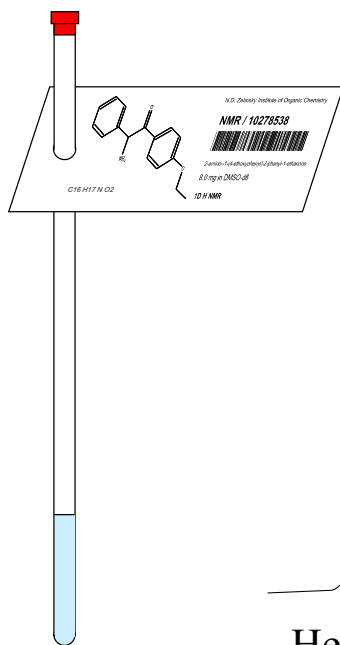
- высота сигнала дейтерия (при той же площади)
- площадь FID
- форма линии

во времени

LOCK: Параллельно с основным ядром все время накапливается сигнал ядер 2D , частота сравнивается с запомненной и производится подстройка поля

- LOCK Phase - фаза опорного сигнала
- LOCK Power - мощность облучения 2D
(должна быть такой, чтобы образец успевал ее рассеять)
- LOCK Gain - усиление приема в канале LOCK

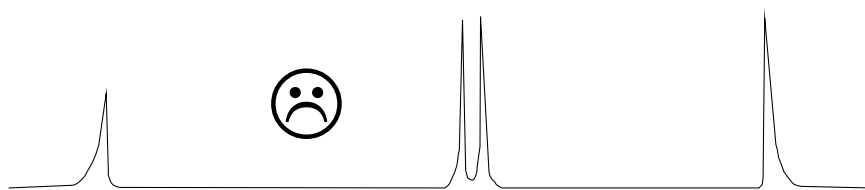
Приготовление образца



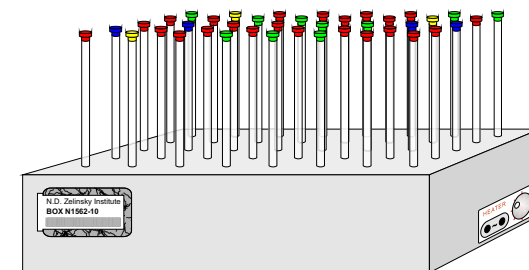
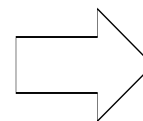
Ø 10 мм - чувствительность ↑, однородность поля ↓

Ø 5 мм - стандарт, рабочая область ≥20 мм (=0.4 мл)

Шигеми - вставка из спецматериала (для конкретного растворителя)



Непрогретые образцы и образцы с твердыми частицами имеют градиент концентрации



печка

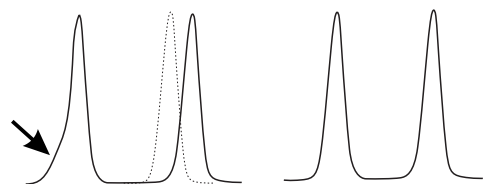
Выбор растворителя

- положение сигналов остаточных протонов
- наличие примесей, в первую очередь воды
- способность к химическому обмену с $-OH$, $-NH_2$
- температуры кипения и замерзания, температурные изменения растворимости
- способность к образованию водородных связей и «утягиванию» сигналов
- мольная доля дейтерия (качество LOCK)
- вязкость (разрешение)
- цена (стандарт – DMSO- d_6 , ~2000 \$/кг)

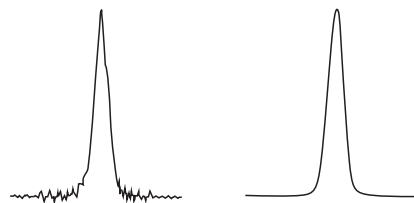
Растворители, используемые в ЯМР (в порядке распространенности)

растворитель	t _{пл.} , С°	t _{кип.} , С°	химический сдвиг, м.д.		~цена, \$/ грамм	примечания
			¹ H (остаточные)	¹³ C		
диметилсульфоксид- <i>d6</i>	18.5	189.0	2.50	39.5	1.8	вязкий, очень гигроскопичный
ацетон- <i>d6</i>	-94.7	56.3	2.05	206.0; 29.8	1.8	«хороший» сигнал ² D
хлороформ- <i>d1</i>	-63.5	61.1	7.27	77.0	0.4	слабый сигнал ² D
вода- <i>d2</i>	0	100.0	4.63	---	0.6 (99.8%)	содержит подвижный протон, гигроскопична
метанол- <i>d4</i>	-97.7	64.7	3.31	49.0	5.5	содержит подвижный протон
этанол- <i>d6</i>	-114.1	78.3	3.7; 1.2	57.3; 17.9	8.0	содержит подвижный протон
бензол- <i>d6</i>	5.5	80.1	7.16	128.0	2.4	вязкий, изменяет химические сдвиги
уксусная кислота- <i>d4</i>	16.7	117.9	11.53; 2.03	178.4; 20.0	2.8	
толуол- <i>d8</i>	-94.9	110.6	7.09; 7.00; 6.98; 2.09	137.5; 128.9; 128.0; 125.2; 20.4	3.0	изменяет химические сдвиги
пиридин- <i>d5</i>	-109	66	8.74, 7.58, 7.22	150.3, 135.9, 123.9	6.2	изменяет химические сдвиги
метиленхлорид- <i>d2</i>	-97.0	40.0	5.32	53.8	6.0	
ацетонитрил- <i>d3</i>	-44.0	81.6	1.95	118.2; 1.3	3.0	
тетрагидрофуран- <i>d8</i>	-66.0	66.0	3.58; 1.73	67.4; 25.2	20	
циклогексан- <i>d12</i>	6.6	80.7	1.38	26.4	17	
диметилформаид- <i>d7</i>	-60.4	153.0	8.01; 2.91	167.7; 35.2	12	вязкий

Количественные измерения



термостатирование,
устранение конвекции

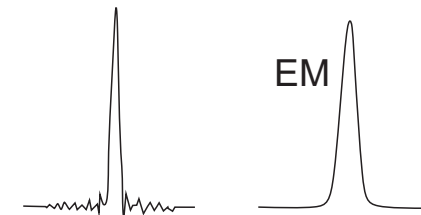


S/N > 250



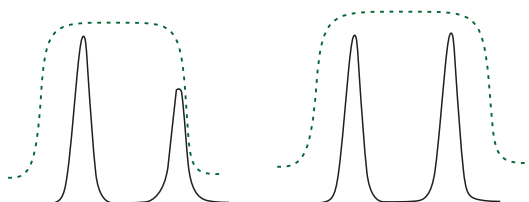
TD/SW

цифровое разрешение
> 5 точек / сигнал

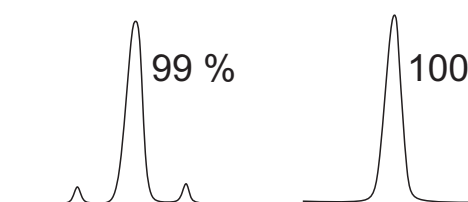


EM

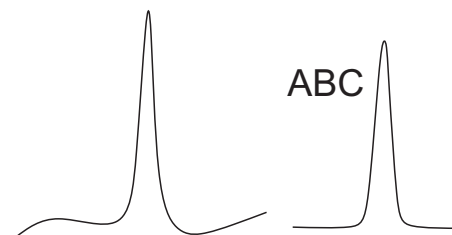
умножение на экспоненту



SW < 0.25/PW (все сигналы -
в области однородного облучения)

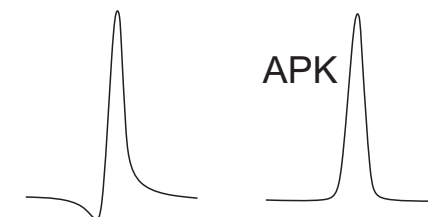


развязка от ^{13}C
(устранение спутников)



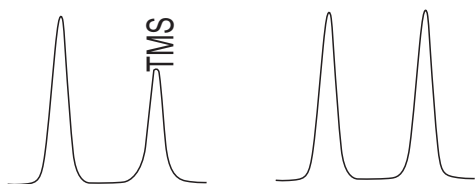
ABC

коррекция базовой линии



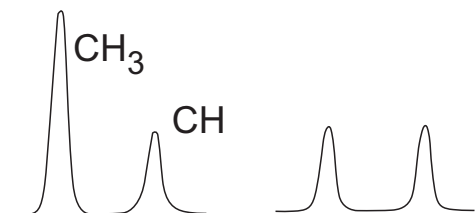
APK

тщательная фазировка



AQ+RD > 6 * max(T₁)

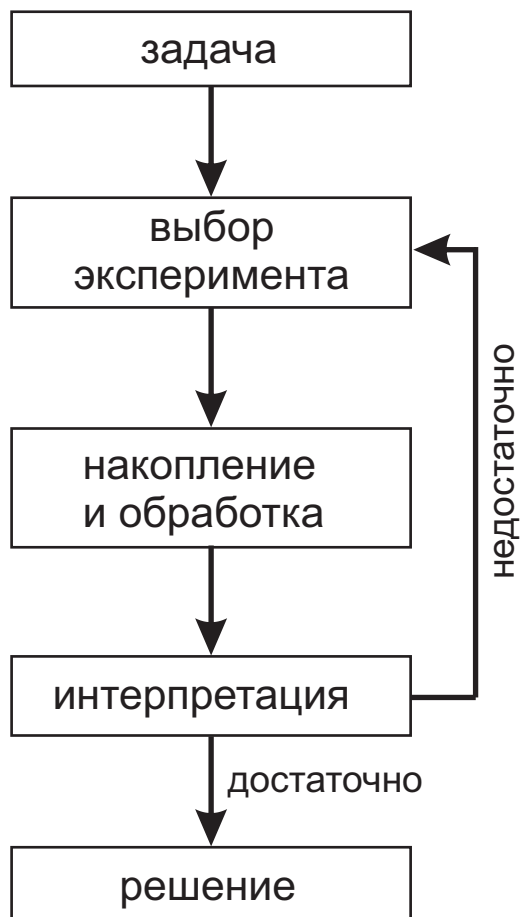
полная релаксация за время цикла;
у стандарта м.б. T₁ > 10 сек.



inv-Gated: на гетероядрах
исключить NOE от протонов

количественное измерение NOE (особенно в 2D):

- подбор времени смешивания
- максимизировать долю диполь-дипольного взаимодействия - вязкий раствор (поступательное и вращательное движения становятся малозначимыми)
- выравнивание базовой плоскости
- NOESY, но не ROESY (корреляция NOE с межатомным расстоянием)
- равновесный vs. неравновесный NOE: значение ЯЭО ~ наклон кривой зависимости NOE от времени облучения
- облучение быстро-релаксирующих протонов и наблюдение NOE на прочих, а не наоборот (напр., CH₃ → CH)
- расчет расстояний - только с нормировкой: $r_{\text{unknown}} = r_{\text{known}} * (\text{NOE}_{\text{known}} / \text{NOE}_{\text{unknown}})^{1/6}$
- влияние концентрации
- обезгаженные образцы (удаление •O₂•)



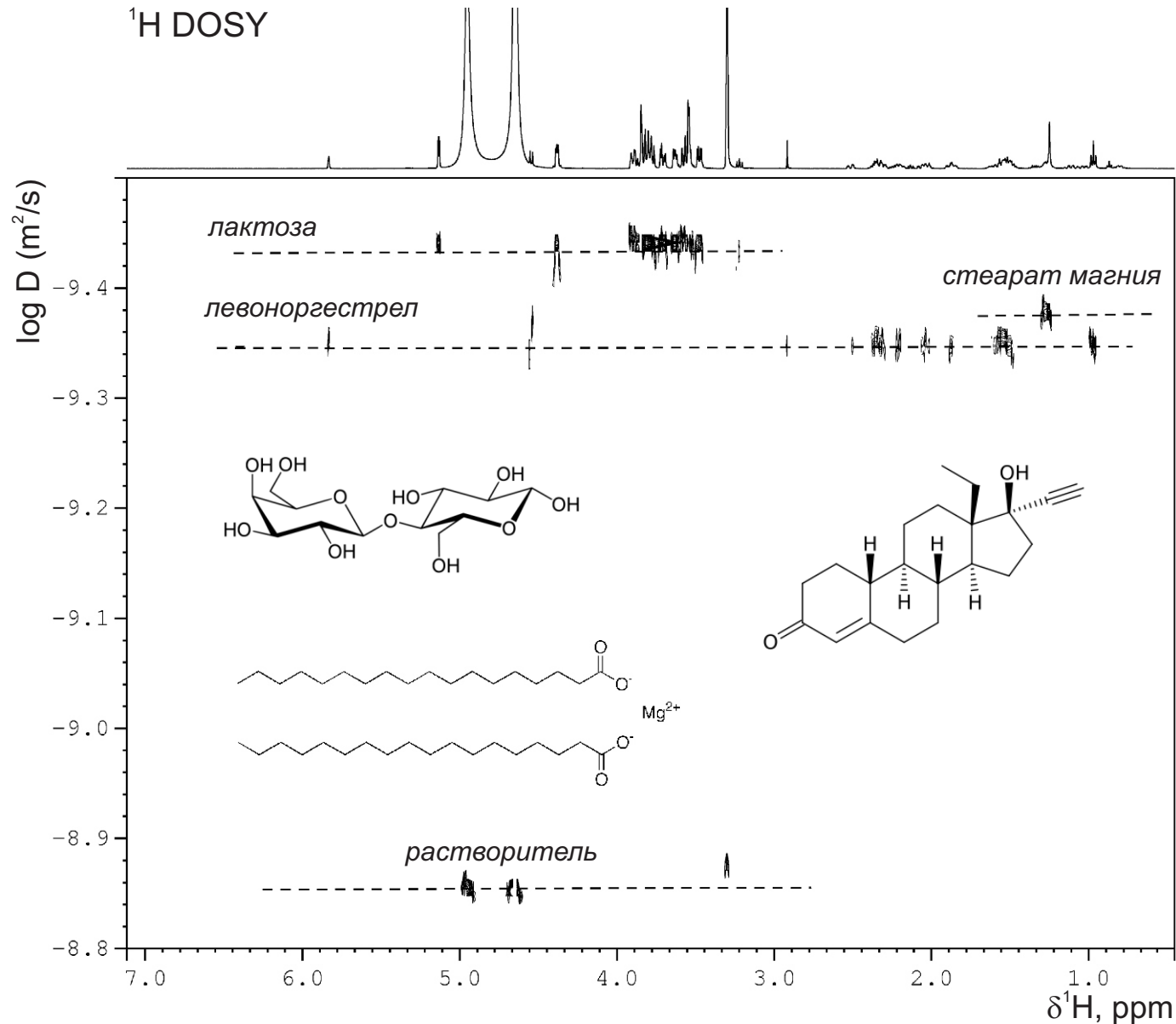
^1H	одномерный протонный спектр - <i>измерение гомоядерных КССВ, общая информация, идентификация остатков, базис для отнесения углеродного спектра</i>
^{13}C ВВ	одномерный углеродный спектр с широкополосной развязкой от протонов - <i>детальная информация, идентификация остатков, позиции замещения</i>
^{31}P ВВ, ^{15}N ВВ	одномерные спектры с широкополосной развязкой от протонов - <i>дополнительная информация</i>
APT, DEPT	отредактированный углеродный спектр - <i>выявление CH_2-групп</i>
^{13}C Gated, ^{31}P Gated	одномерные спектры без развязки от протонов - <i>измерение гетероядерных КССВ, выяснение аномальной конфигурации, изучение конформации</i>
HH J-res	развертка протонного спектра по мультиплетности - <i>измерение гомоядерных КССВ, общая информация, идентификация остатков,</i>
DOSY	развертка протонного спектра по времени корреляции молекулы - <i>разделение спектра на подспектры компонентов смеси или подспектры фрагментов с разной подвижностью</i>



интерпретация спектров НЕ является последовательным алгоритмом

Диффузионная спектроскопия (DOSY)

Если за время между двумя градиентными импульсами молекула сместилась в пространстве, детектируемый сигнал ослабляется в зависимости от пройденного ей расстояния. Обработка \Rightarrow корреляция ХС со коэффициентом диффузии D . Поскольку каждый сигнал в молекуле связан с одним и тем же коэффициентом диффузии, их можно разнести в диффузионном измерении спектра DOSY.

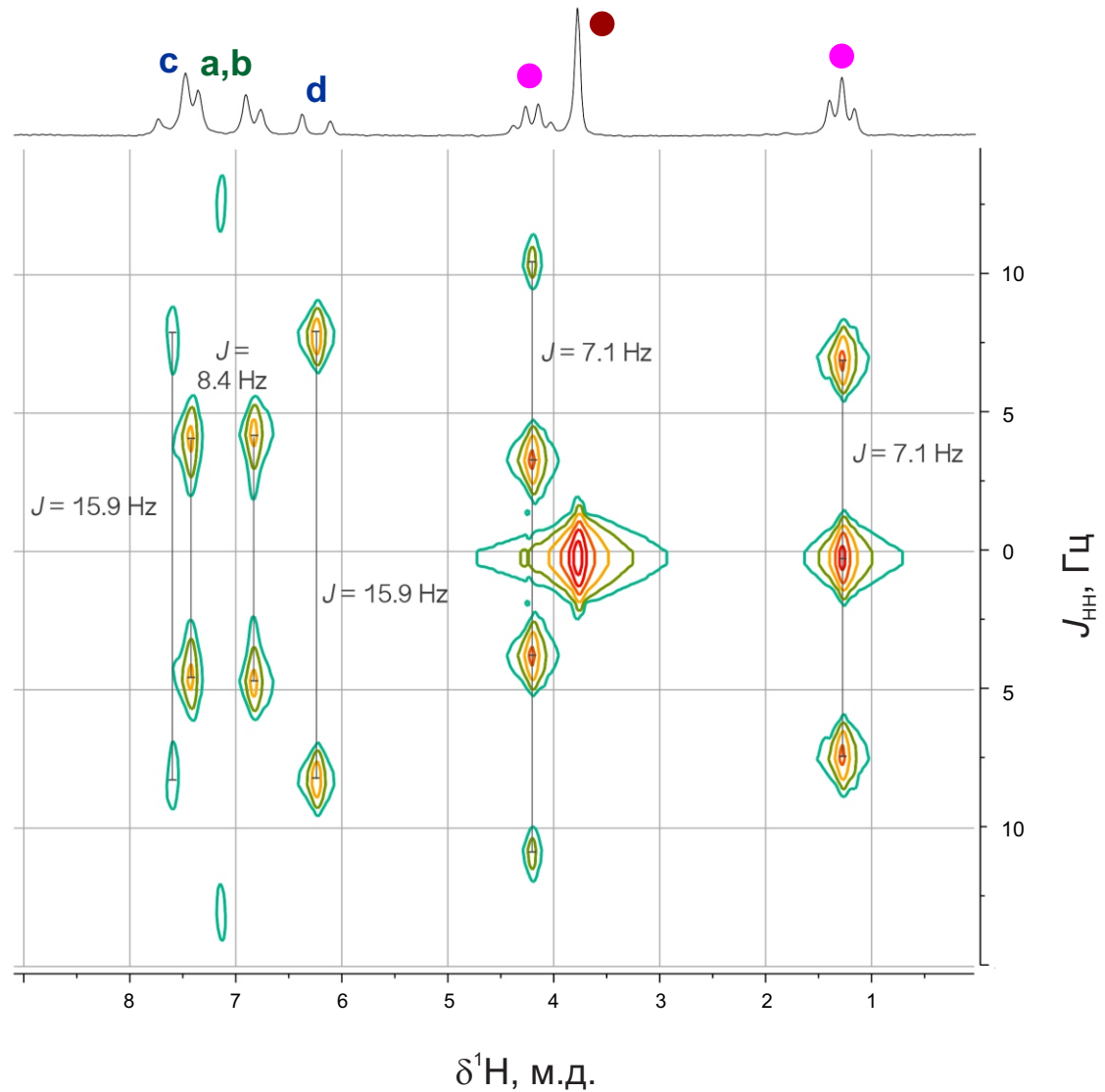
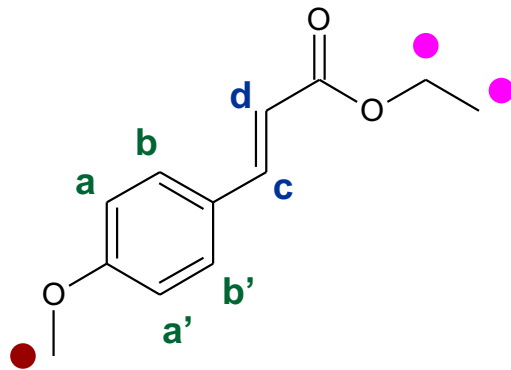


- добавление мелкодисперсного силикагеля изменяет скорости диффузии компонентов в сторону большей разницы
- термостатирование и вставки в ампулу устраняют конвекцию
- при соотношении $< 1:100$ минорные компоненты обычно не расходятся
- CDCl_3 - оптимальный растворитель (в слишком вязких (DMSO) нет диффузии; в слишком текучих (CD_3CN) все диффундирует быстро).

Эксперимент J-resolved

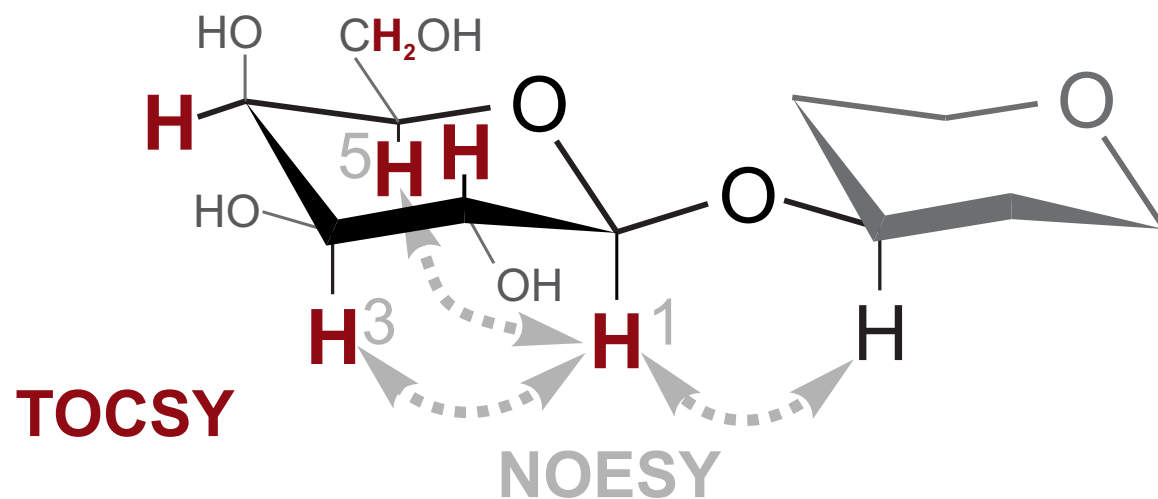
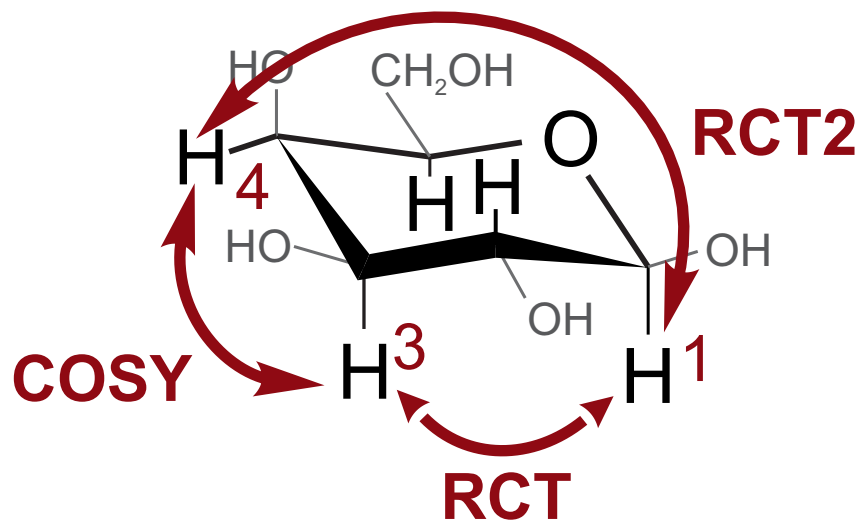
$(\pi/2)_x$ — $t_1/2$ — $(\pi)_x$ — $t_1/2$ — выборка (t_2)

Обе задержки инкрементируются. За время второй задержки химические сдвиги (но не КССВ) рефокусируются. J-resolved используется, в основном, в гомоядерном варианте (протон-протонные КССВ).



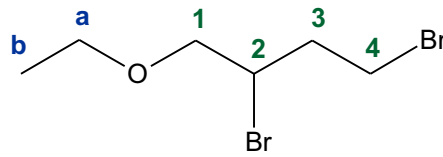
Гомоядерные спиновые корреляции

1D 2D

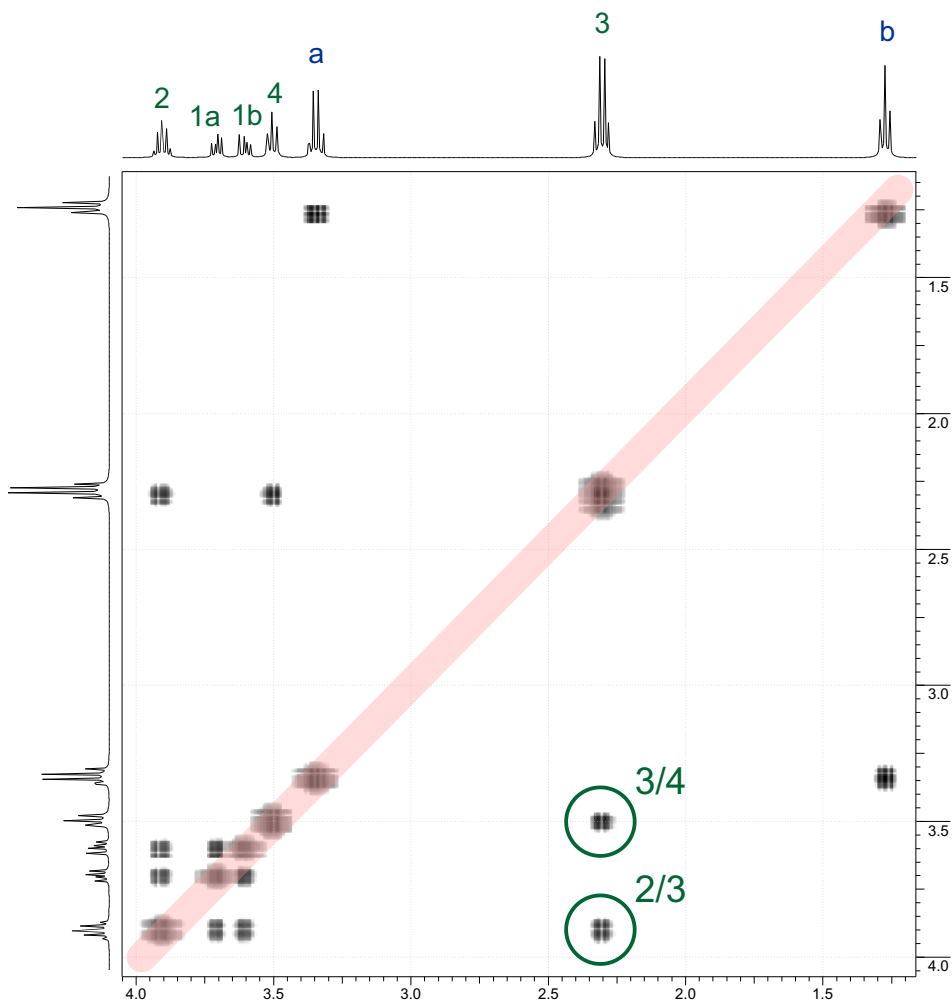


COSY	спиновая корреляция между вицинальными протонами - <i>отнесение протонного спектра</i>
COSY-45	COSY с «диагональной» структурой кросс-пиков ($\bullet\bullet \Rightarrow \bullet\bullet$; $\bullet\bullet\bullet \Rightarrow \bullet\bullet\bullet$) - <i>отнесение близколежащих сигналов + информация о знаке КССВ</i>
RCT, RCT2	спиновые корреляции по цепочке вицинальных КССВ - <i>отнесение протонного спектра</i>
DQF COSY	COSY, разрешенный вблизи диагонали за счет фазы - <i>отнесение близколежащих сигналов</i>
¹H HD dif	разностный селективный двойной резонанс - <i>выявление формы линии H2</i>
TOCSY (НОНАНА)	спиновая корреляция со всеми протонами спиновой системы - <i>разделение спиновых систем</i>
1D TOCSY	TOCSY для одного сигнала - <i>выявление спиновой системы остатка</i>

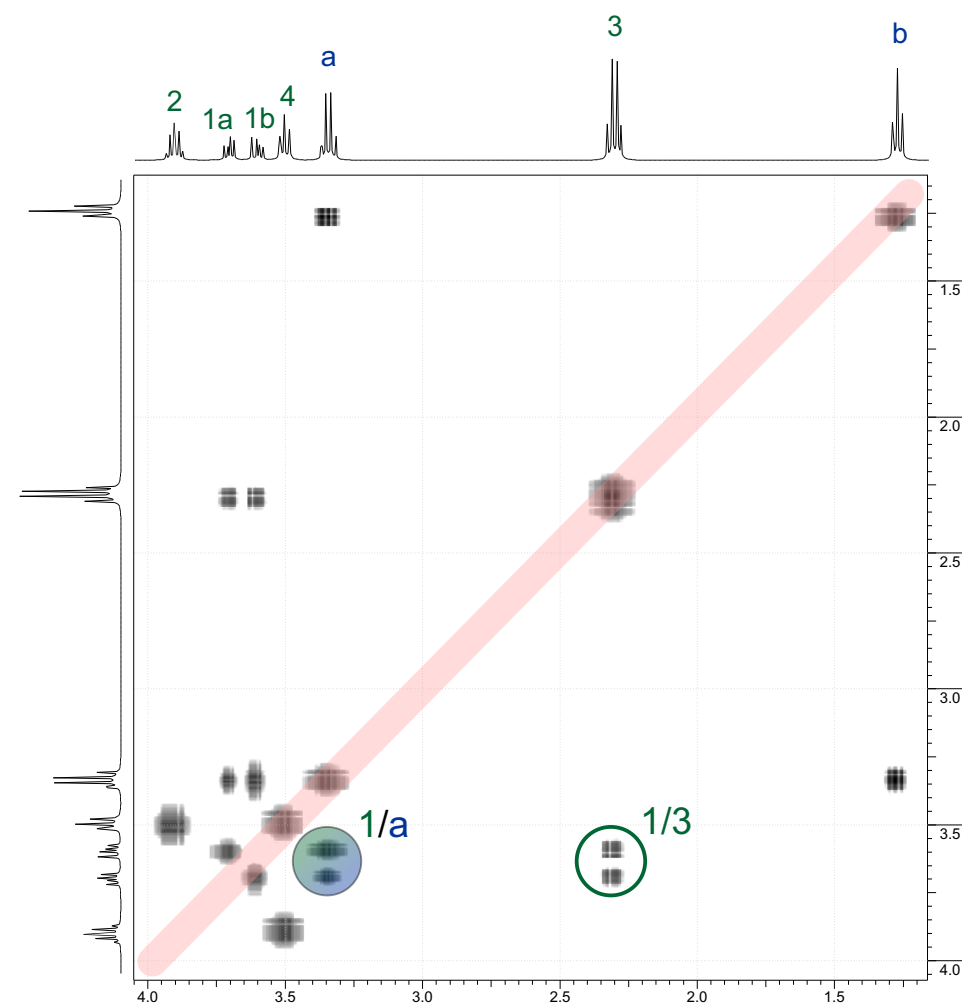
Гомоядерные двумерные спектры модельного соединения



COSY 400МГц



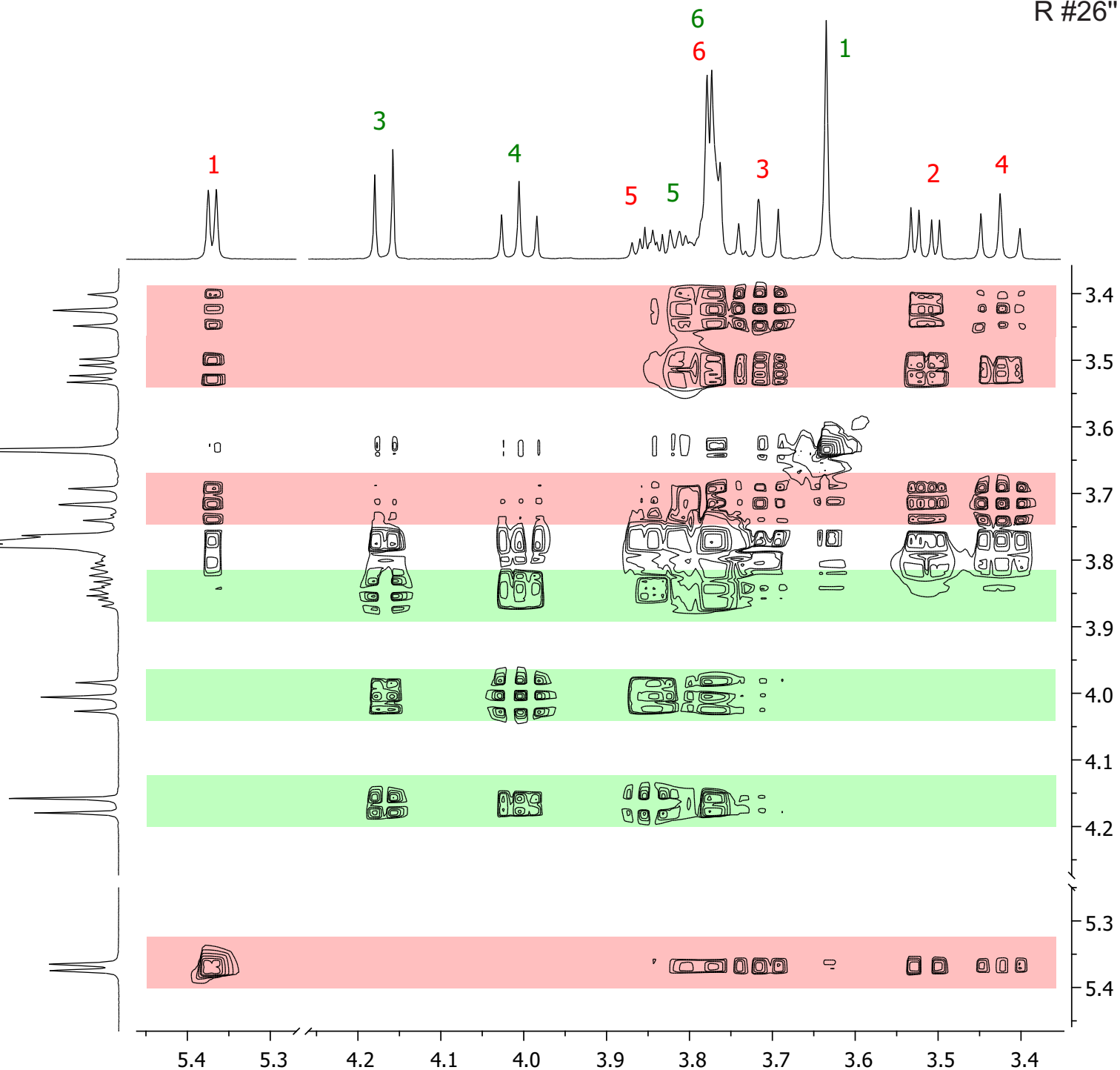
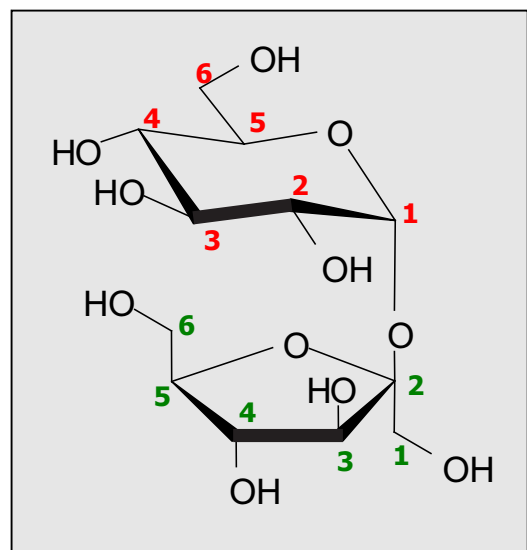
NOESY 400МГц



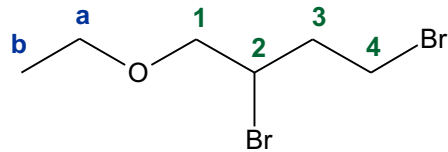
{¹H,¹H} TOCSY, 400 МГц, D₂O

R #26"

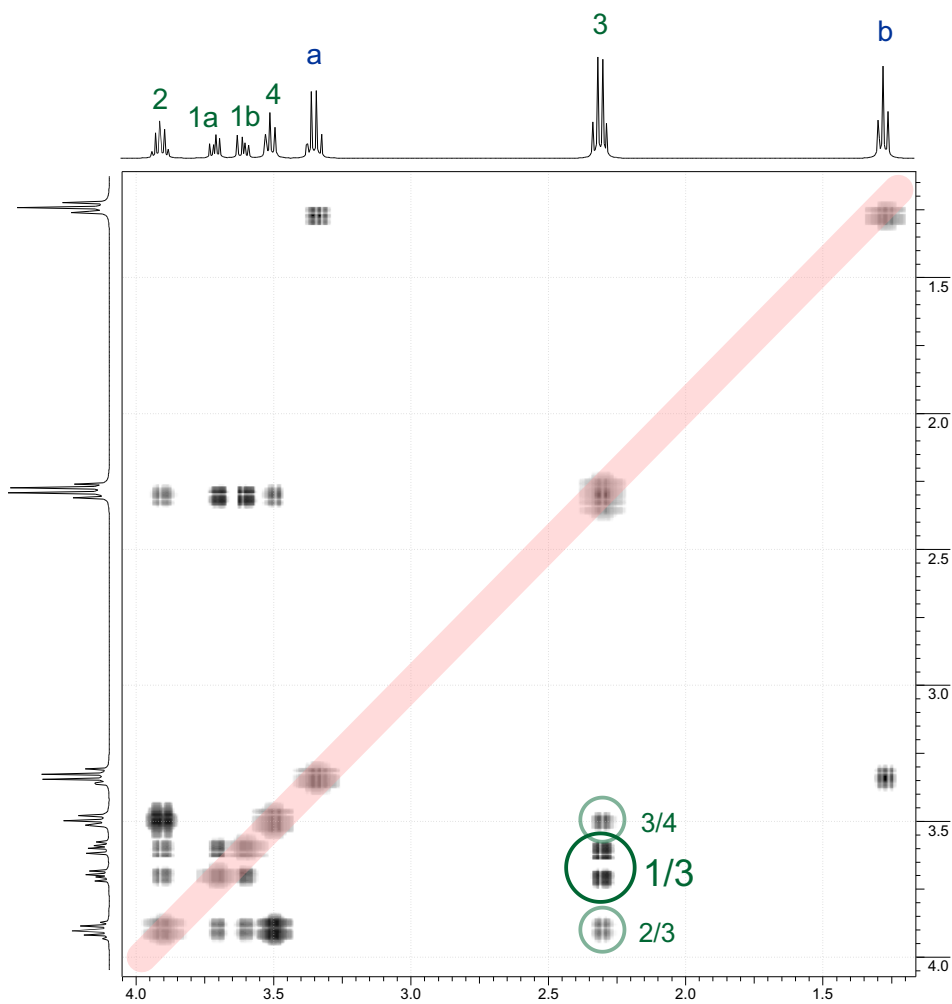
α-D-Glcp-(1→2)-β-D-Fruf
(сахароза)



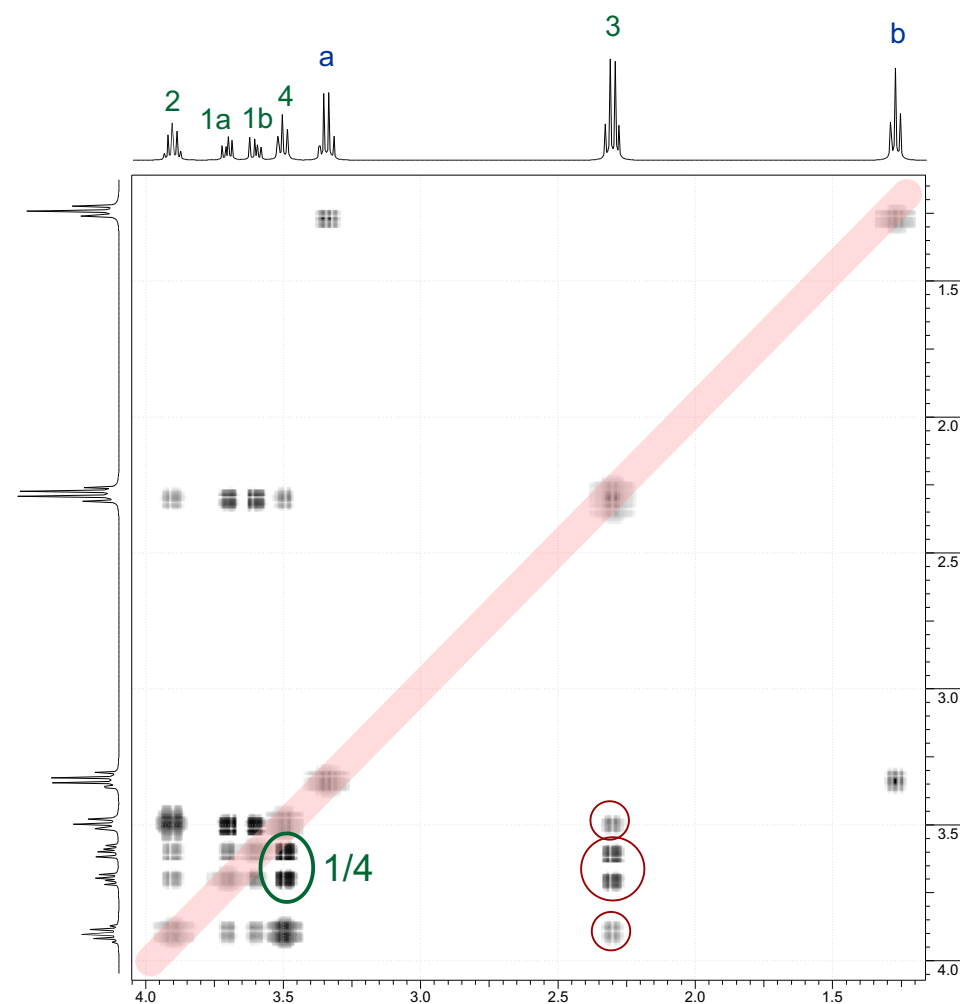
Гомоядерные двумерные спектры с переносом когерентности



COSY RCT 400МГц

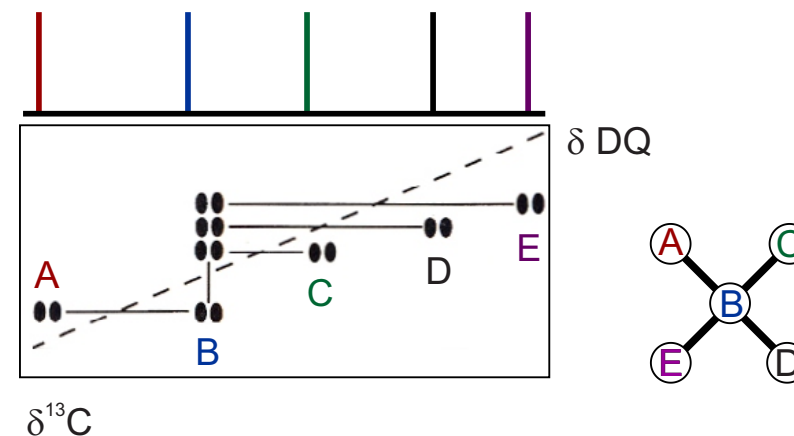
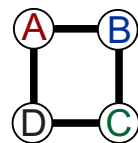
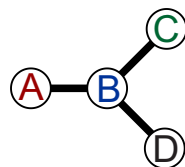
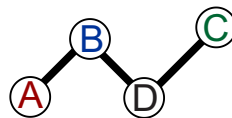
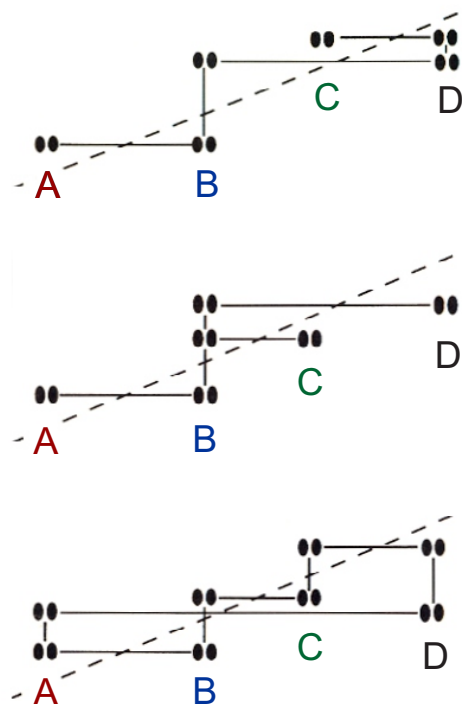


COSY RCT2, TOCSY 400МГц



Эксперимент INADEQUATE

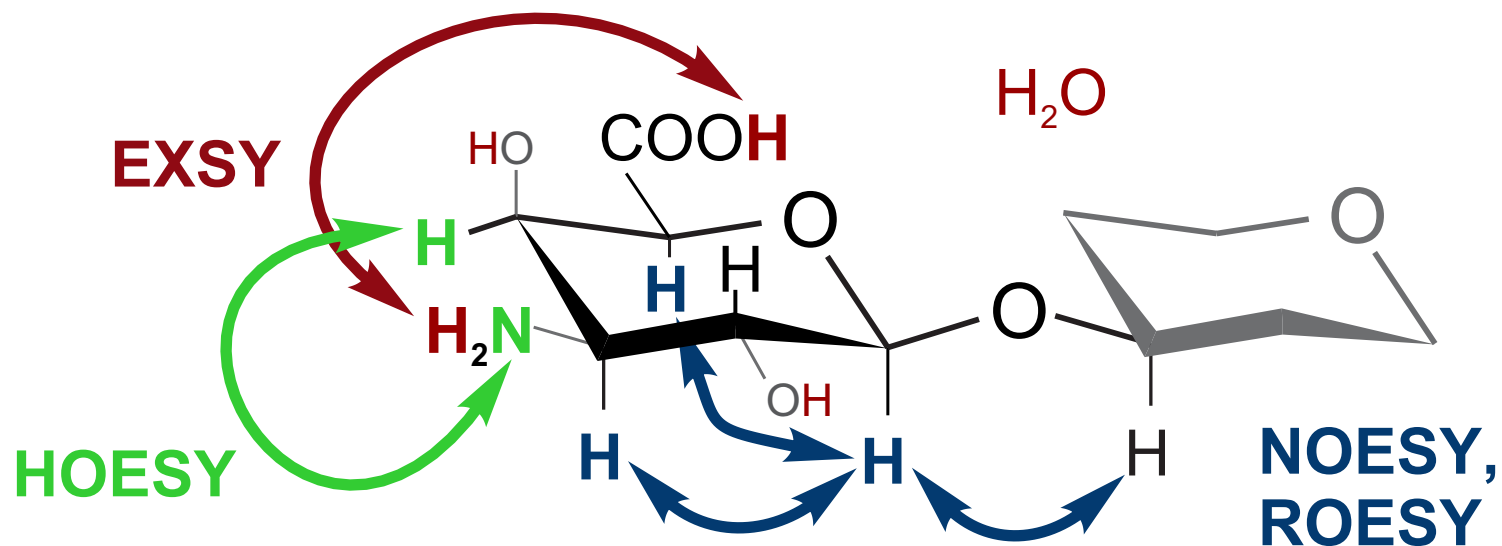
^{13}C : $\pi/2_x$ — $1/4J_{CC}$ — π_x — $1/4J_{CC}$ — $\pi/2_x$ — t_1 — $\pi/2_x$ — FID $_{\pm x}$
 ^1H : decoupling



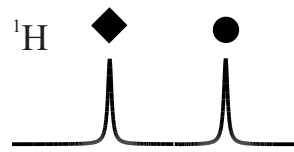
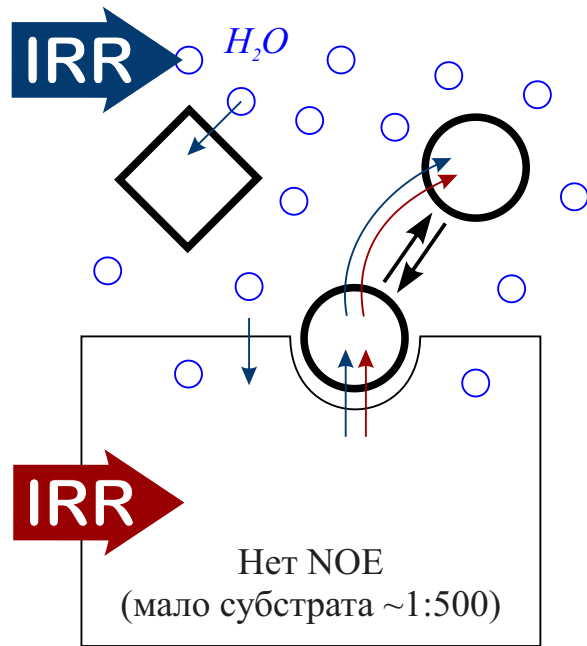
- требуется большая концентрация (>100мг) или обогащенный образец (>10% ^{13}C)
- на оси DQ - сумма коррелирующих частот
- ^1H - ^{13}C INADEQUATE можно использовать для HH-корреляций, которые в COSY находятся вблизи диагонали

Прямые корреляции через пространство

1D 2D



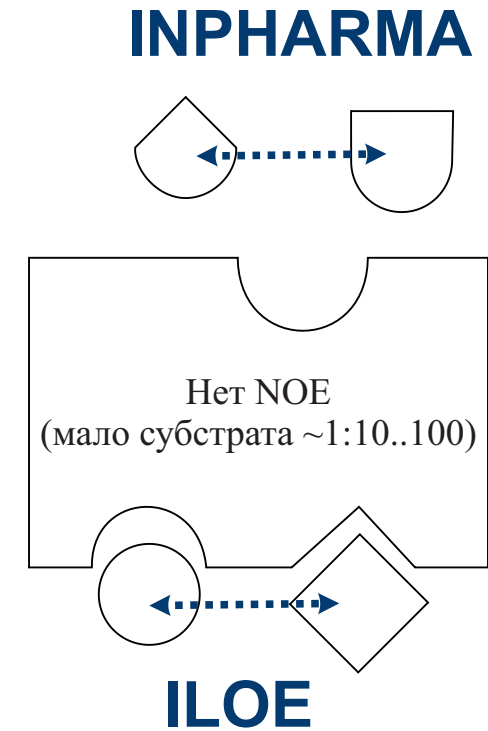
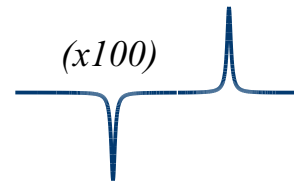
^1H NOE dif	разностное селективное измерение ЯЭО - <i>изучение пространственных контактов</i>
NOESY	пространственная корреляция - <i>выяснение последовательности остатков, конформации</i>
ROESY	пространственная корреляция - <i>исследование высокомолекулярных соединений</i>
$\{^1\text{H}, \text{X}\}$ 1D NOE	измерение гетероядерного NOE - <i>исследование конформации</i>
HOESY	гетероядерная корреляция через пространство (NOE) - <i>исследование связывания</i>
EXSY	наблюдение обменных кросс-пиков - <i>исследование химического обмена и миграций</i>



STD



WaterLOGSY

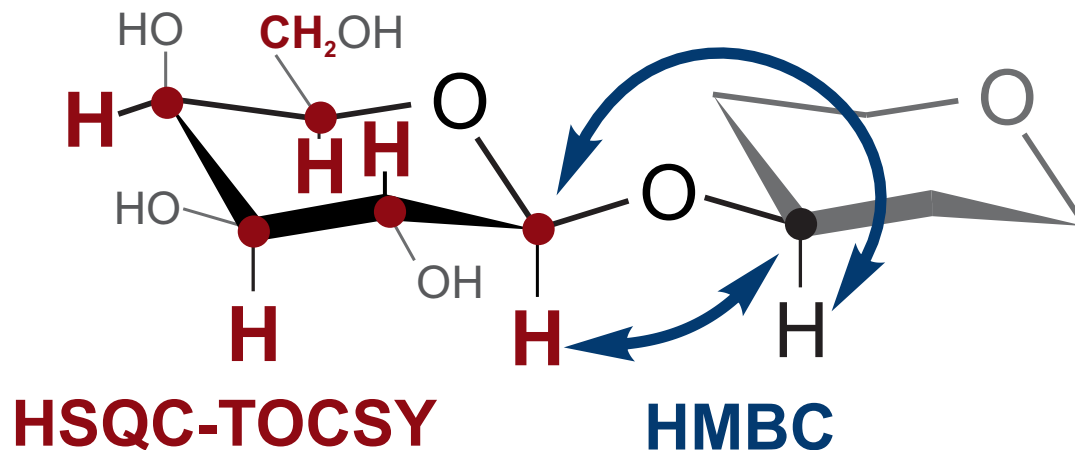
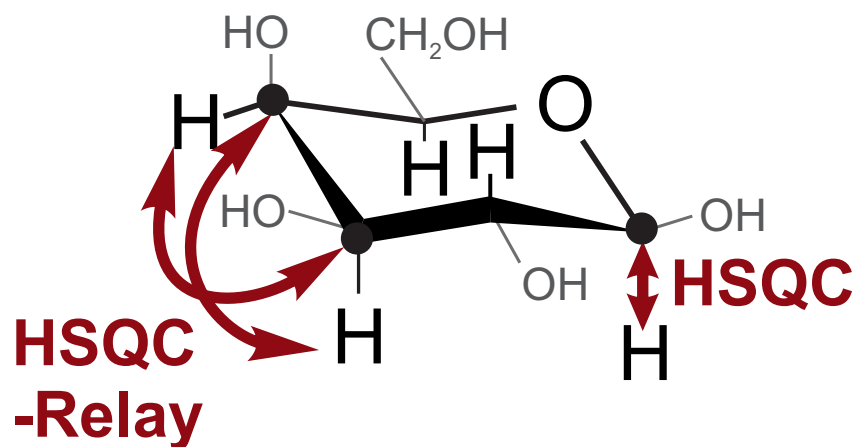


STD	при насыщении сигналов субстрата меняются сигналы только тех лигандов, которые могут связываться с ним - <i>скрининг связывания на смеси субстрата с множеством лигандов</i>
WaterLOGSY	при насыщении воды NOE со свободными и связанными лигандами имеет разный знак (передача через тяжелый субстрат или напрямую) - <i>скрининг связывания</i>
ILOE	отрицательный NOE между лигандами, связанными с ферментом в соседних положениях - <i>контакты лиганд-лиганд</i>
INPHARMA	если лиганды поочередно связываются с одним и тем же сайтом субстрата, между ними возникает NOE (передача через субстрат) - <i>локализация сайтов связывания</i>

Для наблюдения только одного типа NOE требуется правильный подбор времени смешивания (INPHARMA < NOESY; ILOE > NOESY) и сопоставимые временные характеристики связывания.

Гетероядерные корреляции

1D 2D

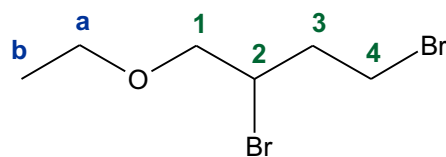


HETCOR	прямая углерод-протонная спиновая корреляция - <i>отнесение углеродного спектра</i>
$\{^1\text{H}, ^{13}\text{C}\}$ HSQC *	прямая протон-углеродная спиновая корреляция - <i>отнесение углеродного спектра</i>
$\{^1\text{H}, ^{31}\text{P}\}$ HSQC	протон-фосфорная спиновая корреляция - <i>локализация фосфатных групп</i>
$\{^1\text{H}, ^{13}\text{C}\}$ HMBC	дальняя протон-углеродная корреляция - <i>выяснение последовательности остатков</i>
$\{^1\text{H}, \text{X}\}$ 1D HMBC	HMBC для одного сигнала - <i>выявление протонов в окружении гетероядра</i>
HSQC-Relay	углерод-углеродная корреляция через vicinalные протонные KCCB - <i>поиск соседних углеродных атомов</i>
HSQC-TOCSY	корреляция углеродов со всеми протонами спиновой системы (и наоборот) - <i>поиск C_n по H_{n+1} и аналогичные задачи</i>

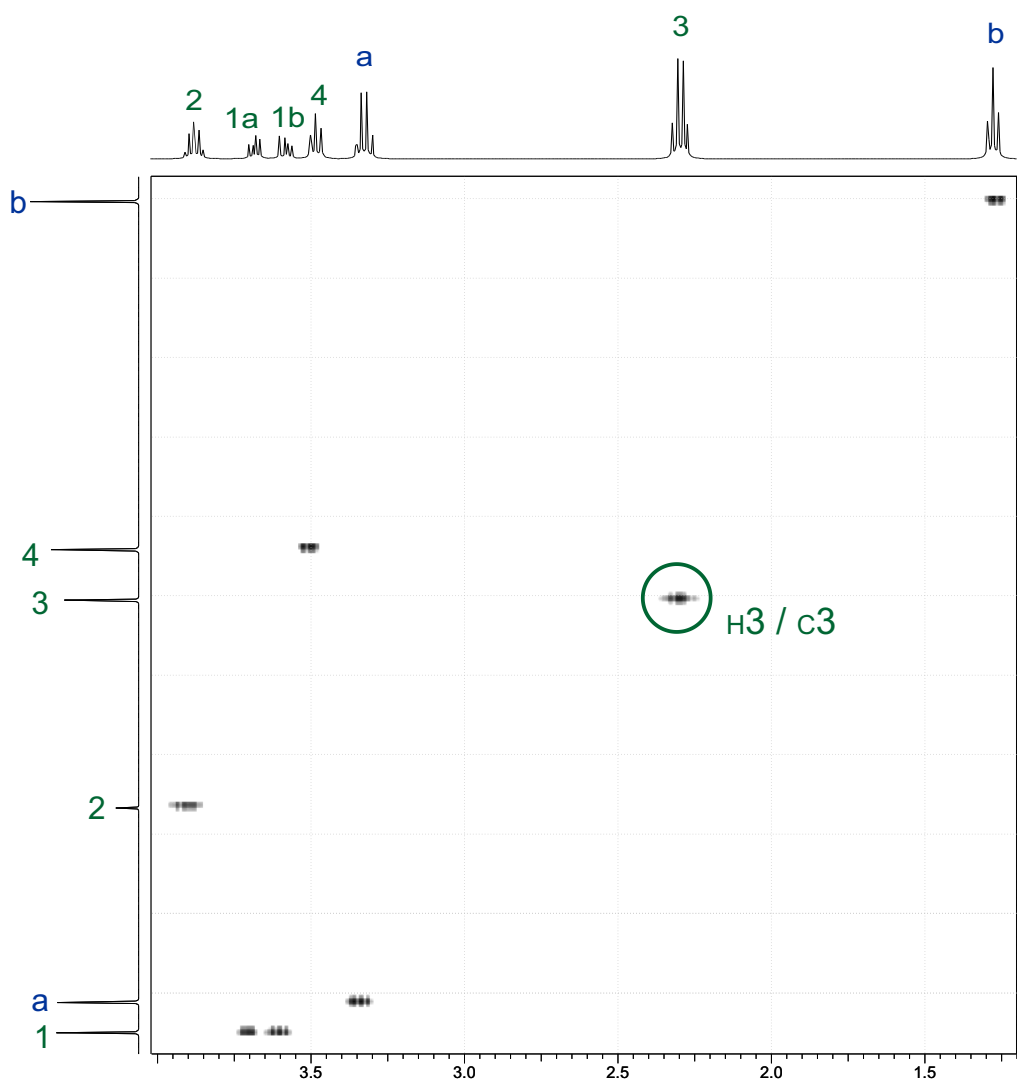
* отличия **HMBC** от **HSQC**: нефазочувствительный (шире пики по F1 + невозможно редактирование); толерантен к длине ^{13}C -импульса

Инверсные эксперименты - намагничивание передается с протона на другое ядро, и затем обратно на протон, накопление происходит по протонам (требуется специальный датчик).

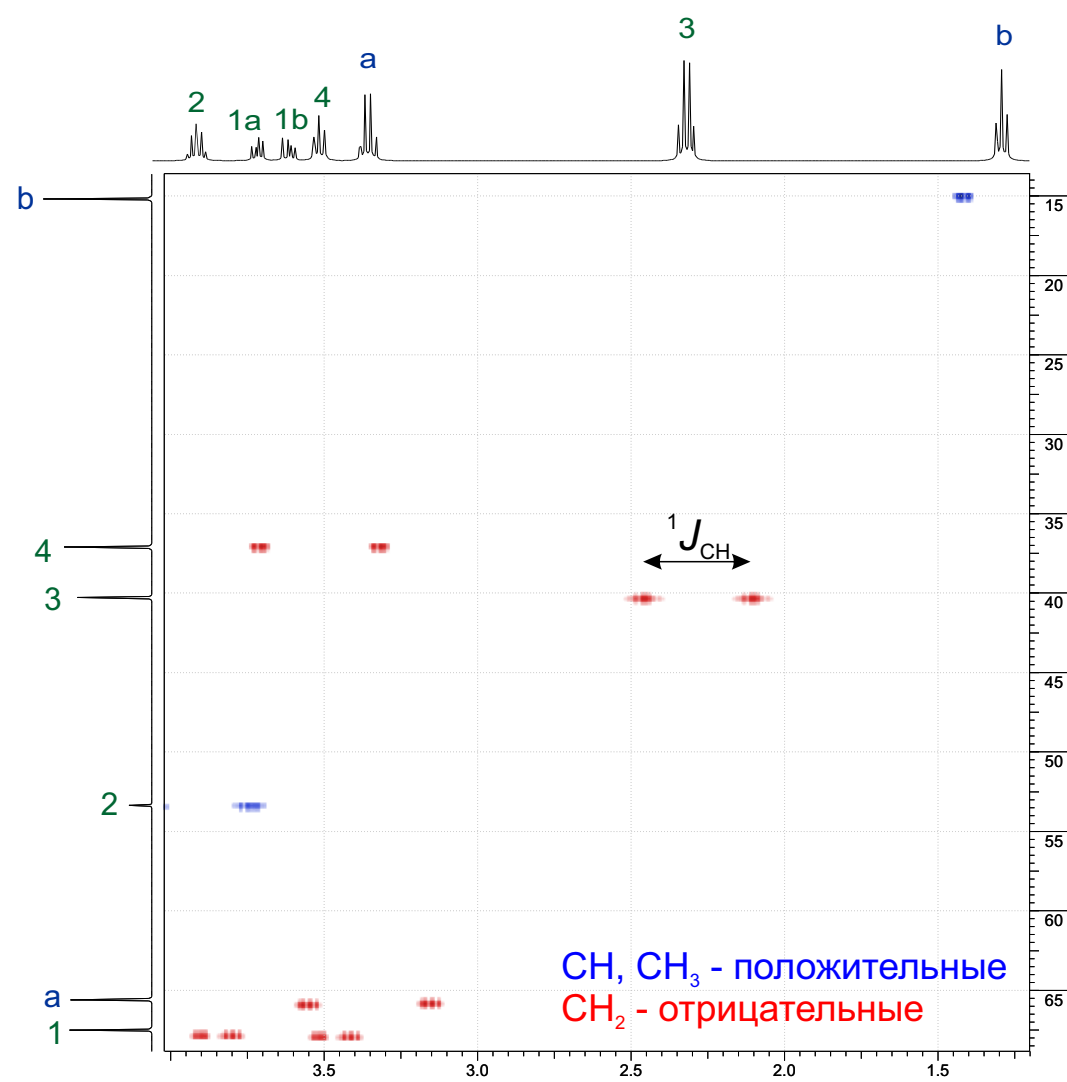
Гетероядерные двумерные спектры модельного соединения



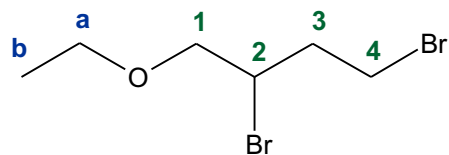
$\{^1\text{H}, ^{13}\text{C}\}$ HSQC 400МГц



$\{^1\text{H}, ^{13}\text{C}\}$ ed-HSQC 400МГц без развязки от ^1H



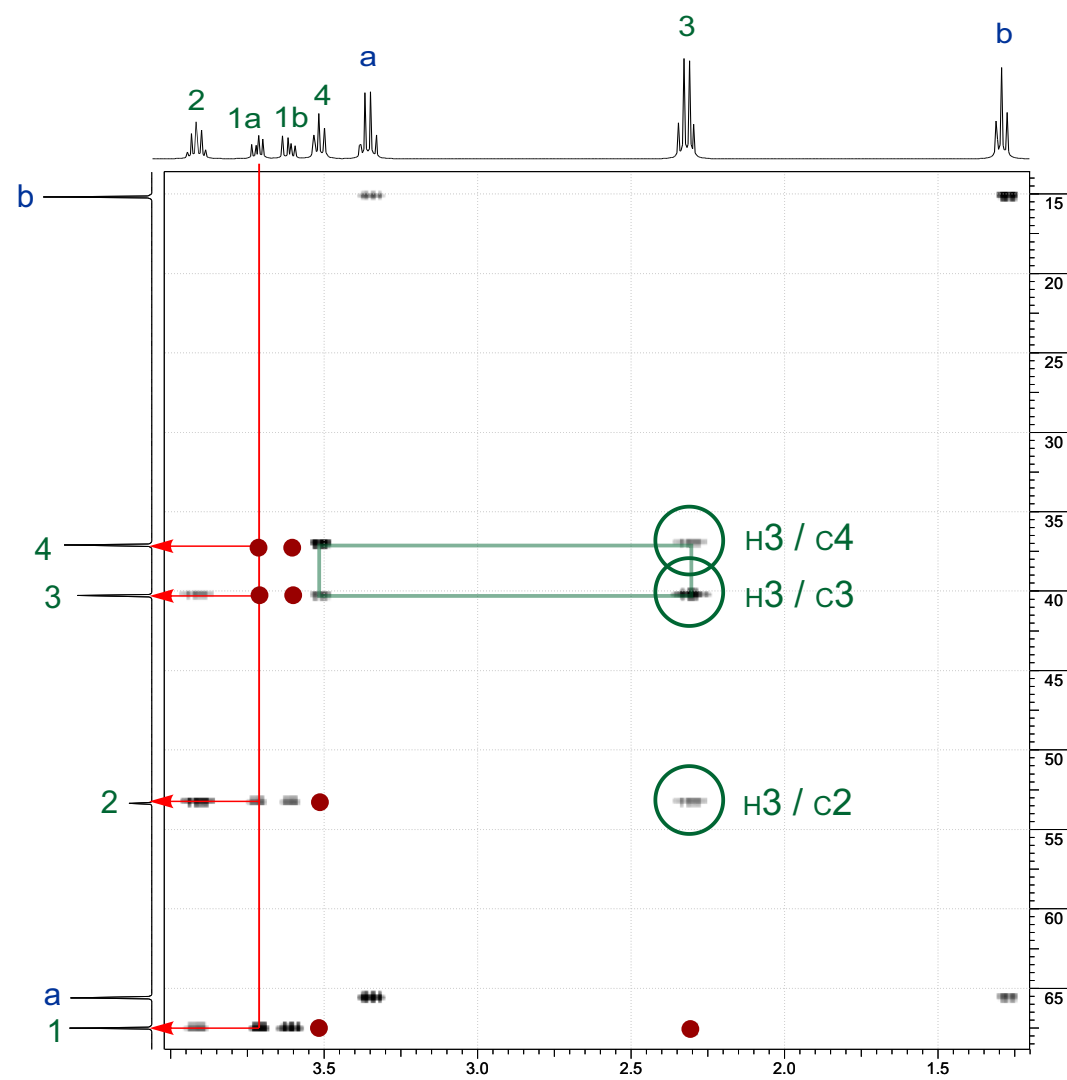
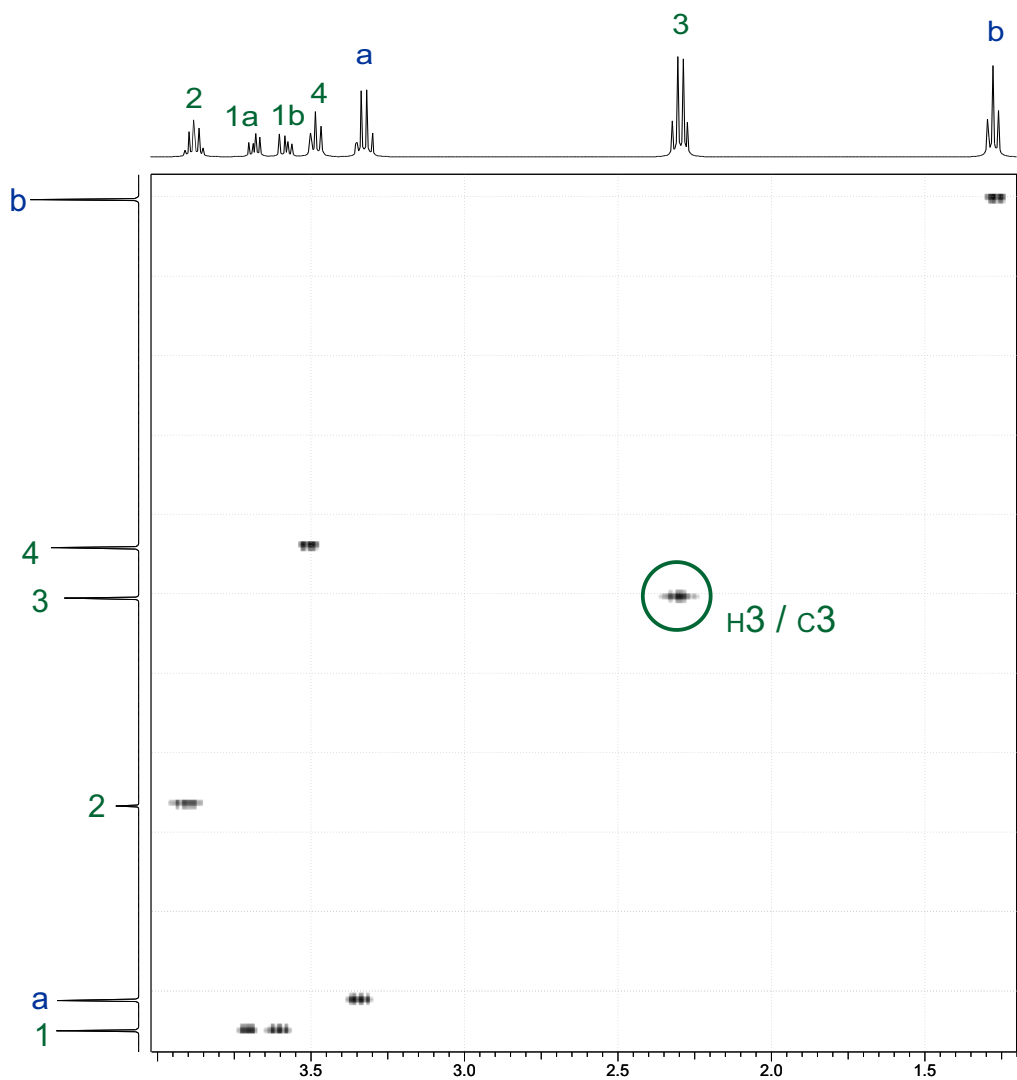
Перенос когерентности в HSQC



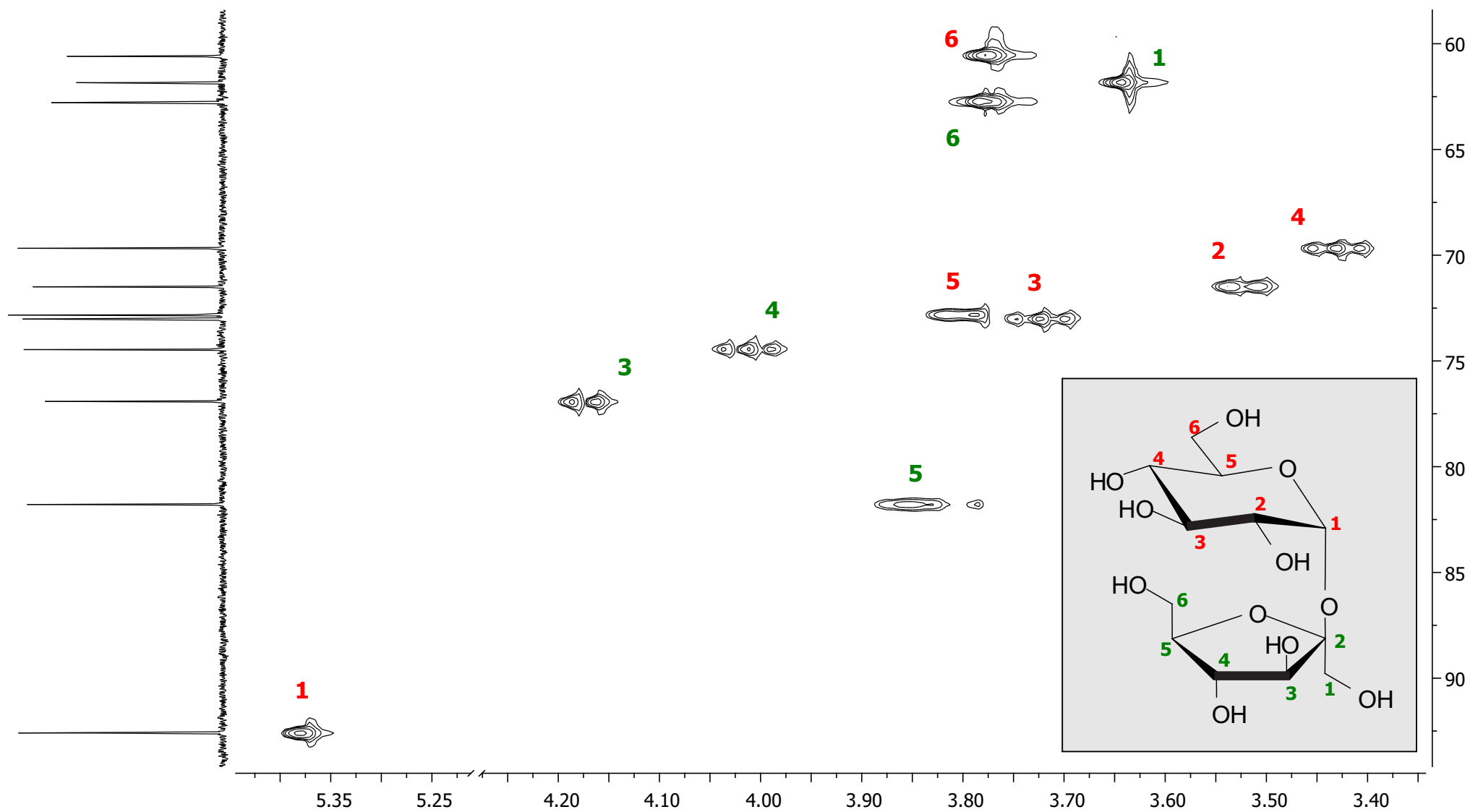
{¹H, ¹³C} HSQC-relay 400МГц

{¹H, ¹³C} HSQC 400МГц

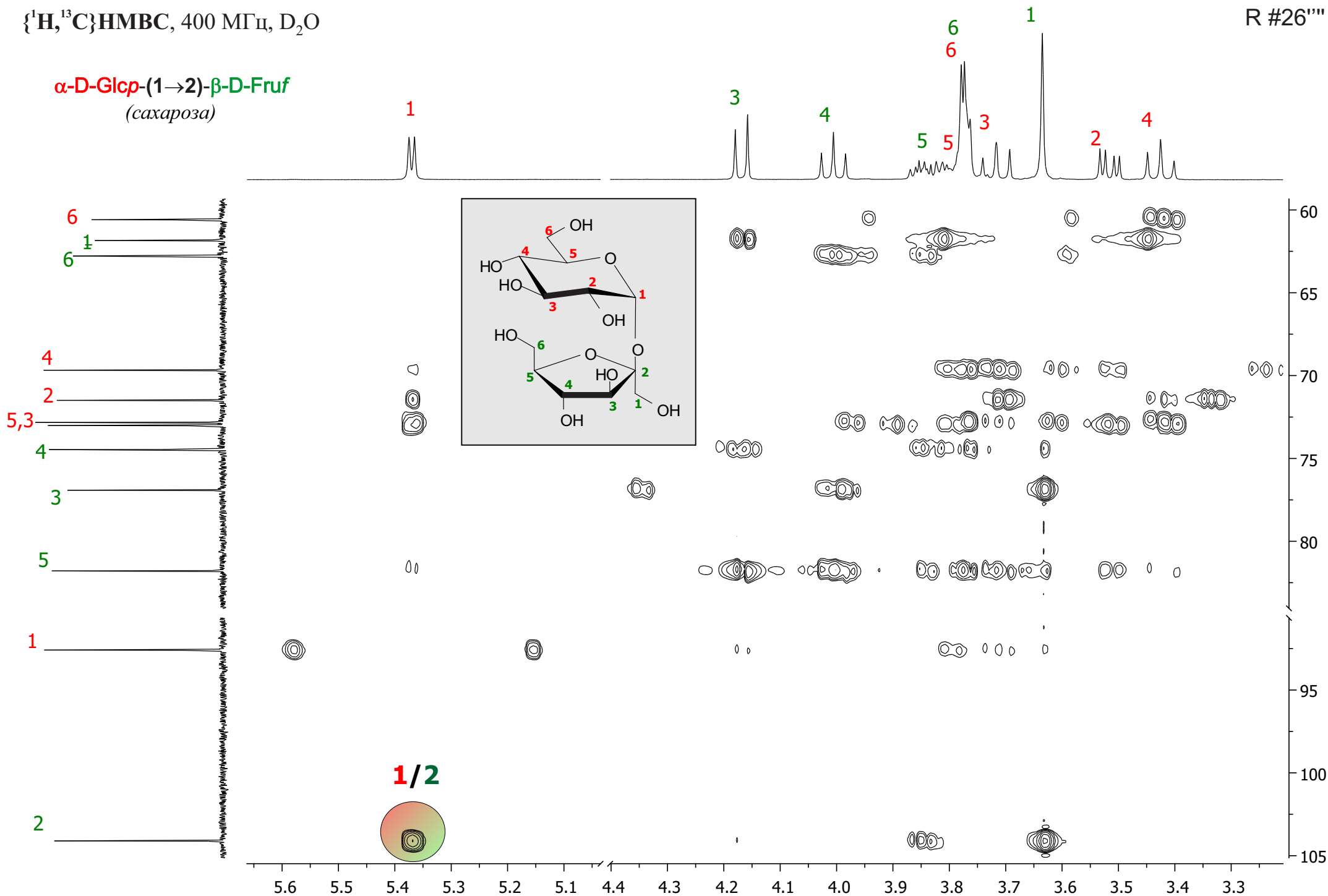
● дополнительные кросс-пики в HSQC-TOCSY

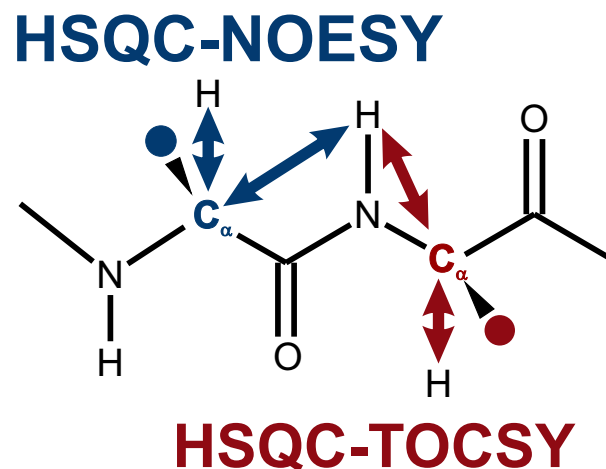
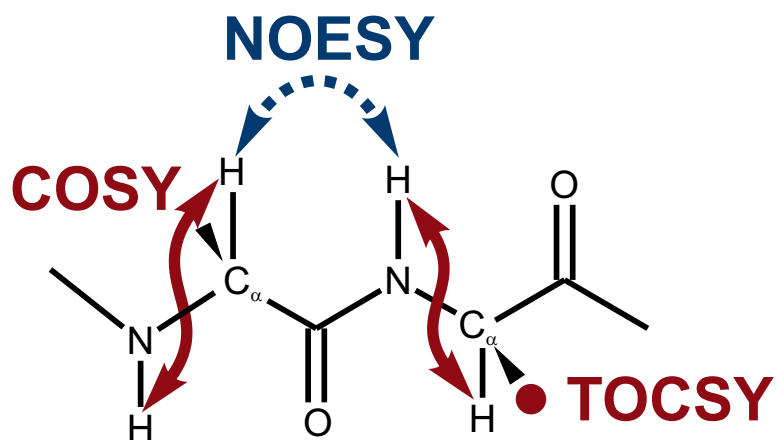
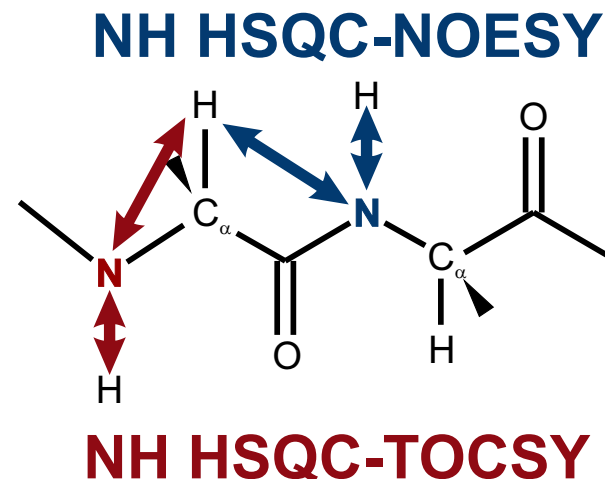
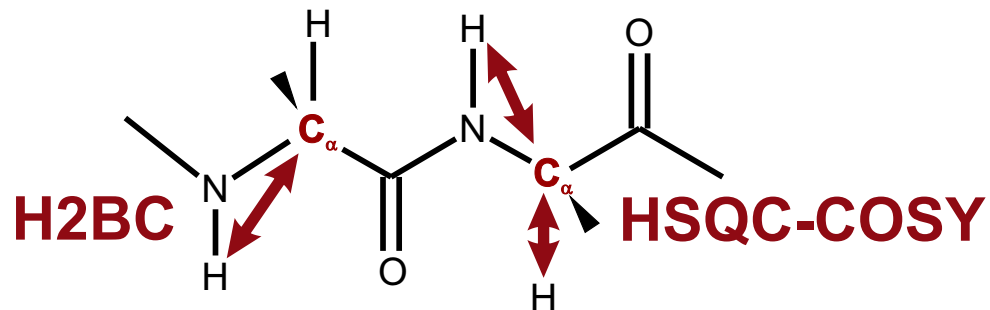


$\alpha\text{-D-Glcp-(1}\rightarrow\text{2)-}\beta\text{-D-Fruf}$
(сахароза)



α-D-Glcp-(1→2)-β-D-Fruf
(сахароза)

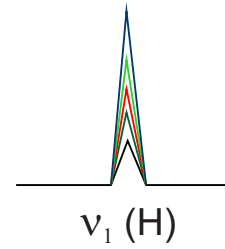
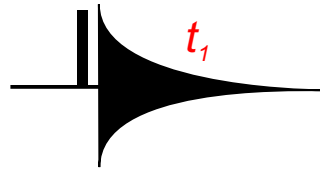




$\{^1\text{H}, ^{13}\text{C}\}$ HSQC-COSY	корреляция углеродов со своими и соседними протонами; H2BC - только с соседними
$\{^1\text{H}, ^{13}\text{C}\}$ HSQC-TOCSY	корреляция углеродов с протонами в том же остатке
$\{^1\text{H}, ^{15}\text{N}\}$ HSQC-TOCSY	корреляция гетероатомов с протонами в том же остатке
$\{^1\text{H}, ^{13}\text{C}\}$ HSQC-NOESY	корреляция углеродов с протонами, сближенными с его собственным CH
$\{^1\text{H}, ^{15}\text{N}\}$ HSQC-NOESY	корреляция гетероатомов с протонами, сближенными с его собственным XH

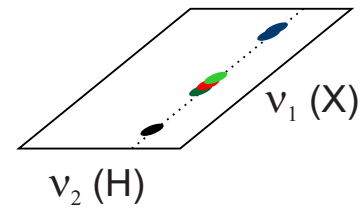
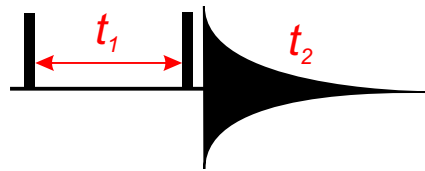
Трёхмерные эксперименты

1D H



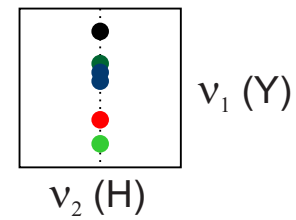
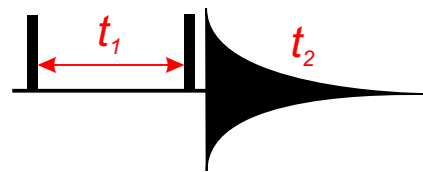
перекрывание: 6H

2D HX



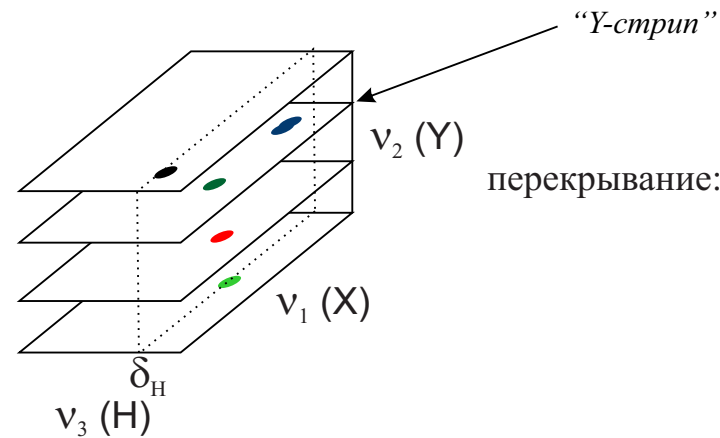
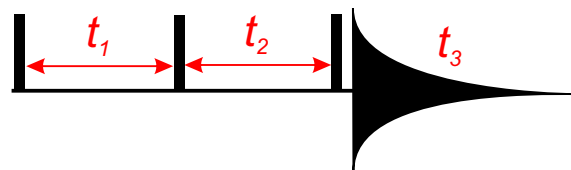
перекрывание: 3+2 H

2D HY



перекрывание: 3 H

3D HXY



перекрывание: 2 H

Корреляции {H,C,N} и {H,H,N}

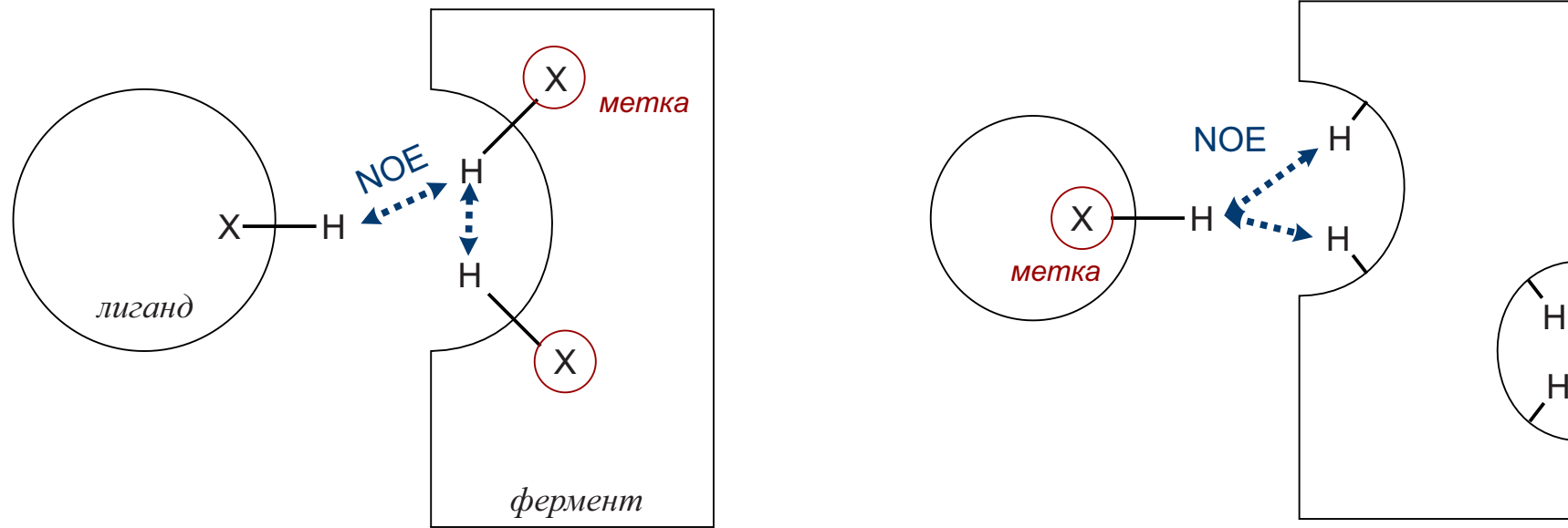


¹⁵ N ¹³ C	HNCO	настроена на прямые константы C-N (показывает протоны H-N-C, отнесение CO групп в белках)
	HNCA	настроена на прямые и геминальные константы C-N (показывает протоны H-N-Cα и H-N-C-Cα, секвенирование)
	HNCOsA	настроена селективно на прямые константы C-N и прямые C-C (показывает протоны H-N-C-Cα, секвенирование)
	HNCACO	настроена на прямые и геминальные константы C-N и прямые C-C (показывает протоны H-N-Cα-C своего и предшествующего остатков)
¹⁵ N	¹⁵N-edited HSQC-TOCSY	добавление третьего измерения в H,H-корреляцию (в каждом N-стрипе - TOCSY своего остатка)
	¹⁵N-edited HSQC-NOESY	добавление третьего измерения в H,H-корреляцию (в каждом N-стрипе - NOESY своего остатка)

и другие эксперименты (вплоть до 7D) с последовательным переносом намагниченности с протонов на ядра определенного типа, и затем обратно на протоны для наблюдения

↑
обогащение

Редактирование и фильтрация по гетероядрам



Используется для изучения взаимодействия между субстратом и лигандом.

(X-меченый фермент, но не лиганд, можно получить биосинтетически, с помощью модифицированной *E. coli* и обогащенного сыря)

X-edited TOCSY	кросс-пики только между теми протонами из одной спиновой системы, хотя бы один из которых связан с ядром X
X-edited NOESY	кросс-пики только между теми сближенными протонами, хотя бы один из которых связан с ядром X
¹⁵N-edited HSQC-TOCSY	по двум координатам - TOCSY, по третьей - ¹⁵ N. В каждом N-стрипе будут контакты только тех протонов, один из которых связан с этим азотом.
¹⁵N-edited HSQC-NOESY	по двум координатам - NOESY, по третьей - ¹⁵ N. В каждом N-стрипе будут контакты только тех протонов, один из которых связан с этим азотом.

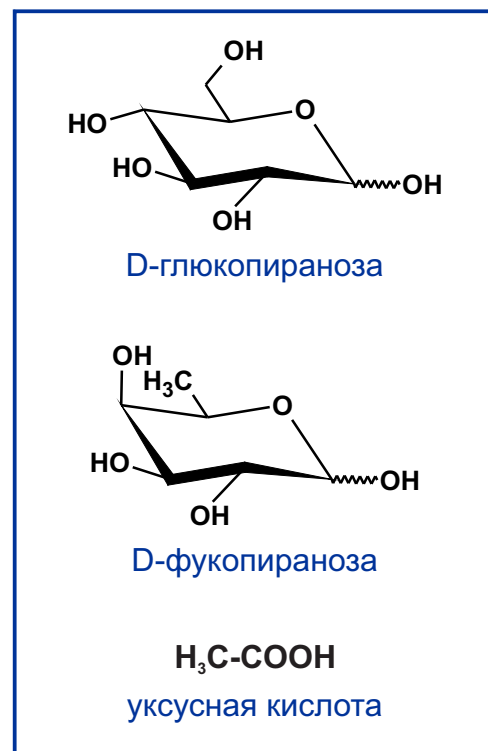
аналогично X-selected есть и X-filtered эксперименты, которые убирают из спектров, все, что связано с X

Пример структурной задачи (дисахарид)

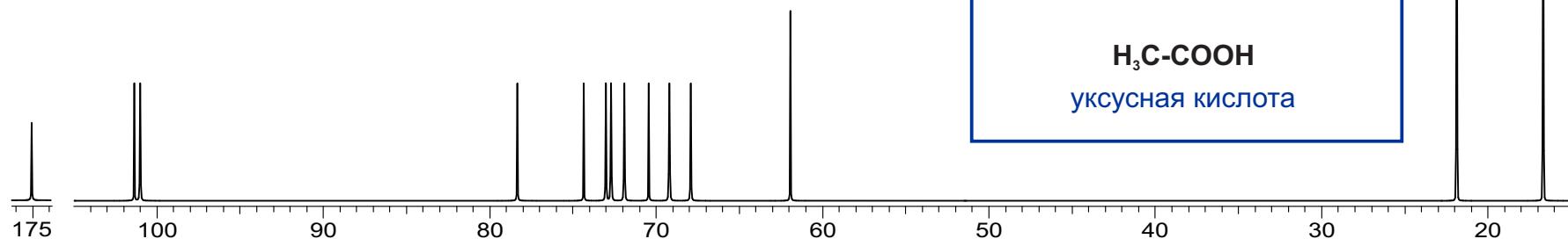
Необходимо определить способ связывания моносахаридных остатков, аномерные конфигурации и положение ацетилирования по спектрам ЯМР водного (D_2O) раствора.

Справочные данные - спектры ЯМР ^{13}C незамещенных остатков:

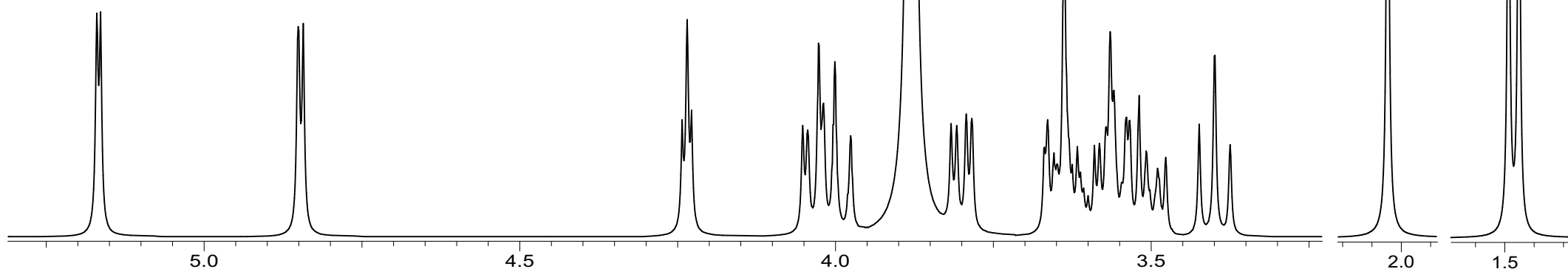
	C1	C2	C3	C4	C5	C6
α -D-Glcp	93.3	72.7	74.0	70.9	73.2	61.9
β -D-Glcp	97.1	75.4	77.0	70.9	77.2	62.1
α -D-Fucp	93.3	69.2	70.4	73.0	67.4	16.7
β -D-Fucp	97.3	72.8	74.0	72.5	71.9	16.7



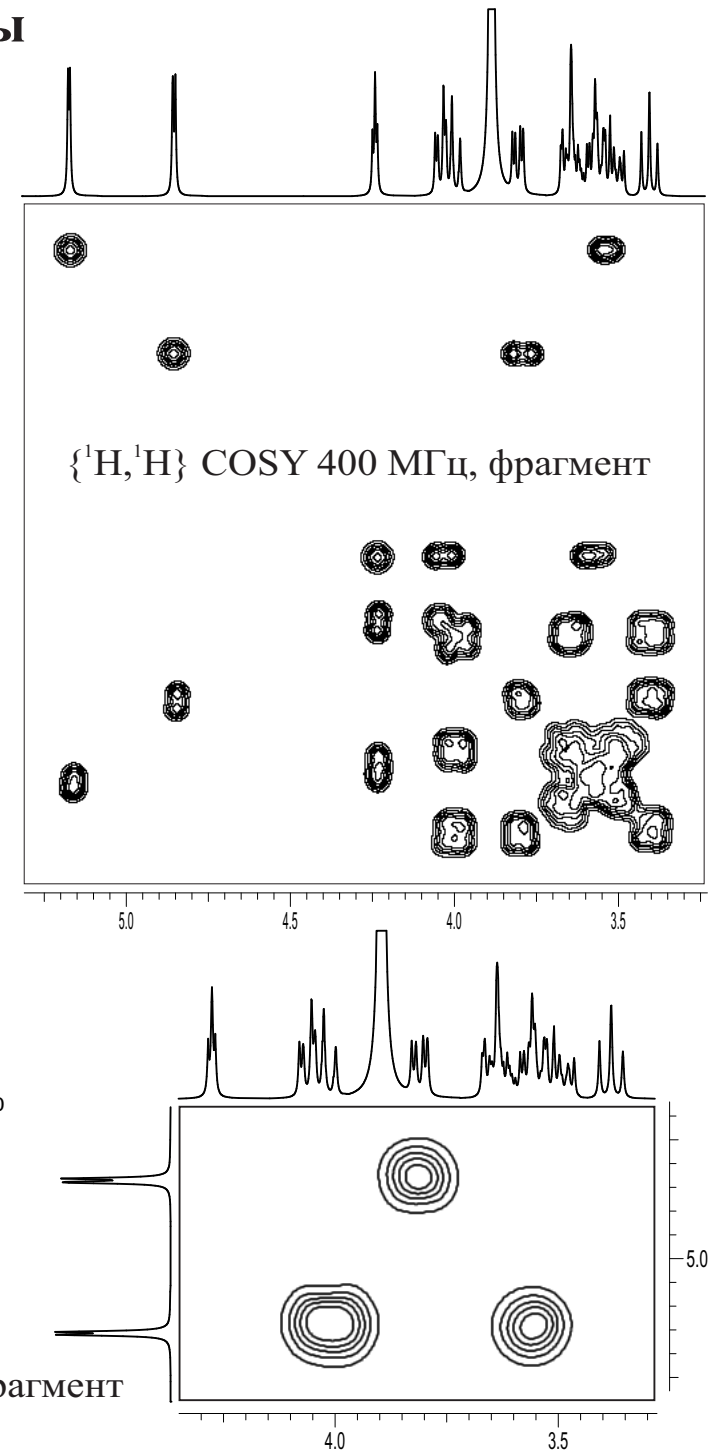
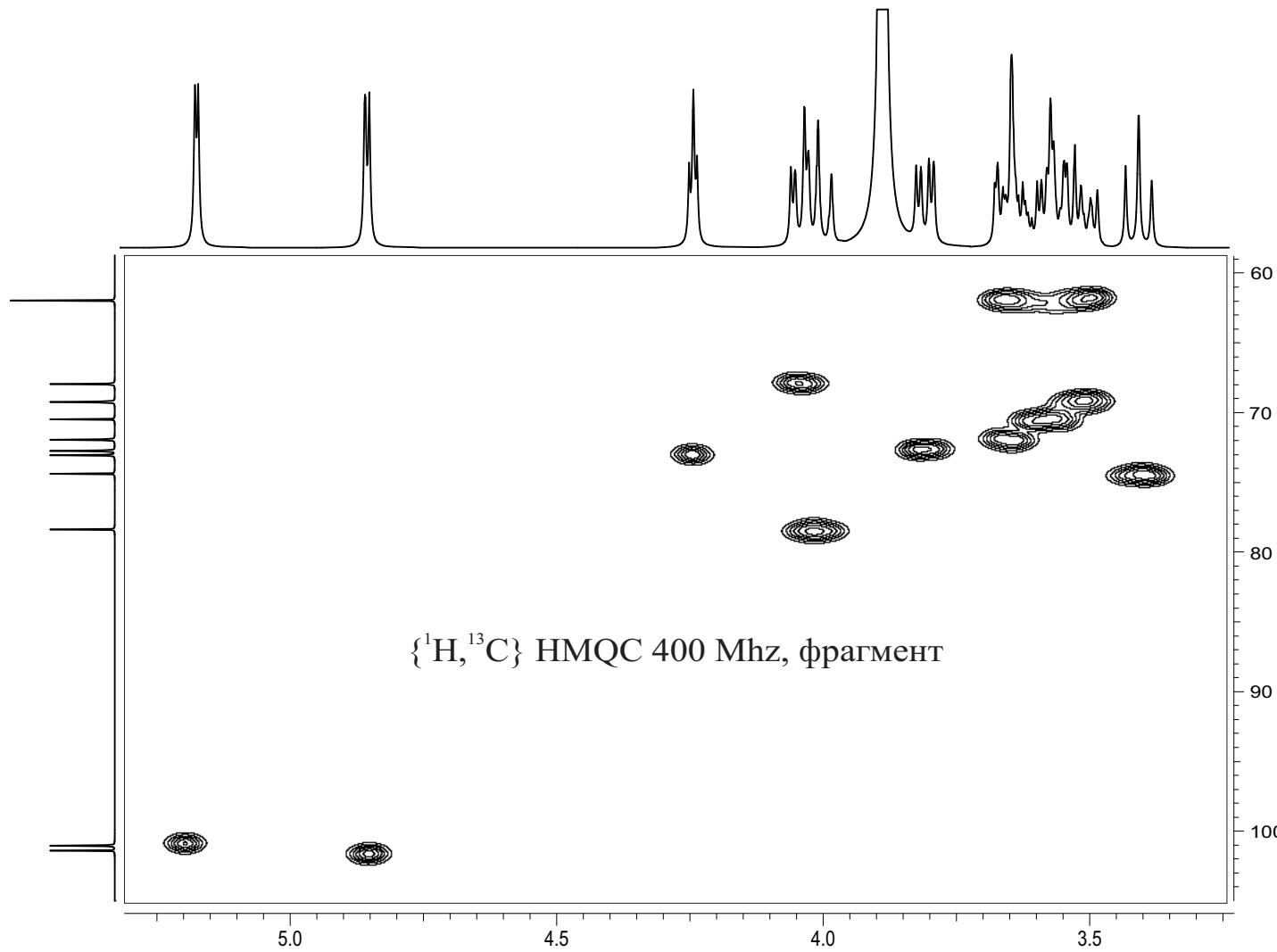
Спектр ЯМР ^{13}C , 100 MHz



Спектр ЯМР 1H , 400 MHz

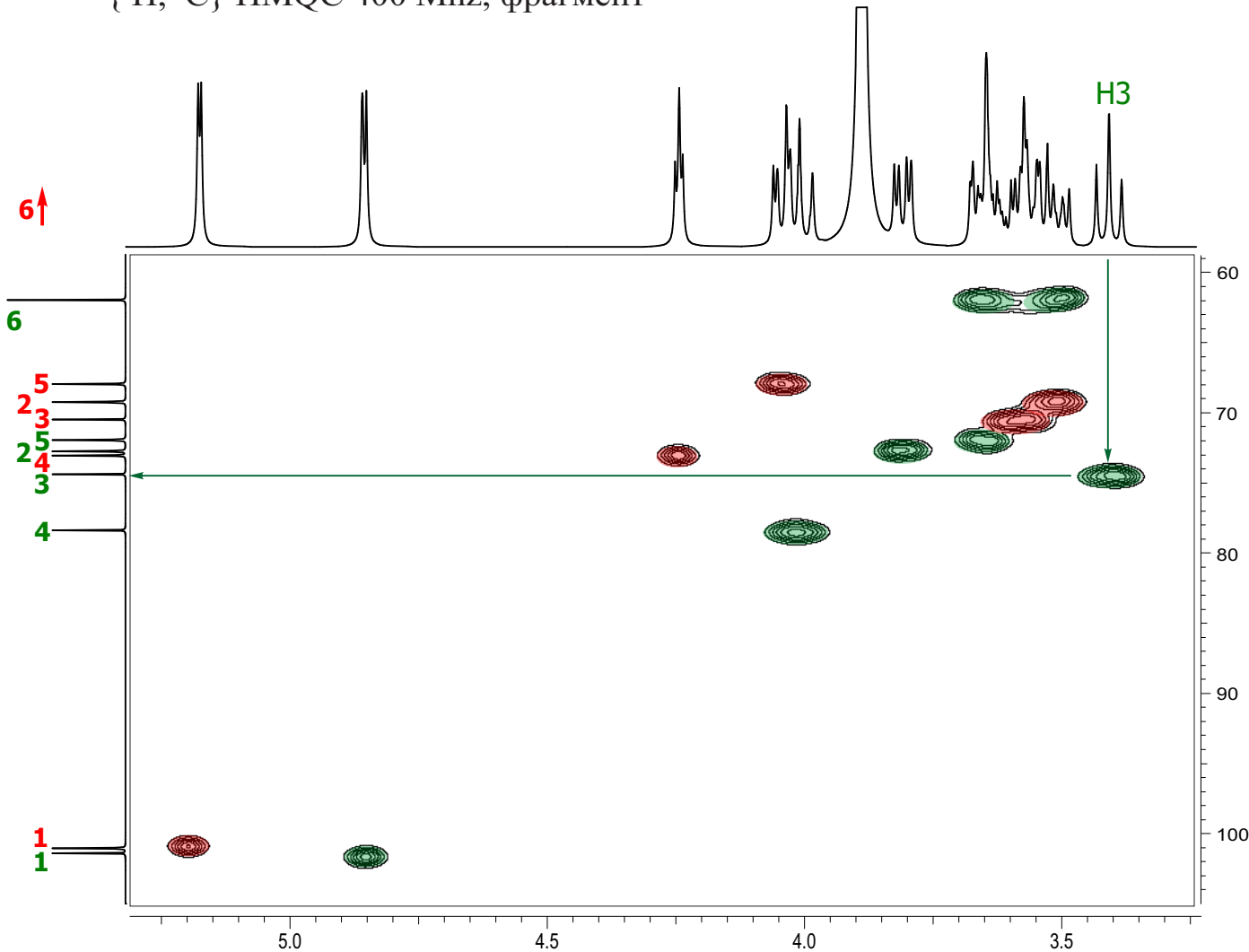


Дисахарид: двумерные спектры

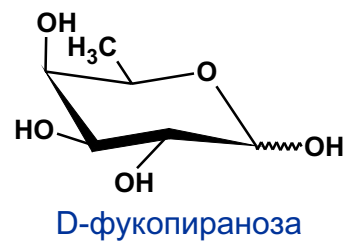
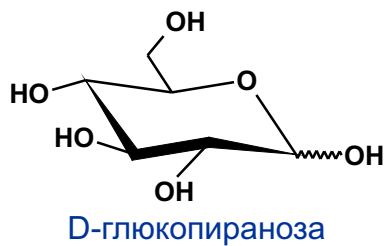
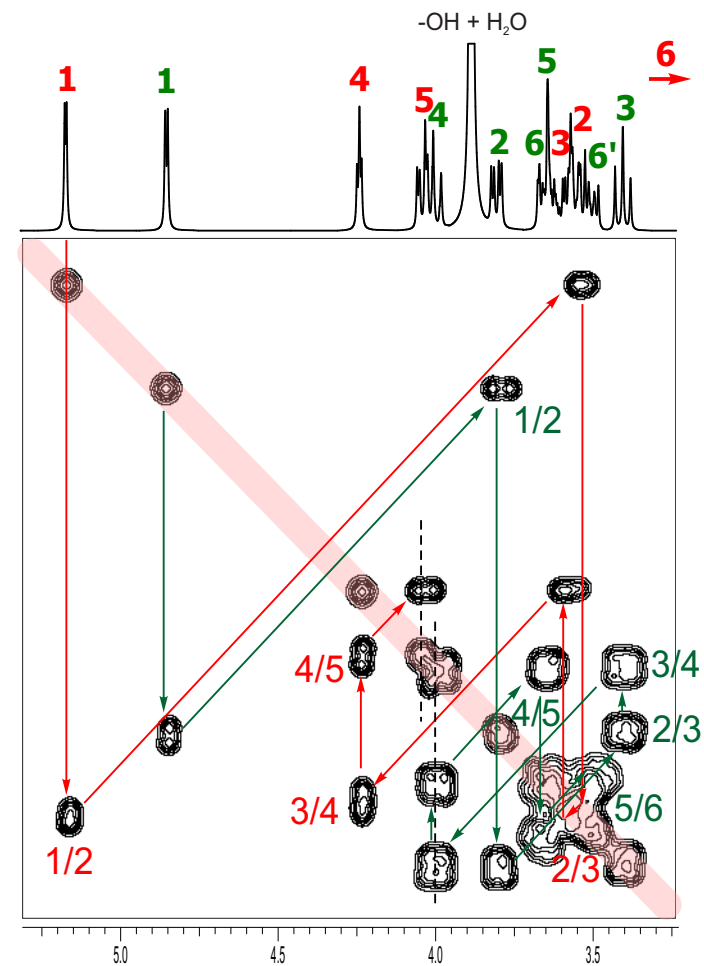


Дисахарид: отнесение спектров ^1H и ^{13}C

$\{^1\text{H}, ^{13}\text{C}\}$ HMQC 400 Mhz, фрагмент



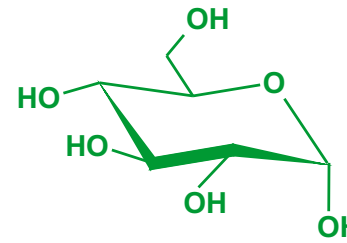
$\{^1\text{H}, ^1\text{H}\}$ COSY 400 МГц, фрагмент



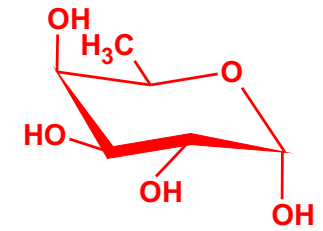
Дисахарид: выводы

Спектры ЯМР ¹³C незамещенных остатков:

	C1	C2	C3	C4	C5	C6
α -D-Glcp	93.3	72.7	74.0	70.9	73.2	61.9
β -D-Glcp	97.1	75.4	77.0	70.9	77.2	62.1
α -D-Fucp	93.3	69.2	70.4	73.0	67.4	16.7
β -D-Fucp	97.3	72.8	74.0	72.5	71.9	16.7



α -D-глюкопираноза
(сигнал H3, δ C6)



α -D-фукопираноза
(сигнал H4, δ C6)

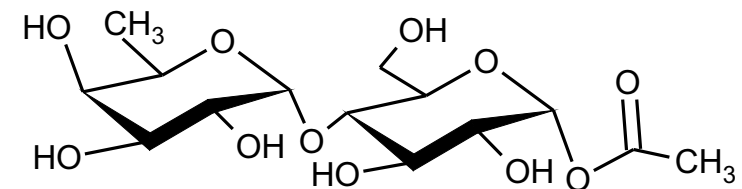
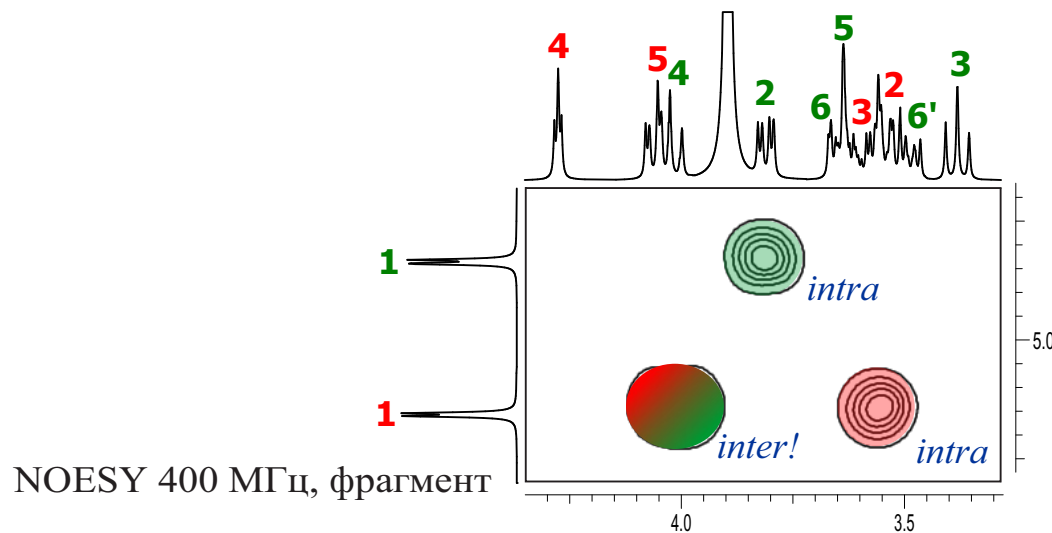
Отнесенные спектры:

	C1	C2	C3	C4	C5	C6
α -D-Glcp	101.5	73.2	74.4	78.4	72.0	62.0
α -D-Fucp	101.2	69.3	70.6	73.0	68.0	16.8

NOE: 1-2 1-2 1-4

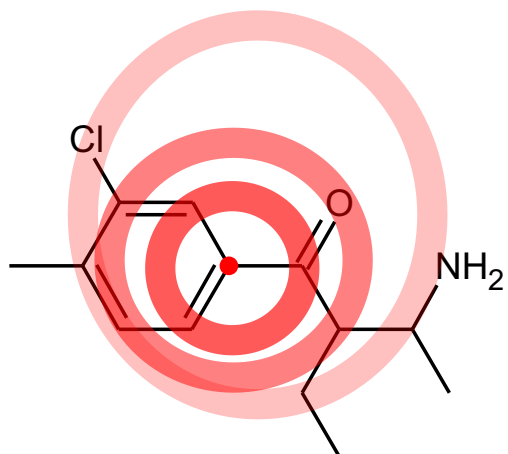


α -D-Фукоп-(1→4)- α -D-Глук-1-Ас



Предсказание спектров ЯМР

эмпирическое



кодирование структуры:
3 сферы HOSE

- 1) ищем в базе данных фрагмент с теми же дескрипторами узлов
- 2) если найден, то переходим к следующей сфере, пока не кончится молекула
- 3) когда дальше идти некуда, берем усредненный хим. сдвиг

не нужно ничего, кроме большой базы данных, не работает, если похожих фрагментов в базе мало

- узлами могут быть атомы, группы, остатки
- при поиске в базе структурам с той же стереохимией дается больший вес

полуэмпирическое

набор правил

структура ↔ хим. сдвиг,
параметризованный для каждого класса соединений
(CHARGE, инкременты)

регрессионная модель: с помощью метода наименьших квадратов находится уравнение линейной регрессии, связывающее дескрипторы с предсказываемым значением

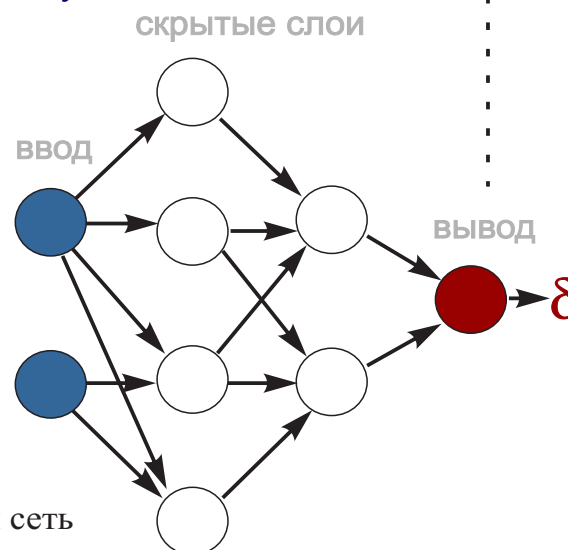
очень быстро,
требует мат. модель

нейронная сеть: каждый нейрон есть функция входы → выход; коэффициенты в ней и веса нейронов подбираются путем тренировки сети на модельной базе данных

универсально для любых классов,
требует обучения

параметры атома
(элемент, гибридизация, и т.д.) и его соседей в N сферах

частично-связанная
4-слойная нейронная сеть
прямого действия



ab initio

- ЯМР-параметры считаются квантомеханически (DFT GIAO и др.) для геометрии молекулы, полученной полуэмпирически (MM) или квантомеханически (MP2, DFT)
- силовые поля, уровни теории и базисные наборы параметризованы для больших классов соединений.

наиболее точно
сложно в параметризации,
медленно

CAST
SpecSurf
NMRShiftDB
ACDLabs
MG: MestreNova
MG: ChemOffice
HyperChem
Gaussian